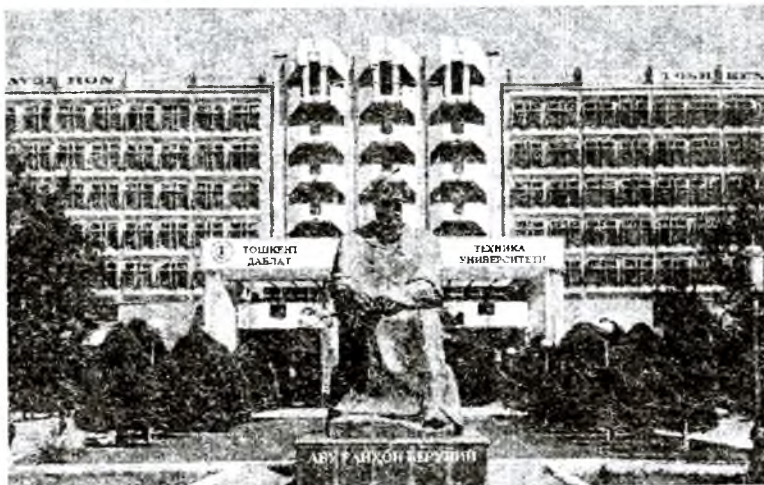


**O‘ZBEKISTON RESPUBLIKASI
OLIV VA O‘RTA MAXSUS TA‘LIM VAZIRLIGI**

**ABU RAYHON BERUNIY NOMIDAGI
TOSHKENT DAVLAT TEXNIKA UNIVERSITETI**



**STRUKTURALAR GEOLOGIYASI VA
GEOLOGIK HARITALASH**

fanidan

kurs ishini bajarish bo‘yicha uslubiy ko‘rsatmalar

II - qism

Toshkent – 2015

**O'ZBEKISTON RESPUBLIKASI
OLIV VA O'RTA MAXSUS TA'LIM VAZIRLIGI**

**ABU RAYHON BERUNIY NOMIDAGI
TOSHKENT DAVLAT TEXNIKA UNIVERSITETI**



**STRUKTURALAR GEOLOGIYASI VA
GEOLOGIK HARITALASH**

fanidan

kurs ishini bajarish bo'yicha uslubiy ko'rsatmalar

H - qism

Toshkent - 20

UDK.550.8:528

Tuzuvchilar: Zakirov R.T., Tulyaganova N.Sh., Allayarov B.I.

«**Strukturalar geologiyasi va geologik haritalash**» fanidan kurs ishini bajarish bo'yicha uslubiy ko'rsatmalar. II - qism.
–T.:Toshkent.:ToshDTU- 2015. 118 bet.

Ushbu uslubiy ko'rsatmada talabalar kurs ishini bajarishlari uchun zarur bo'ladigan geologik harita tuzish usullari, haritada tasvirlangan tog' jinrlarining yotish elementlarini aniqlash, quduq ma'lumotlariga asoslanib qiya yotgan qatlamning yuzaga chiqqan chizig'ini topish, geologik kesmalar va stratigrafik ustun tuzish yo'llari keltirilgan.

Bundan tashqari, ko'rsatmada kurs ishining tarkibiy qismlari, kurs ishi boblarining mazmuni, harita va chizmalarni joylashtirish tartibi hamda kurs ishini himoya qilish qoidalari keltirilgan.

Ushbu uslubiy ko'rsatma Oliy ta'limning 5311 800 – “Gidrogeologiya va muhandislik geologiyasi” ta'lim yo'nalishi bakalavrlari uchun mo'ljallangan.

Abu Rayhon Beruniy nomidagi Toshkent davlat texnika universiteti ilmiy-uslubiy kengashi qaroriga asosan chop etildi.

Taqrizchilar:

Umarov A.Z.

O'zMU, Geologiya fakulteti,
«Geokimyo, mineralogiya va
Petrografiya» kafedrasi mudiri,
g-m.f.n., dotsent

Mirhodjayev B.I.

ToshDTU «Foydali qazilmalar
geologiyasi va qidiruv ishlari»
kafedrasi g-m.f.n., dotsenti

© Toshkent davlat texnika universiteti, 2015

Kirish

Respublikamizda barcha sohalarda bo'lgani kabi, Hidrogeologiya sohasida ham zamon talabiga javob beradigan, ilmfanning zamo-naviy yutuqlarini amaliyotda qo'llay oladigan, intellektual salo-hiyatga ega bo'lgan mutaxassislar tayyorlashga katta e'tibor berilmoqda. Hozirgi kunda ixtisoslik fanlaridan ma'ruza va amaliy mashg'ulotlarning o'zbek tili lotin imlosida olib borilishi talabalar-ning bilim saviyalarining oshishiga olib kelmoqda. Lekin o'zbek tili lotin imlosida mutaxassislik fanlaridan darsliklar, o'quv va uslubiy qo'llanmalarning yetishmasligi, bunday adabiyotlarni tayyorlashni taqozo etadi.

Strukturalar geologiyasi va geologik haritalash fani geologiya va gidrogeologiyaning barcha mutaxassislik yo'nalishlarida ta'lim olayotgan talabalar uchun umumkasbiy fani bo'lib, bu fan bo'yicha talabalar ma'ruza va amaliyot mashg'ulotlaridan tashqari, kurs ishini ham bajaradilar.

Strukturalar geologiya va geologik haritalash fanidan kurs ishi bajarishdan maqsad – talabalar ma'ruza va amaliyot darsida o'rgangan bilimlarini mustahkamlash bilan birgalikda qatlamlarning fazoviy joylashishini tasavvur qilish mahoratini oshirish, geologik haritada tasvirlangan tog' jinslarining yotish elementlarini aniqlash, burg'ilash quduqlari yordamida aniqlangan qatlamning yotish elementlaridan foydalanib uning yuzaga chiqqan chegaralarini topish, qatlamlarning qalinliklaridan foydalanib, ularning chegaralarini aniqlab, geologik harita tuzishdan hamda tuzilgan harita bo'yicha geologik kesmalar va stratigrafik ustun tuzib, o'rganilayotgan maydonning geologik tuzilishi to'g'risida umumiy ma'lumotlarni mustaqil tahlil qilishdan iborat.

Ushbu uslubiy ko'rsatmada kurs ishini tayyorlashning uslubiyati, ishni bajarishdagi vazifalar ketma-ketligi, ish davomida yig'ilgan harita va chizmalarni tahrirlash, tuzilgan geologik harita, kesmalar va stratigrafik ustundan foydalanib, o'rganilayotgan maydonning geologik tuzilishi to'g'risida yozma tahlilning

mazmuni, unda keltiriladigan bo'limlarning mazmuni to'g'risida ma'lumot berilgan.

Uslubiy ko'rsatmaning so'nggi qismida kurs ishi variantlari keltirilgan.

Ishning maqsadi va vazifalari

Kurs ishining maqsadi – talabalarni “Strukturalar geologiyasi va geologik haritalash” fanidan olgan bilimlarini mustahkam-lashdan iborat. Ishning vazifalariga quyidagilar kiradi: tog' jinsi qatlamlarining bir turini yagona geologik strukturaga umum-lashtirish; bu strukturaning fazoviy interpretasiyasini blokdiag-ramma va kesmalar misolida o'zlashtirish; strukturaning geologik tuzilishini yozish. Kurs ishining yozma qismi A4 formatli qog'ozda 10–15 bet bo'lishi kerak.

Kurs ishi talabani geologik strukturalarni mustaqil tahlil qilishga o'rgatadi va o'quv hamda ishlab chiqarish amaliyotlariga tayyorlaydi.

Hisobot quyidagi bo'limlardan tashkil topishi kerak:

Kirish.

1. Rayonning tabiiy-geografik sharoiti, orogidrografiyasi

2. Rayonning geologik tuzilishi

A. Stratigrafiya.

3. Rayonning geologik strukturalari.

4. Rayonning geologik rivojlanish tarixi.

Xulosa

Foydalanilgan adabiyotlar ro'yxati.

Hisobot bo'limlarinig mazmuni

Kirish

Bu bo'limda amaliy ishlarning aniq maqsadi, o'tish muddatlari, hajmi, amaliy ish usullari, marshrutlar soni, amaliy ishlar olib boriladigan maydonning geografik o'rni to'g'risida ma'lumotlar beriladi. Agar amaliy ish jarayonida aerokosmo-

fotosuratlaridan foydalanilgan bo'lsa, bu fotosuratlarning sifatlari, ayrim joylarning suratbopligi tahlil qilinadi va tegishli xulosalar chiqariladi.

1. Rayonning tabiiy-geografik sharoiti, orogidrografiya

Bu bobda relyeflarning xususiyati, ularning past-balandlik darajasi, vodiy va suv ayirg'ichlarining mutlaq va nisbiy balandliklari, daryo va soy tarmoqlarining xususiyatlari, uzunligi, chuqurligi, eni, oqish tezligi, yer yuzasining ochiqlik darajasi to'liq beriladi. Shuningdek rayonning iqlimi, o'simlik va hayvonot dunyosi, mahalliy aholisi, iqtisodiy xususiyati va o'zlashtirish darajasi, tog' sanoati va tog' inshootlarining ahvoli, mashina va temir yo'l, telegraf aloqalari to'g'risidagi ma'lumotlar keltiriladi.

2. Rayonning geologik tuzilishi

A.Stratigrafiya

Bu bo'lim boshqalariga nisbatan eng muhim hisoblanadi va hajmi jihatidan birmuncha ko'proqdir. Bu qismda rayonda tarqalgan hamma cho'kindi vulkanogen va metamorfik jins bo'limlari qadimgilaridan yoshlariga qarab batafsil yoritiladi. Kesmalarni o'rganish sistemalar, bo'linmalar, turkumlar bo'yicha olib boriladi. Ularning o'zaro munosabatlari aniqlanadi. Bobning boshida maydon stratigrafiik kesmasining umumiy tuzilishi beriladi. So'ngra har bir bo'linmaga to'liq litologik ta'riflar keltiriladi.

Tog' jinslarining qalinligi, yoshi, fatsial farqi, hamma tanafuslar, nomuvofiqliklar aniqlanib, ularga to'liq izohlar beriladi.

3. Rayonning geologik strukturalari

Bo'limda rayonning viloyat umumiy tektonik strukturasidagi o'rni, asosiy struktura bo'linmalari (etaj yoki yarus, burmachang kompleks) tasvirlanadi. Har bir struktura bo'linmasi batafsil yoritiladi. Yer qobig'idagi tektonik harakatlarning tartibi, ro'y bergan davri aniqlanadi. Rayondagi burma va uzilmalarning turlari ko'rsatiladi. Shuningdek, maydondagi antiklinal va sinklinal strukturalarning joylashish shakllari, morfologik turlariga tavsif beriladi. Ularning o'lchamlari (eni, bo'yi) aniqlanadi.

4. Rayonning geologik rivojlanish tarixi

Bu bo'lim avvalgi bo'limlarning hamma geologik materiallarini tahlil qilishga asoslangan va birmuncha murakkabdir. Bu bo'limda rayonning taraqqiyoti tarixini yoritish, tahlil qilishga imkoniyati bo'lgan qadimgi davrlardan boshlanadi. Rayonning geologik taraqqiyotida ma'lum tektonik va paleogeografik sharoitni aks ettiruvchi yirik, asosiy bosqichlarni ajratish zarur va taraqqiyot tarixini shu bosqichlarga ko'ra tasvirlash kerak. Har bir bunday bosqichda o'ziga xos tektonik strukturalar paydo bo'lgan. Shuning uchun bu oraliqdagi davrning paleogeografik sharoitini, tektonik harakatlar izchilligini dalillar asosida tiklashga harakat qilish kerak.

Xulosa

Bu bo'limning mazmuni rayon bo'yicha o'tkazilgan geologik ishlarining natijalariga bog'liq. Bu yerda qilingan ishlarining yakuni, nazariy va amaliy jihatdan ahamiyati, foydali qazilma boyliklarga bo'lgan istiqbollarini aniqlashdagi o'rni, rayon bo'yicha navbatdagi geologik qidiruv ishlarining vazifalari aniqlanadi. Shuningdek, ish jarayonida yechilmagan geologik va tektonik muammolar ko'rsatilib, sabablari aniqlanadi va ularni hal qilish yo'llari belgilanadi.

Ishni tashkil qilish

Talabalarga vazifa berishdan oldin guruhga uni qanday bajarilishi to'g'risida instruktaaj o'tkaziladi. Keyinchalik talabalar individual konsultatsiyalar oladilar. Berilgan ma'lumotlar asosida vazifani bajarish ketma-ketligi quyidagichadir:

- faktik ma'lumotlar haritasini tuzish;
- geologik karta tuzish;
- geologik kesma chizish;
- stratigrafik kolonka tuzish;
- hisobot yozish.

Kurs ishining himoyasi komissiya va talabalar guruhi oldida bo'ladi.

Himoyada talaba 10-12 minut ishi yuzasidan ma'ruza qiladi va savollarga javob beradi.

Geologik kesma tuzish

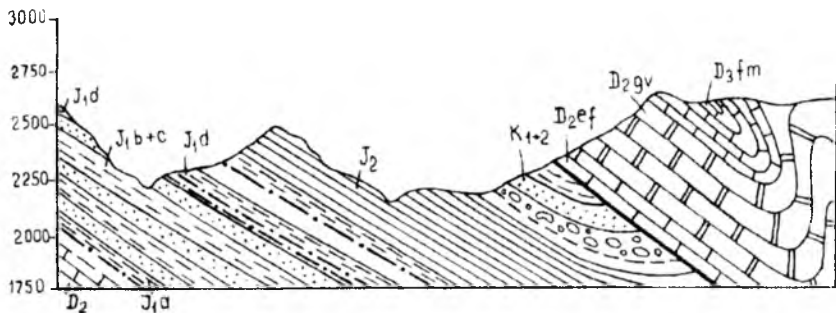
Geologik haritada tasvirlangan tog' jinslari qatlamlarining tarqalish qonuniyatlarini, yotish shakllarini, qatlamlarning o'zaro munosabatlarini va o'rganilayotgan maydonning relyefini to'liq ifodalash maqsadida kesmalar tuziladi. Geologik kesma Yer yuzasining ma'lum bir chuqurlikkacha bo'lgan vertikal kesimining tuzilishini tasvirlaydi.

Kesmada vertikal va gorizontalar masshtablar geologik harita masshtabi bilan bir xil bo'lishi kerak. Agar jinslar yotiq yoki gorizontalar yotgan bo'lsa, kesmaning vertikal masshtabini kattalashtirish mumkin. Kesmalar geologik haritadagi shartli belgilar asosida tuziladi. Kesmada geologik jismning yotish sharoitlari va shakli (formasi), qalinligining o'zgarishi, strukturalari, jins turi va yoshi, uzilmalar ko'rsatiladi.

Geologik kesmalar yuqoridan kesma chizig'i, pastdan esa bazis chizig'i va yon tomonlardan vertikal miqyos chiziqlari orqali chegaralangan bo'ladi (**1-rasm**). Kesma chizig'i relyef yuzasining

vertikal tekislik bilan kesishish chizig'idir. Bazis chizig'i esa geologik haritalar bo'yicha kesmalar tuzganda yotqiziqning yotish shakllari va strukturalarni yetarli darajada ko'rsata oladigan chuqurlikdan o'tkazilgan gorizontal chiziqdir.

Geologik kesma tuzish uchun belgilangan yo'nalish bo'yicha ikkita nuqta to'g'ri chiziq bilan tutashiriladi. Bu chiziq haritada tasvirlangan tog' jinslari haqida to'la ma'lumot bera oladigan yo'nalish bo'ylab o'tkazilishi hamda qatlamlar yo'nalishiga ko'ndalang yo'nalgan bo'lishi kerak. Agar qatlam yo'nalishiga ko'ndalang olingan chiziq maydonning geologik tuzilishi haqida to'liq ma'lumot bera olmasa, qo'shimcha kesma chiziqlari olinadi. Haritada belgilangan kesma chizig'ining har ikkala uchi A-A (B-B) harflari yoki I-I (II-II) raqamlari bilan belgilanadi. Geologik kesmalarda vertikal va gorizontal miqyoslar bir-biriga teng bo'lishi hamda ular harita miqyosiga to'g'ri kelishi kerak.



1-rasm. Geologik kesmaning umumiy ko'rinishi

Stratigrafik ustun tuzish

Stratigrafik ustun geologik haritada tasvirlangan hududda rivojlangan cho'kindi, vulkanogen va metamorfik jinslar nisbiy yoshiga qarab tabaqalangan va litologik tarkibi bo'yicha ajratilgan holda tuziladi.

Stratigrafik ustun tarkibida kengligi 2,5–3,0 sm li litologik ustun bo‘lib, unda harita maydoni yuzasida tarqalgan va shunidek, burg‘i quduqlari yordamida ochilgan cho‘kindi, vulkanogen va metamorfik jinslar shartli belgilar yordamida tanlangan miqyosda qalinligi bilan ko‘rsatiladi . Litologik ustunda tog‘ jinslari haritada qabul qilingan stratigrafik bo‘limlar bo‘yicha tabaqalangan holda tasvirlanadi. Stratigrafik bo‘limlar orasidagi munosabat muvofiq bo‘lsa, to‘g‘ri gorizontal chiziq, nomufoviq bo‘lsa to‘lqinli chiziq bilan ko‘rsatiladi. Bir xil litologik tarkibdagi juda qalin qatlamlar parallel to‘lqinli chiziqlar bilan uzib ko‘rsatiladi. Agar qatlam qalinligi juda kichik bo‘lib, tanlangan miqyosda uni tasvirlash imkoni bo‘lmasa, u miqyossiz holda ko‘zga ko‘rinadigan qalinlikda tasvirlanadi.

Litologik ustunning chap tomonida tog‘ jinslarining nisbiy yoshi stratigrafik tabaqalar bo‘yicha (eratema, sistema, bo‘lim, yarus, svita, gorizont va boshqalar) tabaqalarga ajratilib ko‘rsatiladi va ularning indckslari beriladi.

Litologik ustunning o‘ng tomonida qatlamlarning qalinligi, tarkibi, ulardagi foydali qazilmalar, hayvon va o‘simlik qoldiriqlari ko‘rsatiladi. Agar tasvirlanuvchi qatlam qalinligi o‘zgaruvchan bo‘lsa, qalinlik ustuni grafasida uning eng kichik va katta qiymati. litologik ustunda esa miqyos bo‘yicha maksimal qalinligi bilan beriladi. Stratigrafik ustunda intruziv jinslar ko‘rsatilmaydi.

Geologik kuzatuv nuqtalari tegishli variantdagi maydonning topografik haritaga tushirilgan.

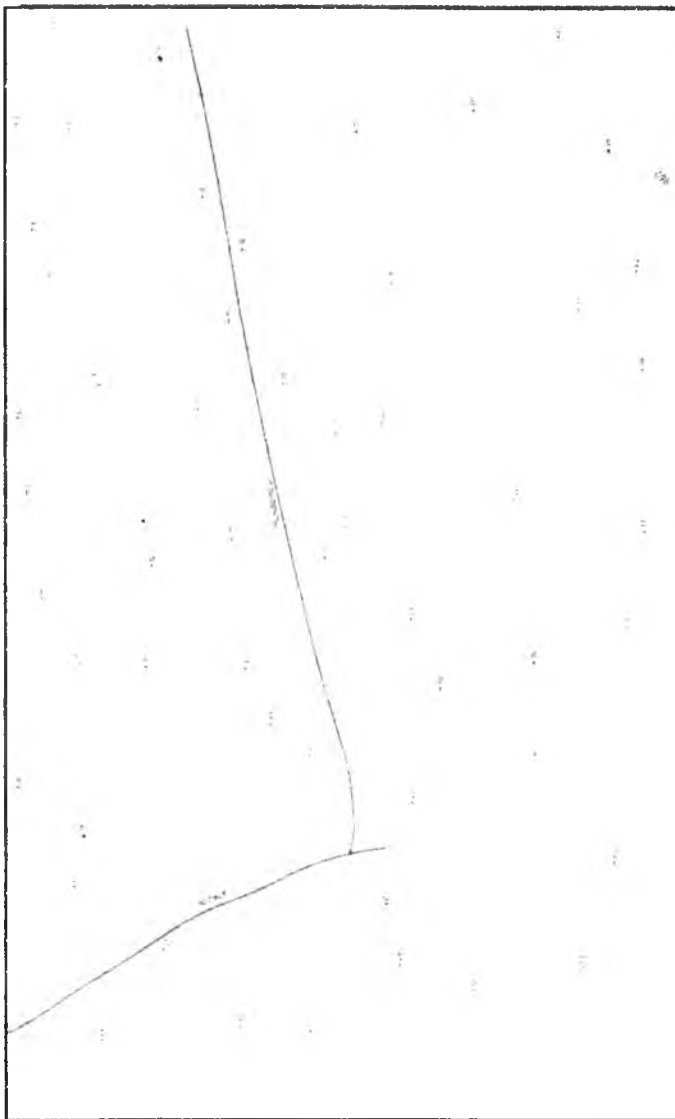
22-variant

| Kuzatuv nuqtasi | Kuzatuv nuqtasidan olingan ma'lumotlar |
|-----------------|--|
| 1 | Gillar (yoshi – N). Qatlamlar gorizontal holatda joylashgan. |
| 2 | Gillar (yoshi – N). Qatlamlar gorizontal holatda joylashgan. |
| 3 | Gillar (yoshi – N). Qatlamlar gorizontal holatda joylashgan. |
| 4 | Alevrolitlar (yoshi – Oligosen). Qatlamlar gorizontal holatda joylashgan. |
| 5 | Alevrolitlar (yoshi – Oligosen). Qatlamlar gorizontal holatda joylashgan. |
| 6 | Gillar (yoshi – N). Qatlamlar gorizontal holatda joylashgan. |
| 7 | Alevrolitlar (yoshi – Oligosen). Qatlamlar gorizontal holatda joylashgan. |
| 8 | Alevrolitlar (yoshi – Oligosen). Qatlamlar gorizontal holatda joylashgan. |
| 9 | Qumtoshtar (yoshi – Eosen). Qatlamlar gorizontal holatda joylashgan. |
| 10 | Tektonik buzilish. Surilma. Uning sharqida qumtoshtar (yoshi – Eosen), g'arbida dolomitlar (yoshi – yuqori J) joylashgan. |
| 11 | Tektonik buzilish. Surilma. Uning shimoli-sharqida qumtoshtar (yoshi – Eosen), janubi-g'arbida gillar (yoshi – quyi K) joylashgan. |
| 12 | Qumtoshtar (yoshi – Eosen). Qatlamlar gorizontal holatda joylashgan. |
| 13 | Alevrolitlar (yoshi – Oligosen). Qatlamlar gorizontal holatda joylashgan. |
| 14 | Tektonik buzilish. Surilma. Uning shimolida qumtoshtar (yoshi – Eosen), janubida gillar (yoshi – quyi K) joylashgan. |
| 15 | Dolomitlar (yoshi – yuqori J). Yotish azimuti 255° , yotish burchagi 25° . |
| 16 | Qumtoshtar (yoshi – Eosen). Qatlamlar gorizontal holatda joylashgan. |
| 17 | Alevrolitlar (yoshi – Oligosen). Qatlamlar gorizontal holatda joylashgan. |

| | |
|----|--|
| 18 | Tektonik buzilish. Surilma. Uning sharqida qumtoshlar (yoshi – Eosen), g'arbida dolomitlar (yoshi – yuqori J) joylashgan. |
| 19 | Qumtoshlar (yoshi – Eosen). Qatlamlar gorizontol holatda joylashgan. |
| 20 | Alevrolitlar (yoshi – Oligosen). Qatlamlar gorizontol holatda joylashgan. |
| 21 | Qumtoshlar (yoshi – Eosen). Qatlamlar gorizontol holatda joylashgan. |
| 22 | Alevrolitlar (yoshi – Oligosen). Qatlamlar gorizontol holatda joylashgan. |
| 23 | Qumtoshlar (yoshi – Eosen). Qatlamlar gorizontol holatda joylashgan. |
| 24 | Tektonik buzilish. Surilma. Uning shimolida qumtoshlar (yoshi – yuqori K), janubida gorizontol holatda qumtoshlar (yoshi – Eosen) joylashgan. |
| 25 | Tektonik buzilish. Surilma. Uning shimoli-g'arbida dolomitlar (yoshi – yuqori J) janubi-sharqida qumtoshlar (yoshi – Eosen) joylashgan. |
| 26 | Gillar (yoshi – quyi K). Yotish azimuti 250^0 , yotish burchagi 27^0 . |
| 27 | Qumtoshlar (yoshi – yuqori K). Sinklinal o'ng qanoti. |
| 28 | Qumtoshlar (yoshi – yuqori K). Sinklinal chap qanoti. |
| 29 | Qumtoshlar (yoshi – yuqori K). Sinklinal o'qi. |
| 30 | Gillar (yoshi – quyi K). Yotish azimuti 80^0 , yotish burchagi 27^0 . |
| 31 | Dolomitlar (yoshi – yuqori J). Yotish azimuti 83^0 , yotish burchagi 25^0 . |
| 32 | Qumtoshlar (yoshi – quyi J). Yotish azimuti 85^0 , yotish burchagi 27^0 . |
| 33 | Qumtoshlar (yoshi – quyi J). Yotish azimuti 85^0 , yotish burchagi 27^0 . |
| 34 | Qumtoshlar (yoshi – quyi J). Yotish azimuti 85^0 , yotish burchagi 25^0 . |
| 35 | Qumtoshlar (yoshi – quyi J). Yotish azimuti 88^0 , yotish burchagi 28^0 . |
| 36 | Tektonik buzilish. Surilma. Uning sharqida qumtoshlar (yoshi – Eosen), g'arbida qumtoshlar (yoshi – quyi J) joylashgan. |
| 37 | Tektonik buzilish. Surilma. Uning shimoli-sharqida gorizontol joylashgan qumtoshlar (yoshi – Eosen), janubi-g'arbida dolomitlar (yoshi – yuqori J) joylashgan. |
| 38 | Qumtoshlar (yoshi – yuqori K). Sinklinal. |
| 39 | Qumtoshlar (yoshi – yuqori K). Sinklinal. |
| 40 | Tektonik buzilish. Surilma. Uning shimoli-g'arbida gorizontol joylashgan qumtoshlar (yoshi – Eosen), janubi-sharqida qumtoshlar (yoshi – yuqori K) joylashgan. |
| 41 | Gillar (yoshi – quyi K). Yotish azimuti 255^0 , yotish burchagi 30^0 . |
| 42 | Alevrolitlar (yoshi – yuqori T). Yotish azimuti 80^0 , yotish burchagi 25^0 . |

| | |
|----|--|
| 43 | Ohaktoshlar (yoshi – o'рта T). Antiklinal o'qi. |
| 44 | Ohaktoshlar (yoshi – o'рта T). Antiklinal o'qi. |
| 45 | Ohaktoshlar (yoshi – o'рта T). Antiklinal o'qi. |
| 46 | Ohaktoshlar (yoshi – o'рта T). Antiklinal o'qi. |
| 47 | Alevrolitlar (yoshi – yuqori T). Yotish azimuti 90^0 , yotish burchagi 27^0 . |
| 48 | Alevrolitlar (yoshi – yuqori T). Yotish azimuti 250^0 , yotish burchagi 28^0 . |
| 49 | Qumtoshlar (yoshi – quyi J). Yotish azimuti 250^0 , yotish burchagi 28^0 . |
| 50 | Alevrolitlar (yoshi – yuqori T). Yotish azimuti 250^0 , yotish burchagi 27^0 . |
| 51 | Qumtoshlar (yoshi – quyi J). Yotish azimuti 260^0 , yotish burchagi 30^0 . |
| 52 | Dolomitlar (yoshi – yuqori J). Yotish azimuti 260^0 , yotish burchagi 30^0 . |
| 53 | Alevrolitlar (yoshi – yuqori T). Antiklinal o'qi. |
| 54 | Qumtoshlar (yoshi – quyi J). Yotish azimuti 261^0 , yotish burchagi 27^0 . |
| 55 | Dolomitlar (yoshi – yuqori J). Yotish azimuti 260^0 , yotish burchagi 30^0 . |

22-variant (12)
Masshtab 1:5000



23-variant

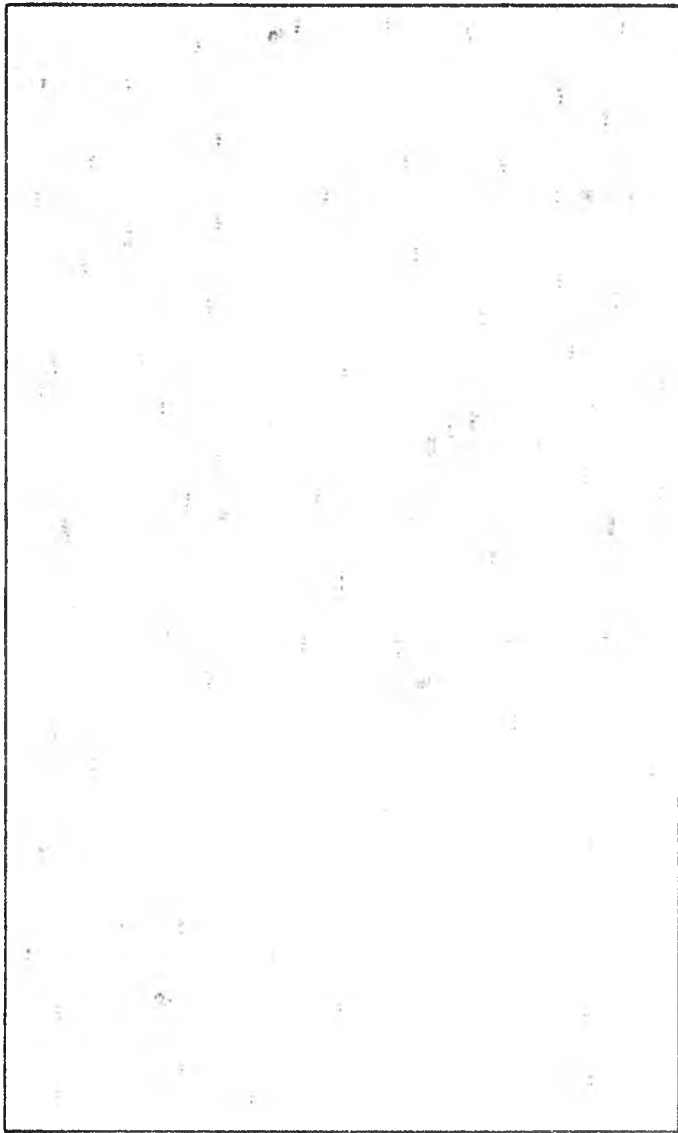
| Kuzatuv nuqtasi | Kuzatuv nuqtasidan olingan ma'lumotlar |
|-----------------|---|
| 1 | Alevrolitlar (yoshi –paleosen). Yotish azimuti 83° , yotish burchagi 30° . |
| 2 | Alevrolitlar (yoshi –paleosen). Yotish azimuti 80° , yotish burchagi 31° . |
| 3 | Alevrolitlar (yoshi –paleosen). Yotish azimuti 78° , yotish burchagi 31° . |
| 4 | Ohaktoshlar (yoshi – yuqori K). Yotish azimuti 75° , yotish burchagi 30° . |
| 5 | Ohaktoshlar (yoshi – yuqori K). Yotish azimuti 73° , yotish burchagi 29° . |
| 6 | Ohaktoshlar (yoshi – yuqori K). Yotish azimuti 75° , yotish burchagi 31° . |
| 7 | Gillar (yoshi – quyi K). Yotish azimuti 76° , yotish burchagi 27° . |
| 8 | Konglomeratlar (yoshi – yuqori J). Yotish azimuti 77° , yotish burchagi 27° . |
| 9 | Gillar (yoshi – quyi K). Yotish azimuti 77° , yotish burchagi 31° . |
| 10 | Gillar (yoshi – quyi K). Yotish azimuti 76° , yotish burchagi 32° . |
| 11 | Ohaktoshlar (yoshi – yuqori K). Yotish azimuti 78° , yotish burchagi 27° . |
| 12 | Ohaktoshlar (yoshi – yuqori K). Yotish azimuti 78° , yotish burchagi 26° . |
| 13 | Qumtoshlar (yoshi – eosen). Sinklinal o'qi. |
| 14 | Qumtoshlar (yoshi – eosen). Sinklinal o'qi. |
| 15 | Qumtoshlar (yoshi – eosen). Sinklinal o'qi. |
| 16 | Alevrolitlar (yoshi –paleosen). Yotish azimuti 230° , yotish burchagi 28° . |
| 17 | Alevrolitlar (yoshi –paleosen). Yotish azimuti 235° , yotish burchagi 31° . |
| 18 | Ohaktoshlar (yoshi – yuqori K). Yotish azimuti 240° , yotish burchagi 29° . |
| 19 | Ohaktoshlar (yoshi – yuqori K). Yotish azimuti 230° , yotish burchagi 31° . |

| | |
|----|--|
| 20 | Gillar (yoshi – quyi K). Yotish azimuti 215^0 , yotish burchagi 28^0 . |
| 21 | Gillar (yoshi – quyi K). Yotish azimuti 210^0 , yotish burchagi 28^0 . |
| 22 | Konglomeratlar (yoshi – yuqori J). Yotish azimuti 220^0 , yotish burchagi 32^0 . |
| 23 | Gillar (yoshi – quyi K). Yotish azimuti 217^0 , yotish burchagi 32^0 . |
| 24 | Gillar (yoshi – quyi K). Yotish azimuti 230^0 , yotish burchagi 32^0 . |
| 25 | Tektonik buzilish. Surilma. Kuzatuv nuqtasidan shimolda gillar (yoshi – quyi K), janubda – mergellar (yoshi – yuqori S). |
| 26 | Alevrolitlar (yoshi –paleosen). Yotish azimuti 77^0 , yotish burchagi 30^0 . |
| 27 | Alevrolitlar (yoshi –paleosen). Yotish azimuti 235^0 , yotish burchagi 31^0 . |
| 28 | Ohaktoshlar (yoshi–yuqori K). Yotish azimuti 233^0 , yotish burchagi 31^0 . |
| 29 | Qumtoshlar (yoshi – eosen). Sinklinal. |
| 30 | Tektonik buzilish. Surilma. Shimoli-g'arbda - alevrolitlar (yoshi – paleosen), janubi-sharqda qumtoshlar (yoshi – o'rt D). |
| 31 | Qumtoshlar (yoshi – eosen). Sinklinal. |
| 32 | Tektonik buzilish. Surilma. G'arbda qumtoshlar (yoshi – eosen), sharqda - qumtoshlar (yoshi – o'rt D). |
| 33 | Alevrolitlar (yoshi –paleosen). Yotish azimuti 75^0 , yotish burchagi 30^0 . |
| 34 | Qumtoshlar (yoshi – eosen). Sinklinal. |
| 35 | Alevrolitlar (yoshi –paleosen). Yotish azimuti 77^0 , yotish burchagi 28^0 . |
| 36 | Tektonik buzilish. Surilma. Janubi-g'arbda qumtoshlar (yoshi – eosen), sinklinal o'qi. Shimoli-sharqda - gillar (yoshi-quyi D). Yotish azimuti 85^0 , yotish burchagi 35^0 . |
| 37 | Qumtoshlar (yoshi – eosen). Sinklinal. |
| 38 | Alevrolitlar (yoshi –paleosen). Yotish azimuti 60^0 , yotish burchagi 30^0 . |
| 39 | Alevrolitlar (yoshi –paleosen). Yotish azimuti 285^0 , yotish burchagi 31^0 . |
| 40 | Alevrolitlar (yoshi –paleosen). Yotish azimuti 265^0 , yotish burchagi 30^0 . |
| 41 | Tektonik buzilish. Surilma. Shimolda mergellar (yoshi – yuqori S), janubda - alevrolitlar (yoshi –paleosen) |
| 42 | Tektonik buzilish. Surilma. Shimolda - ohaktoshlar (yoshi – quyi S), |

| | |
|----|---|
| | janubda - ohaktoshlar (yoshi – yuqori K). |
| 43 | Ohaktoshlar (yoshi – yuqori K). Yotish azimuti 275 ⁰ , yotish burchagi 31 ⁰ . |
| 44 | Gillar (yoshi – quyi K). Yotish azimuti 275 ⁰ , yotish burchagi 32 ⁰ . |
| 45 | Konglomeratlar (yoshi – yuqori J). Yotish azimuti 277 ⁰ , yotish burchagi 30 ⁰ . |
| 46 | Konglomeratlar (yoshi – yuqori J). Yotish azimuti 281 ⁰ , yotish burchagi 32 ⁰ . |
| 47 | Tektonik buzilish. Surilma. Shimolda - ohaktoshlar (yoshi- quyi S), janubda-konglomeratlar (yoshi – yuqori J). |
| 48 | Gillar (yoshi – quyi D). Yotish azimuti 90 ⁰ , yotish burchagi 32 ⁰ . |
| 49 | Mergellar (yoshi – yuqori S). Yotish azimuti 92 ⁰ , yotish burchagi 32 ⁰ . |
| 50 | Mergellar (yoshi – yuqori S). Yotish azimuti 90 ⁰ , yotish burchagi 30 ⁰ . |
| 51 | Ohaktoshlar (yoshi – quyi S). Yotish azimuti 80 ⁰ , yotish burchagi 31 ⁰ . |
| 52 | Dolomitlar (yoshi – O). Antiklinal o'qi. O'q tekklisligi qiyshiq. |
| 53 | Dolomitlar (yoshi – O). Antiklinal o'qi |
| 54 | Dolomitlar (yoshi – O). Antiklinal |
| 55 | Ohaktoshlar (yoshi – quyi S). Yotish azimuti 80 ⁰ , yotish burchagi 30 ⁰ . |
| 56 | Mergellar (yoshi – yuqori S). Yotish azimuti 78 ⁰ , yotish burchagi 32 ⁰ . |
| 57 | Mergellar (yoshi – yuqori S). Yotish azimuti 65 ⁰ , yotish burchagi 32 ⁰ . |
| 58 | Mergellar (yoshi – yuqori S). Yotish azimuti 75 ⁰ , yotish burchagi 32 ⁰ . |
| 59 | Ohaktoshlar (yoshi – quyi S). Yotish azimuti 80 ⁰ , yotish burchagi 30 ⁰ . |
| 60 | Dolomitlar (yoshi – O). Antiklinal o'qi. O'q tekklisligi qiyshiq. |
| 61 | Ohaktoshlar (yoshi – quyi S). Yotish azimuti 80 ⁰ , yotish burchagi 30 ⁰ . |
| 62 | Mergellar (yoshi – yuqori S). Yotish azimuti 80 ⁰ , yotish burchagi 32 ⁰ . |
| 63 | Gillar (yoshi – quyi D). Yotish azimuti 80 ⁰ , yotish burchagi 32 ⁰ . |
| 64 | Mergellar (yoshi – yuqori S). Yotish azimuti 85 ⁰ , yotish burchagi 31 ⁰ . |
| 65 | Mergellar (yoshi – yuqori S). Yotish azimuti 85 ⁰ , yotish burchagi 31 ⁰ . |
| 66 | Ohaktoshlar (yoshi – quyi S). Yotish azimuti 100 ⁰ , yotish burchagi 30 ⁰ . |
| 67 | Dolomitlar (yoshi – O). Antiklinal |
| 68 | Tektonik buzilish. Surilma. G'arbda - konglomeratlar (yoshi – yuqori J), sharqda - ohaktoshlar (yoshi – quyi S) |
| 69 | Dolomitlar (yoshi – O). |
| 70 | Tektonik buzilish. Surilma. g'arbda - Konglomeratlar (yoshi – yuqori J), sharqda - ohaktoshlar (yoshi – quyi S) |
| 71 | Dolomitlar (yoshi – O). Antiklinal o'qi. O'q tekklisligi qiyshiq. |
| 72 | Dolomitlar (yoshi – O). Antiklinal o'qi. O'q tekklisligi qiyshiq. |

| | |
|----|---|
| 73 | Dolomitlar (yoshi – O). Antiklinal o'qi. O'q tekisligi qiyshiq. |
| 74 | Ohaktoshlar (yoshi – quyi S). Yotish azimuti 90^0 , yotish burchagi 33^0 . |
| 75 | Mergellar (yoshi – yuqori S). Yotish azimuti 95^0 , yotish burchagi 30^0 . |
| 76 | Mergellar (yoshi – yuqori S). Yotish azimuti 100^0 , yotish burchagi 30^0 . |

23-variant (14)
Masshtab 1:25000



24-variant

| Kuzatuv nuqtasi | Kuzatuv nuqtasidan olingan ma'lumotlar |
|-----------------|---|
| 1 | Gillar (yoshi – quyi P). Yotish azimuti 270^0 , yotish burchagi 30^0 . |
| 2 | Mergellar (yoshi – yuqori C). Yotish azimuti 277^0 , yotish burchagi 30^0 . |
| 3 | Uzilma. Sharqda qumtoshlar (yoshi – yuqori D), g'arbda – konglomeratlar (yoshi – o'rta C) |
| 4 | Konglomeratlar (yoshi – o'rta C). Yotish azimuti 273^0 , yotish burchagi 31^0 . |
| 5 | Gillar (yoshi – quyi P). Yotish azimuti 285^0 , yotish burchagi 30^0 . |
| 6 | Mergellar (yoshi – yuqori C). Yotish azimuti 285^0 , yotish burchagi 30^0 . |
| 7 | Gillar (yoshi – quyi P). Yotish azimuti 350^0 , yotish burchagi 27^0 . |
| 8 | Konglomeratlar (yoshi – o'rta C). Yotish azimuti 285^0 , yotish burchagi 30^0 . |
| 9 | Uzilma. Yotish azimuti 270^0 , yotish burchagi 70^0 . Sharqda – qumtoshlar (yoshi – yuqori D), g'arbda- konglomeratlar (yoshi – o'rta C). |
| 10 | Uzilma. Yotish azimuti 270^0 , yotish burchagi 70^0 . Sharqda – gravelitlar (yoshi – quyi C), g'arbda - konglomeratlar (yoshi – o'rta C). |
| 11 | Mergellar (yoshi – yuqori C). Sinklinal o'qi. |
| 12 | Mergellar (yoshi – yuqori C). Sinklinal o'qi. |
| 13 | Uzilma. Yotish azimuti 255^0 , yotish burchagi 70^0 . Sharqda gravelitlar (yoshi – quyi C), g'arbda - konglomeratlar (yoshi – o'rta C). |
| 14 | Uzilma. Yotish azimuti 290^0 , yotish burchagi 70^0 . Sharqda gravelitlar (yoshi – quyi C), g'arbda - konglomeratlar (yoshi – o'rta C). |
| 15 | Dolomitlar (yoshi – o'rta D). Yotish azimuti 277^0 , yotish burchagi 30^0 . |
| 16 | Organogenli ohaktoshlar (yoshi – yuqori S). Yotish azimuti 277^0 , yotish burchagi 28^0 . |

| | |
|----|--|
| 17 | Kontakt. Janubda Kremniyli jinslar (yoshi – yuqori O), shimolda – intruziv jinslar (yoshi – proterozoy). |
| 18 | Gilli slaneslar (yoshi – quyi S). Yotish azimuti 275^0 , yotish burchagi 31^0 |
| 19 | Alevrolitlar (yoshi – quyi D). Yotish azimuti 275^0 , yotish burchagi 31^0 |
| 20 | Dolomitlar (yoshi – oʻrta D). Yotish azimuti 270^0 , yotish burchagi 30^0 . |
| 21 | Gilli slaneslar (yoshi – quyi S). Yotish azimuti 268^0 , yotish burchagi 30^0 |
| 22 | Organogenli ohaktoshlar (yoshi – yuqori S). Yotish azimuti 270^0 , yotish burchagi 30^0 . |
| 23 | Kontakt. Janubi gʻarbda Kremniyli jinslar (yoshi – yuqori O), shimoli-sharqda – intruziv jinslar (yoshi – proterozoy). |
| 24 | Dolomitlar (yoshi – oʻrta D). Yotish azimuti 275^0 , yotish burchagi 30^0 . |
| 25 | Organogenli ohaktoshlar (yoshi – yuqori S). Yotish azimuti 275^0 , yotish burchagi 30^0 . |
| 26 | Kontakt. Gʻarbda kremniyli jinslar (yoshi – yuqori O), sharqda – intruziv jinslar (yoshi – proterozoy). |
| 27 | Alevrolitlar (yoshi – quyi D). Yotish azimuti 275^0 , yotish burchagi 31^0 |
| 28 | Kontakt. Sharqda kremniyli jinslar (yoshi-yuqori O), gʻarbda – intruziv jinslar (yoshi – proterozoy). |
| 29 | Organogenli ohaktoshlar (yoshi-yuqori S). Yotish azimuti 80^0 , yotish burchagi 28^0 . |
| 30 | Organogenli ohaktoshlar (yoshi – yuqori silur). Yotish azimuti 80^0 , yotish burchagi 28^0 . |
| 31 | Gilli slaneslar (yoshi – quyi S). Yotish azimuti 91^0 , yotish burchagi 30^0 |
| 32 | Kontakt. Sharqda kremniyli jinslar (yoshi–yuqori O), gʻarbda – intruziv jinslar (yoshi – proterozoy). |
| 33 | Gilli slaneslar (yoshi – quyi S). Yotish azimuti 110^0 , yotish burchagi 30^0 |
| 34 | Kontakt. Sharqda kremniyli jinslar (yoshi-yuqori O), gʻarbda – intruziv jinslar (yoshi – proterozoy) |
| 35 | Gilli slaneslar (yoshi – quyi S). Yotish azimuti 110^0 , yotish burchagi 28^0 |
| 36 | Kontakt. Gʻarbda kremniyli jinslar (yoshi-yuqori O), sharqda – |

| | |
|----|--|
| | intruziv jinslar (yoshi – proterozoy). |
| 37 | Kontakt. G'arbda kremniyli jinslar (yoshi-yuqori O), sharqda – intruziv jinslar (yoshi – proterozoy). |
| 38 | Kontakt. Sharqda Kremniyli jinslar (yoshi-yuqori O), g'arbda – intruziv jinslar (yoshi – proterozoy). |
| 39 | Gilli slaneslar (yoshi – quyi S). Yotish azimuti 115° , yotish burchagi 30° |
| 40 | Organogenli ohaktoshlar (yoshi – yuqori S). Yotish azimuti 113° , yotish burchagi 30° . |
| 41 | Alevrolitlar (yoshi – quyi D). Yotish azimuti 115° , yotish burchagi 30° |
| 42 | Dolomitlar (yoshi – o'рта D). Yotish azimuti 115° , yotish burchagi 30° . |
| 43 | Organogenli ohaktoshlar (yoshi – yuqori S). Yotish azimuti 80° , yotish burchagi 28° . |
| 44 | Alevrolitlar (yoshi – quyi D). Yotish azimuti 80° , yotish burchagi 31° |
| 45 | Uzilma. Yotish azimuti 85° , yotish burchagi 70° . G'arbda - dolomitlar (yoshi – o'рта D), sharqda - gravelitlar (yoshi – quyi C) |
| 46 | Uzilma. Yotish azimuti 90° , yotish burchagi 70° . G'arbda - qumtoshlar (yoshi – yuqori D), sharqda - konglomeratlar (yoshi – o'рта C) |
| 47 | Mergellar (yoshi – yuqori C). Sinklinal |
| 48 | Konglomeratlar (yoshi – o'рта C). Yotish azimuti 125° , yotish burchagi 30° . |
| 49 | Gravelitlar (yoshi – quyi C). Yotish azimuti 255° , yotish burchagi 30° . |
| 50 | Konglomeratlar (yoshi – o'рта C). Sinklinal o'qi. |
| 51 | Gravelitlar (yoshi – quyi C). Yotish azimuti 120° , yotish burchagi 30° . |
| 52 | Uzilma. Yotish azimuti 107° , yotish burchagi 75° . Sharqda - qumtoshlar (yoshi – yuqori D), g'arbda - dolomitlar (yoshi – o'рта D). |
| 53 | Organogenli ohaktoshlar (yoshi – yuqori S). Yotish azimuti 113° , yotish burchagi 30° . |
| 54 | Organogenli ohaktoshlar (yoshi – yuqori S). Yotish azimuti 105° , yotish burchagi 30° . |
| 55 | Uzilma. Yotish azimuti 90° , yotish burchagi 75° . Sharqda - |

| | |
|----|--|
| | qumtoshlar (yoshi – yuqori D), g'arbda - alevrolitlar (yoshi – quyi D). |
| 56 | Gravelitlar (yoshi – quyi C). Yotish azimuti 90^0 , yotish burchagi 32^0 . |
| 57 | Konglomeratlar (yoshi – o'rta C). Yotish azimuti 90^0 , yotish burchagi 32^0 . |
| 58 | Uzilma. Yotish azimuti 85^0 , yotish burchagi 75^0 . Sharqda - dolomitlar (yoshi – o'rta D), g'arbda - alevrolitlar (yoshi – quyi D). |
| 59 | Qumtoshlar (yoshi – yuqori D). Yotish azimuti 85^0 , yotish burchagi 30^0 |
| 60 | Uzilma. Sharqda - qumtoshlar (yoshi – yuqori D), g'arbda - alevrolitlar (yoshi – quyi D). |
| 61 | Konglomeratlar (yoshi – o'rta C). Sinklinal o'qi. |
| 62 | Gravelitlar (yoshi – quyi C). |
| 63 | Gravelitlar (yoshi – quyi C). Sinklinal o'qi. |
| 64 | Uzilma. Sharqda - Qumtoshlar (yoshi – yuqori D), g'arbda - qumtoshlar (yoshi – yuqori D). |
| 65 | Uzilma. Yotish azimuti 110^0 , yotish burchagi 75^0 . Sharqda - gravelitlar (yoshi – quyi C), g'arbda - qumtoshlar (yoshi – yuqori D). |
| 66 | Uzilma. Sharqda - konglomeratlar (yoshi – o'rta C), g'arbda - gravelitlar (yoshi – quyi C). |
| 67 | Uzilma. Sharqda - konglomeratlar (yoshi – o'rta C), g'arbda - konglomeratlar (yoshi – o'rta C). |
| 68 | Uzilma. Yotish azimuti 80^0 , yotish burchagi 75^0 . Sharqda - konglomeratlar (yoshi – o'rta C) , g'arbda - gravelitlar (yoshi - quyi C) |
| 69 | Uzilma. Yotish azimuti 80^0 , yotish burchagi 70^0 . Sharqda - gravelitlar (yoshi – quyi C), g'arbda - qumtoshlar (yoshi – yuqori D). |
| 70 | Gravelitlar (yoshi – quyi C). Yotish azimuti 300^0 , yotish burchagi 30^0 . |
| 71 | Qumtoshlar (yoshi – yuqori D). Yotish azimuti 270^0 , yotish burchagi 30^0 . |
| 72 | Uzilma. Yotish azimuti 100^0 , yotish burchagi 75^0 . Sharqda - gravelitlar (yoshi – quyi C), g'arbda - qumtoshlar (yoshi – yuqori D). |
| 73 | Gravelitlar (yoshi – quyi C). Yotish azimuti 250^0 , yotish burchagi 32^0 . |
| 74 | Uzilma. Yotish azimuti 115^0 , yotish burchagi 75^0 . Sharqda - konglomeratlar (yoshi – o'rta C), g'arbda - gravelitlar (yoshi – quyi C) |
| 75 | Qumtoshlar (yoshi – yuqori D). Yotish azimuti 250^0 , yotish burchagi |

| | |
|----|---|
| | 30°. |
| 76 | Dolomitlar (yoshi – oʻrta D). Yotish azimuti 270 ⁰ , yotish burchagi 30 ⁰ . |
| 77 | Qumtoshlar (yoshi – yuqori D). Yotish azimuti 300 ⁰ , yotish burchagi 32 ⁰ . |
| 78 | Konglomeratlar (yoshi – oʻrta C). Yotish azimuti 270 ⁰ , yotish burchagi 30 ⁰ . |
| 79 | Gravelitlar (yoshi – quyi C). Yotish azimuti 255 ⁰ , yotish burchagi 32 ⁰ . |
| 80 | Qumtoshlar (yoshi – yuqori D). Yotish azimuti 260 ⁰ , yotish burchagi 29 ⁰ . |
| 81 | Dolomitlar (yoshi – oʻrta D). Yotish azimuti 270 ⁰ , yotish burchagi 32 ⁰ . |

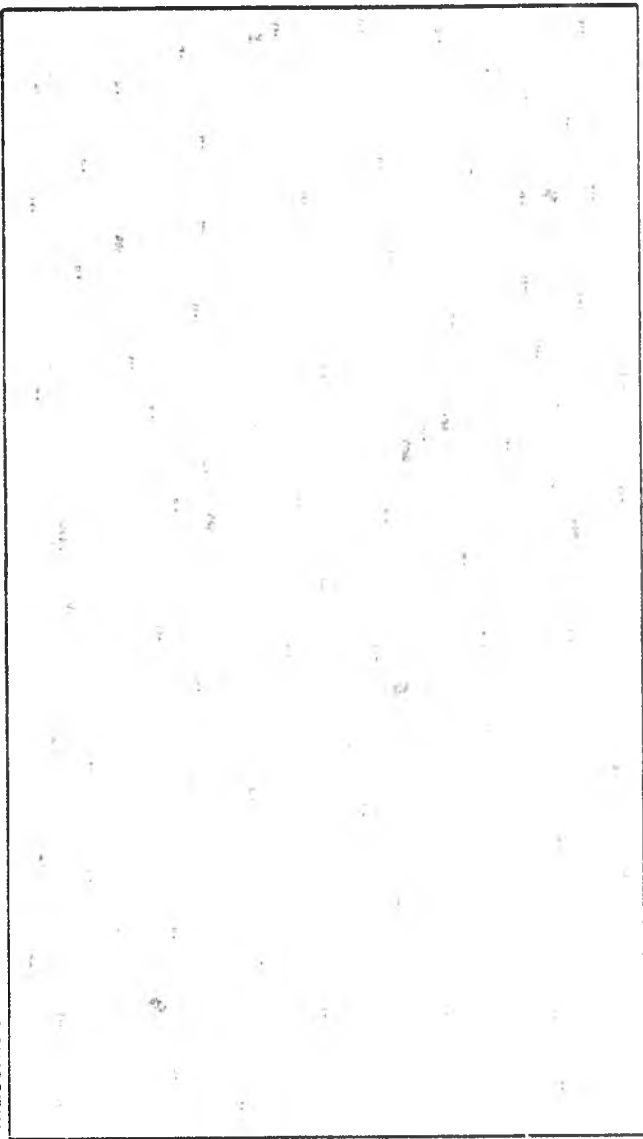
25-variant

| Kuzatuv nuqtasi | Kuzatuv nuqtasidan olingan ma'lumotlar |
|-----------------|--|
| 1 | Alevrolitlar (yoshi – paleogen). Yotish azimuti 83^0 , yotish burchagi 30^0 . |
| 2 | Alevrolitlar (yoshi – paleogen). Yotish azimuti 80^0 , yotish burchagi 31^0 . |
| 3 | Alevrolitlar (yoshi – paleogen). Yotish azimuti 78^0 , yotish burchagi 31^0 . |
| 4 | Ohaktoshlar (yoshi – K). Yotish azimuti 75^0 , yotish burchagi 30^0 . |
| 5 | Ohaktoshlar (yoshi – K). Yotish azimuti 73^0 , yotish burchagi 29^0 . |
| 6 | Ohaktoshlar (yoshi – K). Yotish azimuti 75^0 , yotish burchagi 31^0 . |
| 7 | Gillar (yoshi – J). Yotish azimuti 76^0 , yotish burchagi 27^0 . |
| 8 | Konglomeratlar (yoshi – T). Yotish azimuti 77^0 , yotish burchagi 27^0 . |
| 9 | Gillar (yoshi – J). Yotish azimuti 77^0 , yotish burchagi 31^0 . |
| 10 | Gillar (yoshi – J). Yotish azimuti 76^0 , yotish burchagi 32^0 . |
| 11 | Ohaktoshlar (yoshi – K). Yotish azimuti 78^0 , yotish burchagi 27^0 . |
| 12 | Ohaktoshlar (yoshi – K). Yotish azimuti 78^0 , yotish burchagi 26^0 . |
| 13 | Qumtoshlar (yoshi – neogen). Sinklinal o'qi. |
| 14 | Qumtoshlar (yoshi – neogen). Sinklinal o'qi. |
| 15 | Qumtoshlar (yoshi – neogen). Sinklinal o'qi. |
| 16 | Alevrolitlar (yoshi – paleogen). Yotish azimuti 230^0 , yotish burchagi 28^0 . |
| 17 | Alevrolitlar (yoshi – paleogen). Yotish azimuti 235^0 , yotish burchagi 31^0 . |
| 18 | Ohaktoshlar (yoshi – K). Yotish azimuti 240^0 , yotish burchagi 29^0 . |
| 19 | Ohaktoshlar (yoshi – K). Yotish azimuti 230^0 , yotish burchagi 31^0 . |
| 20 | Gillar (yoshi – J). Yotish azimuti 215^0 , yotish burchagi 28^0 . |
| 21 | Gillar (yoshi – J). Yotish azimuti 210^0 , yotish burchagi 28^0 . |
| 22 | Konglomeratlar (yoshi – T). Yotish azimuti 220^0 , yotish burchagi 32^0 . |
| 23 | Gillar (yoshi – J). Yotish azimuti 217^0 , yotish burchagi 32^0 . |
| 24 | Gillar (yoshi – J). Yotish azimuti 230^0 , yotish burchagi 32^0 . |
| 25 | Tektonik buzilish. Surilma. Kuzatuv nuqtasidan shimolda gillar |

| | |
|----|---|
| | (yoshi – J), janubda – mergellar (yoshi – quyi C). |
| 26 | Alevrolitlar (yoshi –paleogen). Yotish azimuti 77^0 , yotish burchagi 30^0 . |
| 27 | Alevrolitlar (yoshi –paleogen). Yotish azimuti 235^0 , yotish burchagi 31^0 . |
| 28 | Ohaktoshlar (yoshi – K). Yotish azimuti 233^0 , yotish burchagi 31^0 . |
| 29 | Qumtoshlar (yoshi – N). Sinklinal. |
| 30 | Tektonik buzilish. Surilma. Shimoli-g'arbda - alevrolitlar (yoshi – paleogen), janubi-sharqda qumtoshlar (yoshi – yuqori C). |
| 31 | Qumtoshlar (yoshi – N). Sinklinal. |
| 32 | Tektonik buzilish. Surilma. g'arbda qumtoshlar (yoshi – N), sharqda - qumtoshlar (yoshi – yuqori C). |
| 33 | Alevrolitlar (yoshi –paleogen). Yotish azimuti 75^0 , yotish burchagi 30^0 . |
| 34 | Qumtoshlar (yoshi – N). Sinklinal. |
| 35 | Alevrolitlar (yoshi – paleogen). Yotish azimuti 77^0 , yotish burchagi 28^0 . |
| 36 | Tektonik buzilish. Surilma. Janubi-g'arbda qumtoshlar (yoshi – N), sinklinal o'qi. Shimoli-sharqda - gillar (yoshi – o'rta C). Yotish azimuti 85^0 , yotish burchagi 35^0 . |
| 37 | Qumtoshlar (yoshi – N). Sinklinal. |
| 38 | Alevrolitlar (yoshi –paleogen). Yotish azimuti 60^0 , yotish burchagi 30^0 . |
| 39 | Alevrolitlar (yoshi –paleogen). Yotish azimuti 285^0 , yotish burchagi 31^0 . |
| 40 | Alevrolitlar (yoshi –paleogen). Yotish azimuti 265^0 , yotish burchagi 30^0 . |
| 41 | Tektonik buzilish. Surilma. Shimolda mergellar (yoshi – quyi C), janubda - alevrolitlar (yoshi –paleogen) |
| 42 | Tektonik buzilish. Surilma. Shimolda - ohaktoshlar (yoshi – D), janubda - ohaktoshlar (yoshi – K). |
| 43 | Ohaktoshlar (yoshi – K). Yotish azimuti 275^0 , yotish burchagi 31^0 . |
| 44 | Gillar (yoshi – J). Yotish azimuti 275^0 , yotish burchagi 32^0 . |
| 45 | Konglomeratlar (yoshi – T). Yotish azimuti 277^0 , yotish burchagi 30^0 . |
| 46 | Konglomeratlar (yoshi – T). Yotish azimuti 281^0 , yotish burchagi 32^0 . |
| 47 | Tektonik buzilish. Surilma. Shimolda - ohaktoshlar (yoshi – D), janubda - Konglomeratlar (yoshi – T). |

| | |
|----|---|
| 48 | Gillar (yoshi – oʻrta C). Yotish azimuti 90^0 , yotish burchagi 32^0 . |
| 49 | Mergellar (yoshi – quyi C). Yotish azimuti 92^0 , yotish burchagi 32^0 . |
| 50 | Mergellar (yoshi – quyi C). Yotish azimuti 90^0 , yotish burchagi 30^0 . |
| 51 | Ohaktoshlar (yoshi – D). Yotish azimuti 80^0 , yotish burchagi 31^0 . |
| 52 | Dolomitlar (yoshi – S). Antiklinal oʻqi. Oʻq tekkisligi qiyshiq. |
| 53 | Dolomitlar (yoshi – S). Antiklinal oʻqi. |
| 54 | Dolomitlar (yoshi – S). Antiklinal oʻqi. |
| 55 | Ohaktoshlar (yoshi – D). Yotish azimuti 80^0 , yotish burchagi 30^0 . |
| 56 | Mergellar (yoshi – quyi C). Yotish azimuti 78^0 , yotish burchagi 32^0 . |
| 57 | Mergellar (yoshi – quyi C). Yotish azimuti 65^0 , yotish burchagi 32^0 . |
| 58 | Mergellar (yoshi – quyi C). Yotish azimuti 75^0 , yotish burchagi 32^0 . |
| 59 | Ohaktoshlar (yoshi – D). Yotish azimuti 80^0 , yotish burchagi 30^0 . |
| 60 | Dolomitlar (yoshi – S). Antiklinal oʻqi. Oʻq tekkisligi qiyshiq. |
| 61 | Ohaktoshlar (yoshi – D). Yotish azimuti 80^0 , yotish burchagi 30^0 . |
| 62 | Mergellar (yoshi – quyi C). Yotish azimuti 80^0 , yotish burchagi 32^0 . |
| 63 | Gillar (yoshi – oʻrta C). Yotish azimuti 80^0 , yotish burchagi 32^0 . |
| 64 | Mergellar (yoshi – quyi C). Yotish azimuti 85^0 , yotish burchagi 31^0 . |
| 65 | Mergellar (yoshi – quyi C). Yotish azimuti 85^0 , yotish burchagi 31^0 . |
| 66 | Ohaktoshlar (yoshi – D). Yotish azimuti 100^0 , yotish burchagi 30^0 . |
| 67 | Dolomitlar (yoshi – S). Antiklinal oʻqi. |
| 68 | Tektonik buzilish. Surilma. Gʻarbda - konglomeratlar (yoshi – T), sharqda - ohaktoshlar (yoshi – D) |
| 69 | Dolomitlar (yoshi – S). |
| 70 | Tektonik buzilish. Surilma. Gʻarbda - konglomeratlar (yoshi – T), sharqda - ohaktoshlar (yoshi – D) |
| 71 | Dolomitlar (yoshi – S). Antiklinal oʻqi. Oʻq tekkisligi qiyshiq. |
| 72 | Dolomitlar (yoshi – S). Antiklinal oʻqi. Oʻq tekkisligi qiyshiq. |
| 73 | Dolomitlar (yoshi – S). Antiklinal oʻqi. Oʻq tekkisligi qiyshiq. |
| 74 | Ohaktoshlar (yoshi – D). Yotish azimuti 90^0 , yotish burchagi 33^0 . |
| 75 | Mergellar (yoshi – quyi C). Yotish azimuti 95^0 , yotish burchagi 30^0 . |
| 76 | Mergellar (yoshi – quyi C). Yotish azimuti 100^0 , yotish burchagi 30^0 . |

25-variant (14)
Massstab 1:25000



26-variant

| Kuzatuv nuqtasi | Kuzatuv nuqtasidan olingan ma'lumotlar |
|-----------------|---|
| 1 | Gillar (yoshi-yura). Yotishazimuti 270^0 , yotish burchagi 30^0 . |
| 2 | Mergellar (yoshi – o'рта T). Yotish azimuti 277^0 , yotish burchagi 30^0 . |
| 3 | Uzilma. Sharqda – Qumtoshlar (yoshi – C) , g'arbda – konglomeratlar (yoshi – quyi T). |
| 4 | Konglomeratlar (yoshi – quyi T). Yotish azimuti 273^0 , yotish burchagi 31^0 . |
| 5 | Gillar (yoshi - J). Yotish azimuti 285^0 , yotish burchagi 30^0 . |
| 6 | Mergellar (yoshi – o'рта T). Yotish azimuti 285^0 , yotish burchagi 30^0 . |
| 7 | Gillar (yoshi - J). Yotish azimuti 350^0 , yotish burchagi 27^0 . |
| 8 | Konglomeratlar (yoshi – quyi T). Yotish azimuti 285^0 , yotish burchagi 30^0 . |
| 9 | Uzilma. Yotish azimuti 270^0 , yotish burchagi 70^0 . Sharqda – qumtoshlar (yoshi – C), g'arbda - konglomeratlar (yoshi – quyi T). |
| 10 | Uzilma. Yotish azimuti 270^0 , yotish burchagi 70^0 . Sharqda – gravelitlar (yoshi – P), g'arbda - konglomeratlar (yoshi – quyi T). |
| 11 | Mergellar (yoshi – o'рта T). Sinklinal o'qi. |
| 12 | Mergellar (yoshi – o'рта T). Sinklinal o'qi. |
| 13 | Uzilma. Yotish azimuti 255^0 , yotish burchagi 70^0 . Sharqda – gravelitlar (yoshi – P), g'arbda - konglomeratlar (yoshi – quyi T). |
| 14 | Uzilma. Yotish azimuti 290^0 , yotish burchagi 70^0 . Sharqda – gravelitlar (yoshi – P), g'arbda - konglomeratlar (yoshi – quyi T). |
| 15 | Dolomitlar (yoshi – D). Yotish azimuti 277^0 , yotish burchagi 30^0 . |
| 16 | Organogenli ohaktoshlar (yoshi – o'рта O). Yotish azimuti 277^0 , yotish burchagi 28^0 . |
| 17 | Kontakt. Janubda Kremniyli jinslar (yoshi – \mathcal{O}), shimolda – intruziv jinslar (yoshi – arxe). |
| 18 | Gilli slaneslar (yoshi – quyi O). Yotish azimuti 275^0 , yotish burchagi 31^0 . |
| 19 | Alevrolitlar (yoshi – S). Yotish azimuti 275^0 , yotish burchagi 31^0 . |

| | |
|----|---|
| 20 | Dolomitlar (yoshi – D). Yotish azimuti 270^0 , yotish burchagi 30^0 . |
| 21 | Gilli slaneslar (yoshi – quyi O). Yotish azimuti 268^0 , yotish burchagi 30^0 . |
| 22 | Organogenli ohaktoshlar (yoshi – o'rta O). Yotish azimuti 270^0 , yotish burchagi 30^0 . |
| 23 | Kontakt. Janubi g'arbda Kremniyli jinslar (yoshi- Э), shimoli-sharqda-intruziv jinslar (yoshi – arxey). |
| 24 | Dolomitlar (yoshi – D). Yotish azimuti 275^0 , yotish burchagi 30^0 . |
| 25 | Organogenli ohaktoshlar (yoshi – o'rta O). Yotish azimuti 275^0 , yotish burchagi 30^0 . |
| 26 | Kontakt. G'arbda Kremniyli jinslar (yoshi – Э), sharqda – intruziv jinslar (yoshi – arxey). |
| 27 | Alevrolitlar (yoshi – S). Yotish azimuti 275^0 , yotish burchagi 31^0 . |
| 28 | Kontakt. Sharqda Kremniyli jinslar (yoshi – Э), g'arbda – intruziv jinslar (yoshi – arxey). |
| 29 | Organogenli ohaktoshlar (yoshi – o'rta O). Yotish azimuti 80^0 , yotish burchagi 28^0 . |
| 30 | Organogenli ohaktoshlar (yoshi – o'rta O). Yotish azimuti 80^0 , yotish burchagi 28^0 . |
| 31 | Gilli slaneslar (yoshi – quyi O). Yotish azimuti 91^0 , yotish burchagi 30^0 . |
| 32 | Kontakt. Sharqda Kremniyli jinslar (yoshi – Э), g'arbda – intruziv jinslar (yoshi – arxey). |
| 33 | Gilli slaneslar (yoshi – quyi O). Yotish azimuti 110^0 , yotish burchagi 30^0 . |
| 34 | Kontakt. Sharqda Kremniyli jinslar (yoshi – Э), g'arbda – intruziv jinslar (yoshi – arxey). |
| 35 | Gilli slaneslar (yoshi – quyi O). Yotish azimuti 110^0 , yotish burchagi 28^0 . |
| 36 | Kontakt. G'arbda Kremniyli jinslar (yoshi – Э), sharqda – intruziv jinslar (yoshi – arxey). |
| 37 | Kontakt. G'arbda Kremniyli jinslar (yoshi – Э), sharqda – intruziv jinslar (yoshi – arxey). |
| 38 | Kontakt. Sharqda Kremniyli jinslar (yoshi – Э), g'arbda – intruziv jinslar (yoshi – arxey). |
| 39 | Gilli slaneslar (yoshi – quyi O). Yotish azimuti 115^0 , yotish burchagi 30^0 . |
| 40 | Organogenli ohaktoshlar (yoshi – o'rta O). Yotish azimuti 113^0 , yotish burchagi 30^0 . |

| | |
|----|--|
| 41 | Alevrolitlar (yoshi – S). Yotish azimuti 115° , yotish burchagi 30° |
| 42 | Dolomitlar (yoshi – D). Yotish azimuti 115° , yotish burchagi 30° . |
| 43 | Organogenli ohaktoshlar (yoshi – o'rt'a O). Yotish azimuti 80° , yotish burchagi 28° . |
| 44 | Alevrolitlar (yoshi – S). Yotish azimuti 80° , yotish burchagi 31° |
| 45 | Uzilma. Yotish azimuti 85° , yotish burchagi 70° . G'arbda - dolomitlar (yoshi – D), sharqda - gravelitlar (yoshi – P) |
| 46 | Uzilma. Yotish azimuti 90° , yotish burchagi 70° . G'arbda - qumtoshlar (yoshi – C), sharqda - konglomeratlar (yoshi – quyi T) |
| 47 | Mergellar (yoshi – o'rt'a T). Sinklinal o'qi. |
| 48 | Konglomeratlar (yoshi – quyi T). Yotish azimuti 125° , yotish burchagi 30° . |
| 49 | Gravelitlar (yoshi – P). Yotish azimuti 255° , yotish burchagi 30° . |
| 50 | Konglomeratlar (yoshi – quyi T). Sinklinal o'qi. |
| 51 | Gravelitlar (yoshi – P). Yotish azimuti 120° , yotish burchagi 30° . |
| 52 | Uzilma. Yotish azimuti 107° , yotish burchagi 75° . Sharqda - qumtoshlar (yoshi – C), g'arbda - dolomitlar (yoshi – D). |
| 53 | Organogenli ohaktoshlar (yoshi – o'rt'a O). Yotish azimuti 113° , yotish burchagi 30° . |
| 54 | Organogenli ohaktoshlar (yoshi – o'rt'a O). Yotish azimuti 105° , yotish burchagi 30° . |
| 55 | Uzilma. Yotish azimuti 90° , yotish burchagi 75° . Sharqda - qumtoshlar (yoshi – C), g'arbda - alevrolitlar (yoshi – S). |
| 56 | Gravelitlar (yoshi – P). Yotish azimuti 90° , yotish burchagi 32° . |
| 57 | Konglomeratlar (yoshi – quyi T). Yotish azimuti 90° , yotish burchagi 32° . |
| 58 | Uzilma. Yotish azimuti 85° , yotish burchagi 75° . Sharqda - dolomitlar (yoshi – D), g'arbda - alevrolitlar (yoshi – S). |
| 59 | Qumtoshlar (yoshi – C). Yotish azimuti 85° , yotish burchagi 30° |
| 60 | Uzilma. Sharqda - qumtoshlar (yoshi – C), g'arbda - alevrolitlar (yoshi – S). |
| 61 | Konglomeratlar (yoshi – quyi T). Sinklinal o'qi. |
| 62 | Gravelitlar (yoshi – P). |
| 63 | Gravelitlar (yoshi – P). Sinklinal o'qi. |
| 64 | Uzilma. Sharqda - qumtoshlar (yoshi – C), G'arbda - qumtoshlar (yoshi – C). |
| 65 | Uzilma. Yotish azimuti 110° , yotish burchagi 75° . Sharqda - gravelitlar (yoshi – P), g'arbda - qumtoshlar (yoshi – C). |

| | |
|----|---|
| 66 | Uzilma. Sharqda - konglomeratlar (yoshi – quyi T), g'arbda - gravelitlar (yoshi – P). |
| 67 | Uzilma. Sharqda - konglomeratlar (yoshi – quyi T), g'arbda - konglomeratlar (yoshi – quyi T). |
| 68 | Uzilma. Yotish azimuti 80^0 , yotish burchagi 75^0 . Sharqda - konglomeratlar (yoshi – quyi T), g'arbda - gravelitlar (yoshi – P). |
| 69 | Uzilma. Yotish azimuti 80^0 , yotish burchagi 70^0 . Sharqda - gravelitlar (yoshi – P). G'arbda - qumtoshlar (yoshi – C). |
| 70 | Gravelitlar (yoshi – P). Yotish azimuti 300^0 , yotish burchagi 30^0 . |
| 71 | Qumtoshlar (yoshi – C). Yotish azimuti 270^0 , yotish burchagi 30^0 . |
| 72 | Uzilma. Yotish azimuti 100^0 , yotish burchagi 75^0 . Sharqda - gravelitlar (yoshi – P), g'arbda - qumtoshlar (yoshi – C). |
| 73 | Gravelitlar (yoshi – P). Yotish azimuti 250^0 , yotish burchagi 32^0 . |
| 74 | Uzilma. Yotish azimuti 115^0 , yotish burchagi 75^0 . Sharqda - konglomeratlar (yoshi – quyi T), g'arbda - gravelitlar (yoshi – P). |
| 75 | Qumtoshlar (yoshi – C). Yotish azimuti 250^0 , yotish burchagi 30^0 . |
| 76 | Dolomitlar (yoshi – D). Yotish azimuti 270^0 , yotish burchagi 30^0 . |
| 77 | Qumtoshlar (yoshi – C). Yotish azimuti 300^0 , yotish burchagi 32^0 . |
| 78 | Konglomeratlar (yoshi – quyi T). Yotish azimuti 270^0 , yotish burchagi 30^0 . |
| 79 | Gravelitlar (yoshi – P). Yotish azimuti 255^0 , yotish burchagi 32^0 . |
| 80 | Qumtoshlar (yoshi – C). Yotish azimuti 260^0 , yotish burchagi 29^0 . |
| 81 | Dolomitlar (yoshi – D). Yotish azimuti 270^0 , yotish burchagi 32^0 . |

27-variant

| Kuzatuv nuqtasi | Kuzatuv nuqtasidan olingan ma'lumotlar |
|-----------------|---|
| 1 | Gillar (yoshi – quyi P). Yotish azimuti 270^0 , yotish burchagi 30^0 . |
| 2 | Mergellar (yoshi – yuqori C). Yotish azimuti 277^0 , yotish burchagi 30^0 . |
| 3 | Uzilma. Sharqda – Qumtoshlar (yoshi – yuqori D), g'arbda – konglomeratlar (yoshi – o'rta C) |
| 4 | Konglomeratlar (yoshi – o'rta C). Yotish azimuti 273^0 , yotish burchagi 31^0 . |
| 5 | Gillar (yoshi – quyi P). Yotish azimuti 285^0 , yotish burchagi 30^0 . |
| 6 | Mergellar (yoshi – yuqori C). Yotish azimuti 285^0 , yotish burchagi 30^0 . |
| 7 | Gillar (yoshi – quyi P). Yotish azimuti 350^0 , yotish burchagi 27^0 . |
| 8 | Konglomeratlar (yoshi – o'rta C). Yotish azimuti 285^0 , yotish burchagi 30^0 . |
| 9 | Uzilma. Yotish azimuti 270^0 , yotish burchagi 70^0 . Sharqda – qumtoshlar (yoshi-yuqori D), g'arbda - konglomeratlar (yoshi – o'rta C). |
| 10 | Uzilma. Yotish azimuti 270^0 , yotish burchagi 70^0 . Sharqda – gravelitlar (yoshi – quyi C), g'arbda - konglomeratlar (yoshi – o'rta C). |
| 11 | Mergellar (yoshi – yuqori C). Sinklinal o'qi. |
| 12 | Mergellar (yoshi – yuqori karbon). Sinklinal o'qi. |
| 13 | Uzilma. Yotish azimuti 255^0 , yotish burchagi 70^0 . Sharqda – gravelitlar (yoshi – quyi C), g'arbda - konglomeratlar (yoshi – o'rta C). |
| 14 | Uzilma. Yotish azimuti 290^0 , yotish burchagi 70^0 . Sharqda – gravelitlar (yoshi – quyi C), g'arbda - konglomeratlar (yoshi – o'rta C). |
| 15 | Dolomitlar (yoshi – o'rta D). Yotish azimuti 277^0 , yotish burchagi 30^0 . |
| 16 | Organogenli ohaktoshlar (yoshi – yuqori S). Yotish azimuti 277^0 , yotish burchagi 28^0 . |
| 17 | Kontakt. Janubda kremniyli jinslar (yoshi-yuqori O). shimolda – |

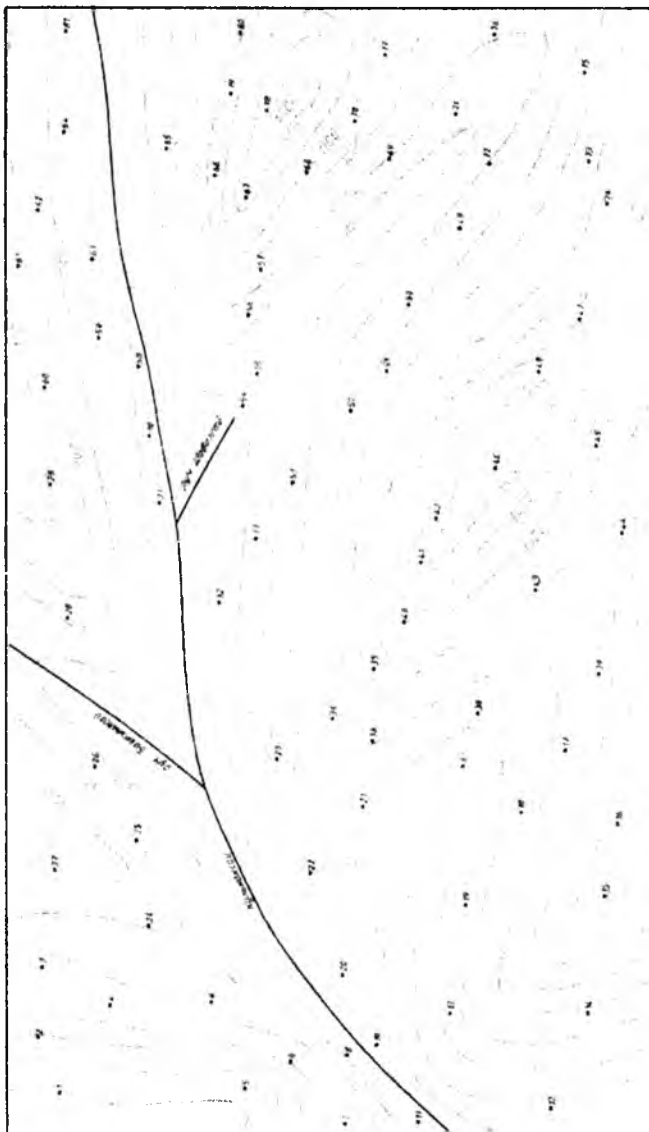
| | |
|----|---|
| | intruziv jinslar (yoshi – proterozoy). |
| 18 | Gilli slaneslar (yoshi – quyi S). Yotish azimuti 275 ⁰ , yotish burchagi 31 ⁰ |
| 19 | Alevrolitlar (yoshi – quyi D). Yotish azimuti 275 ⁰ , yotish burchagi 31 ⁰ |
| 20 | Dolomitlar (yoshi – o'rta D). Yotish azimuti 270 ⁰ , yotish burchagi 30 ⁰ . |
| 21 | Gilli slaneslar (yoshi – quyi S). Yotish azimuti 268 ⁰ , yotish burchagi 30 ⁰ |
| 22 | Organogenli ohaktoshlar (yoshi – yuqori S). Yotish azimuti 270 ⁰ , yotish burchagi 30 ⁰ . |
| 23 | Kontakt. Janubi g'arbda kremniyli jinslar (yoshi-yuqori O), shimoli-sharqda intruziv jinslar(yoshi- proterozoy) |
| 24 | Dolomitlar (yoshi – o'rta D). Yotish azimuti 275 ⁰ , yotish burchagi 30 ⁰ . |
| 25 | Organogenli ohaktoshlar (yoshi – yuqori S). Yotish azimuti 275 ⁰ , yotish burchagi 30 ⁰ . |
| 26 | Kontakt. G'arbda Kremniyli jinslar (yoshi – yuqori O), sharqda – intruziv jinslar (yoshi – proterozoy). |
| 27 | Alevrolitlar (yoshi – quyi D). Yotish azimuti 275 ⁰ , yotish burchagi 31 ⁰ |
| 28 | Kontakt. Sharqda Kremniyli jinslar (yoshi – yuqori O), g'arbda – intruziv jinslar (yoshi – proterozoy). |
| 29 | Organogenli ohaktoshlar (yoshi – yuqori S). Yotish azimuti 80 ⁰ , yotish burchagi 28 ⁰ . |
| 30 | Organogenli ohaktoshlar (yoshi – yuqori S). Yotish azimuti 80 ⁰ , yotish burchagi 28 ⁰ . |
| 31 | Gilli slaneslar (yoshi – quyi S). Yotish azimuti 91 ⁰ , yotish burchagi 30 ⁰ |
| 32 | Kontakt. Sharqda kremniyli jinslar (yoshi – yuqori O), g'arbda – intruziv jinslar (yoshi – proterozoy). |
| 33 | Gilli slaneslar (yoshi – quyi S). Yotish azimuti 110 ⁰ , yotish burchagi 30 ⁰ |
| 34 | Kontakt. Sharqda kremniyli jinslar (yoshi – yuqori O), g'arbda – intruziv jinslar (yoshi – proterozoy). |
| 35 | Gilli slaneslar (yoshi – quyi S). Yotish azimuti 110 ⁰ , yotish burchagi 28 ⁰ |
| 36 | Kontakt. G'arbda kremniyli jinslar (yoshi – yuqori ordovik), sharqda |

| | |
|----|---|
| | - intruziv jinslar (yoshi – proterozoy). |
| 37 | Kontakt. G'arbda kremniyli jinslar (yoshi – yuqori O), sharqda – intruziv jinslar (yoshi – proterozoy). |
| 38 | Kontakt. Sharqda kremniyli jinslar (yoshi – yuqori O), g'arbda – intruziv jinslar (yoshi – proterozoy). |
| 39 | Gilli slaneslar (yoshi – quyi S). Yotish azimuti 115° , yotish burchagi 30° . |
| 40 | Organogenli ohaktoshlar (yoshi – yuqori S). Yotish azimuti 113° , yotish burchagi 30° . |
| 41 | Alevrolitlar (yoshi – quyi D). Yotish azimuti 115° , yotish burchagi 30° . |
| 42 | Dolomitlar (yoshi – o'rta D). Yotish azimuti 115° , yotish burchagi 30° . |
| 43 | Organogenli ohaktoshlar (yoshi – yuqori S). Yotish azimuti 80° , yotish burchagi 28° . |
| 44 | Alevrolitlar (yoshi – quyi D). Yotish azimuti 80° , yotish burchagi 31° . |
| 45 | Uzilma. Yotish azimuti 85° , yotish burchagi 70° . G'arbda - dolomitlar (yoshi – o'rta D), sharqda - gravelitlar (yoshi – quyi C). |
| 46 | Uzilma. Yotish azimuti 90° , yotish burchagi 70° . G'arbda - qumtoshlar (yoshi – yuqori D), sharqda - konglomeratlar (yoshi – o'rta C). |
| 47 | Mergellar (yoshi – yuqori C). Sinklinal. |
| 48 | Konglomeratlar (yoshi – o'rta C). Yotish azimuti 125° , yotish burchagi 30° . |
| 49 | Gravelitlar (yoshi – quyi C). Yotish azimuti 255° , yotish burchagi 30° . |
| 50 | Konglomeratlar (yoshi – o'rta C). Sinklinal o'qi. |
| 51 | Gravelitlar (yoshi – quyi C). Yotish azimuti 120° , yotish burchagi 30° . |
| 52 | Uzilma. Yotish azimuti 107° , yotish burchagi 75° . Sharqda - qumtoshlar (yoshi – yuqori D), g'arbda - dolomitlar (yoshi – o'rta D). |
| 53 | Organogenli ohaktoshlar (yoshi – yuqori S). Yotish azimuti 113° , yotish burchagi 30° . |
| 54 | Organogenli ohaktoshlar (yoshi – yuqori S). Yotish azimuti 105° , yotish burchagi 30° . |
| 55 | Uzilma. Yotish azimuti 90° , yotish burchagi 75° . Sharqda - qumtoshlar (yoshi – yuqori D), g'arbda - alevrolitlar (yoshi – quyi D). |

| | |
|----|---|
| 56 | Gravelitlar (yoshi – quyi C). Yotish azimuti 90° , yotish burchagi 32° . |
| 57 | Konglomeratlar (yoshi – o‘rta C). Yotish azimuti 90° , yotish burchagi 32° . |
| 58 | Uzilma. Yotish azimuti 85° , yotish burchagi 75° . Sharqda - dolomitlar (yoshi – o‘rta D), g‘arbda - alevrolitlar (yoshi – quyi D). |
| 59 | Qumtoshlar (yoshi – yuqori D). Yotish azimuti 85° , yotish burchagi 30° . |
| 60 | Uzilma. Sharqda - qumtoshlar (yoshi – yuqori D), g‘arbda - alevrolitlar (yoshi – quyi D). |
| 61 | Konglomeratlar (yoshi – o‘rta C). Sinklinal o‘qi. |
| 62 | Gravelitlar (yoshi – quyi C). |
| 63 | Gravelitlar (yoshi – quyi C). Sinklinal o‘qi. |
| 64 | Uzilma. Sharqda - qumtoshlar (yoshi – yuqori D), g‘arbda - qumtoshlar (yoshi – yuqori D). |
| 65 | Uzilma. Yotish azimuti 110° , yotish burchagi 75° . Sharqda - gravelitlar (yoshi – quyi C), g‘arbda - qumtoshlar (yoshi – yuqori D). |
| 66 | Uzilma. Sharqda - Konglomeratlar (yoshi – o‘rta C), g‘arbda - gravelitlar (yoshi – quyi C) |
| 67 | Uzilma. Sharqda - konglomeratlar (yoshi – o‘rta karbon), g‘arbda - konglomeratlar (yoshi – o‘rta C). |
| 68 | Uzilma. Yotish azimuti 80° , yotish burchagi 75° . Sharqda - konglomeratlar (yoshi – o‘rta C), g‘arbda - gravelitlar (yoshi – quyi C) |
| 69 | Uzilma. Yotish azimuti 80° , yotish burchagi 70° . Sharqda - Gravelitlar (yoshi – quyi C), G‘arbda - Qumtoshlar (yoshi – yuqori devon). |
| 70 | Gravelitlar (yoshi – quyi C). Yotish azimuti 300° , yotish burchagi 30° . |
| 71 | Qumtoshlar (yoshi – yuqori D). Yotish azimuti 270° , yotish burchagi 30° . |
| 72 | Uzilma. Yotish azimuti 100° , yotish burchagi 75° . Sharqda - gravelitlar (yoshi – quyi C), g‘arbda - qumtoshlar (yoshi – yuqori D) |
| 73 | Gravelitlar (yoshi – quyi C). Yotish azimuti 250° , yotish burchagi 32° . |
| 74 | Uzilma. Yotish azimuti 115° , yotish burchagi 75° . Sharqda - konglomeratlar (yoshi – o‘rta C), g‘arbda - gravelitlar (yoshi – quyi C) |

| | |
|----|---|
| 75 | Qumtoshlar (yoshi – yuqori D). Yotish azimuti 250° , yotish burchagi 30° . |
| 76 | Dolomitlar (yoshi – o‘rta D). Yotish azimuti 270° , yotish burchagi 30° . |
| 77 | Qumtoshlar (yoshi – yuqori D). Yotish azimuti 300° , yotish burchagi 32° . |
| 78 | Konglomeratlar (yoshi – o‘rta C). Yotish azimuti 270° , yotish burchagi 30° . |
| 79 | Gravelitlar (yoshi – quyi C). Yotish azimuti 255° , yotish burchagi 32° . |
| 80 | Qumtoshlar (yoshi – yuqori D). Yotish azimuti 260° , yotish burchagi 29° . |
| 81 | Dolomitlar (yoshi – o‘rta D). Yotish azimuti 270° , yotish burchagi 32° . |

27-variant (21)
Mashtab 1:50000



1-вариант

| Точки наблюдений | Геологические данные точек наблюдений |
|------------------|--|
| 1 | Конгломераты красно-коричневого цвета (возраст - Т). Азимут падения слоя 38° , Угол падения слоя 30° |
| 2 | Конгломераты красно-коричневого цвета (возраст - Т). Азимут падения слоя 40° , Угол падения слоя 30° |
| 3 | Песчаники бледно-серого цвета (возраст - J). Азимут падения слоя 30° , Угол падения слоя 27° |
| 4 | Песчаники бледно-серого цвета (возраст - J). Азимут падения слоя 30° , Угол падения слоя 25° |
| 5 | Ось синклинали. Здесь распространены Глины темно-серого цвета (возраст - К). |
| 6 | Продолжение синклинали точки 5. Породы представлены Глинами темно-серого цвета (возраст - К). |
| 7 | Глины темно-серого цвета (возраст - К). Азимут падения слоя 27° , Угол падения слоя 23° . |
| 8 | Глины темно-серого цвета (возраст - К). Азимут падения слоя 32° , Угол падения слоя 25° . |
| 9 | Доломитизированные известняки серого цвета (возраст - палеоген). Азимут падения слоя 55° , Угол падения слоя 28° . |
| 10 | Доломитизированные известняки серого цвета (возраст - палеоген). Азимут падения слоя 80° , Угол падения слоя 31° . |
| 11 | Доломитизированные известняки серого цвета (возраст - палеоген). Азимут падения слоя 20° , Угол падения слоя 28° . |
| 12 | Глины темно-серого цвета (возраст - К). Азимут падения слоя 37° , Угол падения слоя 26° . |
| 13 | Глины темно-серого цвета (возраст - К). Азимут падения слоя 37° , Угол падения слоя 26° . |
| 14 | Глины темно-серого цвета (возраст - К). Азимут падения слоя 41° , Угол падения слоя 28° . |
| 15 | Глины темно-серого цвета (возраст - К). Азимут падения слоя 90° , Угол падения слоя 31° . |
| 16 | Песчаники бледно-серого цвета (возраст - J). Азимут падения слоя 80° , Угол падения слоя 27° |
| 17 | Песчаники бледно-серого цвета (возраст - J). Азимут падения слоя 42° , Угол падения слоя 31° |

| | |
|----|---|
| 18 | Песчаники бледно-серого цвета (возраст - J). Азимут падения слоя 30° , Угол падения слоя 27° |
| 19 | Песчаники бледно-серого цвета (возраст - J). Азимут падения слоя 45° , Угол падения слоя 27° |
| 20 | Песчаники бледно-серого цвета (возраст - J). Азимут падения слоя 350° , Угол падения слоя 32° . |
| 21 | Конгломераты красно-коричневого цвета (возраст - T). Азимут падения слоя 350° Угол падения слоя 30° |
| 22 | Конгломераты красно-коричневого цвета (возраст - T). Азимут падения слоя 20° Угол падения слоя 30° |
| 23 | Конгломераты красно-коричневого цвета (возраст - T). Азимут падения слоя 48° Угол падения слоя 30° |
| 24 | Песчаники бледно-серого цвета (возраст - J). Азимут падения слоя 95° , Угол падения слоя 27° |
| 25 | Песчаники бледно-серого цвета (возраст - J). Азимут падения слоя 80° , Угол падения слоя 27° . |
| 26 | Песчаники бледно-серого цвета (возраст - J). Азимут падения слоя 80° , Угол падения слоя 28° . |
| 27 | Песчаники бледно-серого цвета (возраст - J). Азимут падения слоя 40° , Угол падения слоя 28° . |
| 28 | Глины темно-серого цвета (возраст - K). Азимут падения слоя 100° , Угол падения слоя 33° . |
| 29 | Глины темно-серого цвета (возраст - K). Азимут падения слоя 77° , Угол падения слоя 32° . |
| 30 | Глины темно-серого цвета (возраст - K). Азимут падения слоя 90° , Угол падения слоя 33° . |
| 31 | Глины темно-серого цвета (возраст - K). Азимут падения слоя 80° , Угол падения слоя 28° . |
| 32 | Глины темно-серого цвета (возраст - K). Азимут падения слоя 100° , Угол падения слоя 33° . |
| 33 | Доломитизированные известняки серого цвета (возраст - палеоген). Азимут падения слоя 100° , Угол падения слоя 28° . |
| 34 | Доломитизированные известняки серого цвета (возраст - палеоген). Азимут падения слоя 90° , Угол падения слоя 30° . |
| 35 | Доломитизированные известняки серого цвета (возраст - палеоген). Азимут падения слоя 320° , Угол падения слоя 28° . |
| 36 | Доломитизированные известняки серого цвета (возраст - палеоген). Азимут падения слоя 320° , Угол падения слоя 28° . |

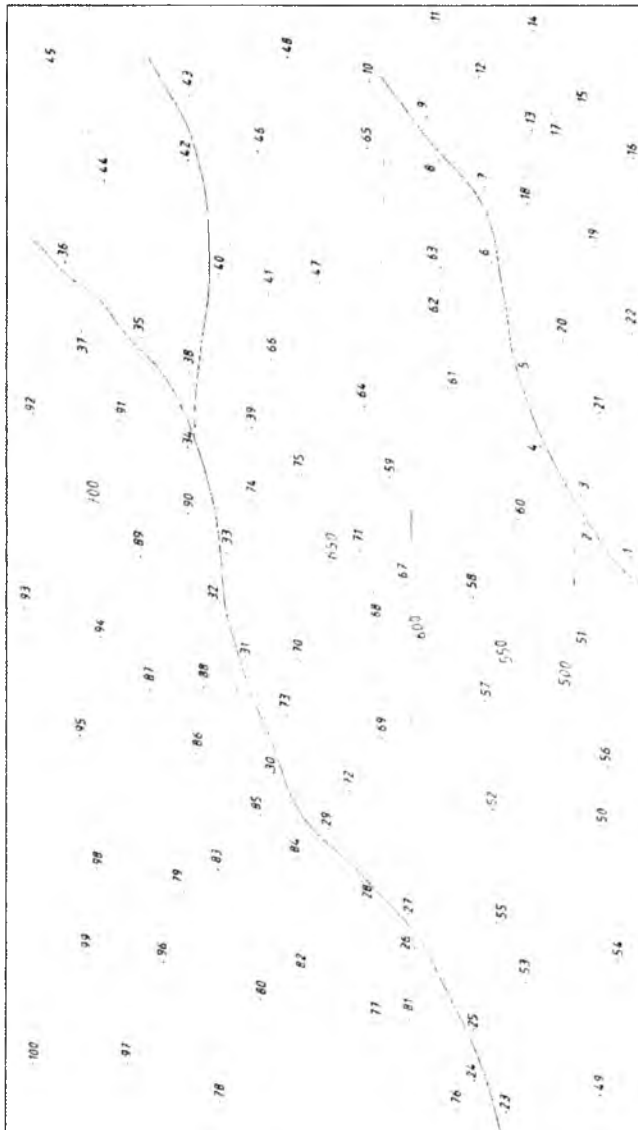
| | |
|----|---|
| 37 | Доломитизированные известняки серого цвета (возраст - палеоген). Азимут падения слоя 120 ⁰ , Угол падения слоя 25 ⁰ . |
| 38 | Доломитизированные известняки серого цвета (возраст - палеоген). Азимут падения слоя 180 ⁰ , Угол падения слоя 31 ⁰ . |
| 39 | Доломитизированные известняки серого цвета (возраст - палеоген). Азимут падения слоя 45 ⁰ , Угол падения слоя 28 ⁰ . |
| 40 | Доломитизированные известняки серого цвета (возраст - палеоген). Азимут падения слоя 10 ⁰ , Угол падения слоя 27 ⁰ . |
| 41 | Доломитизированные известняки серого цвета (возраст - палеоген). Азимут падения слоя 60 ⁰ , Угол падения слоя 28 ⁰ . |
| 42 | Доломитизированные известняки серого цвета (возраст - палеоген). Азимут падения слоя 140 ⁰ , Угол падения слоя 35 ⁰ . |
| 43 | Доломитизированные известняки серого цвета (возраст - палеоген). Азимут падения слоя 340 ⁰ , Угол падения слоя 28 ⁰ . |
| 44 | Доломитизированные известняки серого цвета (возраст - палеоген). Азимут падения слоя 30 ⁰ , Угол падения слоя 31 ⁰ . |
| 45 | Доломитизированные известняки серого цвета (возраст - палеоген). Азимут падения слоя 30 ⁰ , Угол падения слоя 27 ⁰ . |
| 46 | Доломитизированные известняки серого цвета (возраст - палеоген). Азимут падения слоя 340 ⁰ , Угол падения слоя 30 ⁰ . |
| 47 | Доломитизированные известняки серого цвета (возраст - палеоген). Азимут падения слоя 55 ⁰ , Угол падения слоя 28 ⁰ . |
| 48 | Доломитизированные известняки серого цвета (возраст - палеоген). Азимут падения слоя 105 ⁰ , Угол падения слоя 26 ⁰ . |
| 49 | Конгломераты красно-коричневого цвета (возраст - Т). Азимут падения слоя 38 ⁰ Угол падения слоя 30 ⁰ . |
| 50 | Конгломераты красно-коричневого цвета (возраст - Т). Азимут падения слоя 38 ⁰ Угол падения слоя 33 ⁰ . |
| 51 | Конгломераты красно-коричневого цвета (возраст - Т). Азимут падения слоя 350 ⁰ Угол падения слоя 30 ⁰ . |
| 52 | Конгломераты красно-коричневого цвета (возраст - Т). Азимут падения слоя 38 ⁰ Угол падения слоя 31 ⁰ . |
| 53 | Конгломераты красно-коричневого цвета (возраст - Т). Азимут падения слоя 25 ⁰ Угол падения слоя 33 ⁰ . |
| 54 | Конгломераты красно-коричневого цвета (возраст - Т). Азимут падения слоя 35 ⁰ Угол падения слоя 30 ⁰ . |
| 55 | Песчаники бледно-серого цвета (возраст - J). Азимут падения слоя 30 ⁰ , Угол падения слоя 29 ⁰ . |
| 56 | Песчаники бледно-серого цвета (возраст - J). Азимут падения |

| | |
|----|---|
| | слоя 40 ⁰ , Угол падения слоя 27 ⁰ . |
| 57 | Песчаники бледно-серого цвета (возраст - J). Азимут падения слоя 35 ⁰ , Угол падения слоя 27 ⁰ . |
| 58 | Песчаники бледно-серого цвета (возраст - J). Азимут падения слоя 27 ⁰ , Угол падения слоя 28 ⁰ . |
| 59 | Песчаники бледно-серого цвета (возраст - J). Азимут падения слоя 20 ⁰ , Угол падения слоя 30 ⁰ . |
| 60 | Песчаники бледно-серого цвета (возраст - J). Азимут падения слоя 25 ⁰ , Угол падения слоя 30 ⁰ . |
| 61 | Песчаники бледно-серого цвета (возраст - J). Азимут падения слоя 25 ⁰ , Угол падения слоя 27 ⁰ . |
| 62 | Песчаники бледно-серого цвета (возраст - J). Азимут падения слоя 70 ⁰ , Угол падения слоя 25 ⁰ . |
| 63 | Глины темно-серого цвета (возраст - К). Азимут падения слоя 85 ⁰ , Угол падения слоя 29 ⁰ . |
| 64 | Глины темно-серого цвета (возраст - К). Азимут падения слоя 70 ⁰ , Угол падения слоя 27 ⁰ . |
| 65 | Глины темно-серого цвета (возраст - К). Азимут падения слоя 60 ⁰ , Угол падения слоя 27 ⁰ . |
| 66 | Глины темно-серого цвета (возраст - К). Азимут падения слоя 27 ⁰ , Угол падения слоя 30 ⁰ . |
| 67 | Глины темно-серого цвета (возраст - К). Азимут падения слоя 45 ⁰ , Угол падения слоя 31 ⁰ . |
| 68 | Песчаники бледно-серого цвета (возраст - J). Азимут падения слоя 65 ⁰ , Угол падения слоя 27 ⁰ . |
| 69 | Песчаники бледно-серого цвета (возраст - J). Азимут падения слоя 350 ⁰ , Угол падения слоя 27 ⁰ . |
| 70 | Песчаники бледно-серого цвета (возраст - J). Азимут падения слоя 350 ⁰ , Угол падения слоя 28 ⁰ . |
| 71 | Глины темно-серого цвета (возраст - К). Азимут падения слоя 45 ⁰ , Угол падения слоя 31 ⁰ . |
| 72 | Песчаники бледно-серого цвета (возраст - J). Азимут падения слоя 330 ⁰ , Угол падения слоя 27 ⁰ . |
| 73 | Глины темно-серого цвета (возраст - К). Азимут падения слоя 340 ⁰ , Угол падения слоя 27 ⁰ . |
| 74 | Глины темно-серого цвета (возраст - К). Азимут падения слоя 15 ⁰ , Угол падения слоя 28 ⁰ . |
| 75 | Глины темно-серого цвета (возраст - К). Азимут падения слоя |

| | |
|----|---|
| | 45 ⁰ , Угол падения слоя 28 ⁰ . |
| 76 | Конгломераты красно-коричневого цвета (возраст - Т). Азимут падения слоя 100 ⁰ Угол падения слоя 30 ⁰ |
| 77 | Конгломераты красно-коричневого цвета (возраст - Т). Азимут падения слоя 90 ⁰ Угол падения слоя 32 ⁰ |
| 78 | Конгломераты красно-коричневого цвета (возраст - Т). Азимут падения слоя 38 ⁰ Угол падения слоя 33 ⁰ |
| 79 | Конгломераты красно-коричневого цвета (возраст - Т). Азимут падения слоя 42 ⁰ Угол падения слоя 30 ⁰ |
| 80 | Конгломераты красно-коричневого цвета (возраст - Т). Азимут падения слоя 50 ⁰ Угол падения слоя 30 ⁰ |
| 81 | Песчаники бледно-серого цвета (возраст - J). Азимут падения слоя 120 ⁰ , Угол падения слоя 29 ⁰ |
| 82 | Песчаники бледно-серого цвета (возраст - J). Азимут падения слоя 110 ⁰ , Угол падения слоя 32 ⁰ |
| 83 | Песчаники бледно-серого цвета (возраст - J). Азимут падения слоя 100 ⁰ , Угол падения слоя 29 ⁰ |
| 84 | Песчаники бледно-серого цвета (возраст - J). Азимут падения слоя 120 ⁰ , Угол падения слоя 27 ⁰ |
| 85 | Глины темно-серого цвета (возраст - К). Азимут падения слоя 90 ⁰ , Угол падения слоя 23 ⁰ . |
| 86 | Песчаники бледно-серого цвета (возраст - J). Азимут падения слоя 140 ⁰ , Угол падения слоя 28 ⁰ . |
| 87 | Песчаники бледно-серого цвета (возраст - J). Азимут падения слоя 90 ⁰ , Угол падения слоя 28 ⁰ . |
| 88 | Глины темно-серого цвета (возраст - К). Азимут падения слоя 127 ⁰ , Угол падения слоя 23 ⁰ . |
| 89 | Глины темно-серого цвета (возраст - К). Азимут падения слоя 110 ⁰ , Угол падения слоя 23 ⁰ . |
| 90 | Доломитизированные известняки серого цвета (возраст - палеоген). Азимут падения слоя 105 ⁰ , Угол падения слоя 28 ⁰ . |
| 91 | Доломитизированные известняки серого цвета (возраст - палеоген). Азимут падения слоя 115 ⁰ , Угол падения слоя 28 ⁰ . |
| 92 | Глины темно-серого цвета (возраст - К). Азимут падения слоя 127 ⁰ , Угол падения слоя 23 ⁰ . |
| 93 | Глины темно-серого цвета (возраст - К). Азимут падения слоя 70 ⁰ , Угол падения слоя 23 ⁰ . |
| 94 | Глины темно-серого цвета (возраст - К). Азимут падения слоя 80 ⁰ , Угол падения слоя 23 ⁰ . |

| | |
|-----|--|
| 95 | Песчаники бледно-серого цвета (возраст - J). Азимут падения слоя 350° , Угол падения слоя 27° |
| 96 | Песчаники бледно-серого цвета (возраст - J). Азимут падения слоя 50° , Угол падения слоя 30° . |
| 97 | Песчаники бледно-серого цвета (возраст - J). Азимут падения слоя 15° , Угол падения слоя 27° . |
| 98 | Песчаники бледно-серого цвета (возраст - J). Азимут падения слоя 330° , Угол падения слоя 28° |
| 99 | Глины темно-серого цвета (возраст - K). Азимут падения слоя 10° , Угол падения слоя 31° . |
| 100 | Глины темно-серого цвета (возраст - K). Азимут падения слоя 10° , Угол падения слоя 33° . |

1-variant (1)
Masshtab 1:10000



2-вариант

| Точки наблюдений | Геологические данные точек наблюдений |
|------------------|---|
| 1 | Сероцветные песчаники (возраст - S). Азимут падения слоя 230 ⁰ , Угол падения слоя 28 ⁰ . |
| 2 | Сероцветные песчаники (возраст - S). Азимут падения слоя 230 ⁰ , Угол падения слоя 30 ⁰ . |
| 3 | Сероцветные песчаники (возраст - S). Азимут падения слоя 250 ⁰ , Угол падения слоя 28 ⁰ . |
| 4 | Сероцветные песчаники (возраст - S). Азимут падения слоя 35 ⁰ , Угол падения слоя 28 ⁰ . |
| 5 | Сероцветные песчаники (возраст - S). Азимут падения слоя 240 ⁰ , Угол падения слоя 28 ⁰ . |
| 6 | Сероцветные песчаники (возраст - S). |
| 7 | Сероцветные песчаники (возраст - S). |
| 8 | Сероцветные песчаники (возраст - S). Азимут падения слоя 230 ⁰ , Угол падения слоя 28 ⁰ . |
| 9 | Сероцветные песчаники (возраст - S). Азимут падения слоя 220 ⁰ , Угол падения слоя 28 ⁰ . |
| 10 | Мел с прослойками глины (возраст - D). Азимут падения слоя 260 ⁰ , Угол падения слоя 28 ⁰ . |
| 11 | Мел с прослойками глины (возраст - D). Азимут падения слоя 250 ⁰ , Угол падения слоя 28 ⁰ . |
| 12 | Мергелы темносерого цвета (возраст - нижний карбон). Азимут падения слоя 260 ⁰ , Угол падения слоя 31 ⁰ . |
| 13 | Мергелы темносерого цвета (возраст-нижний карбон). Азимут падения слоя 235 ⁰ , Угол падения слоя 31 ⁰ . |
| 14 | Глины с прослойками угля (возраст-средний карбон). Азимут падения слоя 240 ⁰ , Угол падения слоя 31 ⁰ . |
| 15 | Глины с прослойками угля (возраст-средний карбон). Азимут падения слоя 250 ⁰ , Угол падения слоя 31 ⁰ . |
| 16 | Сероцветные песчаники (возраст - S). Азимут падения слоя 45 ⁰ , Угол падения слоя 28 ⁰ . |
| 17 | Мел с прослойками глины (возраст - D). Азимут падения слоя 40 ⁰ , Угол падения слоя 28 ⁰ . |

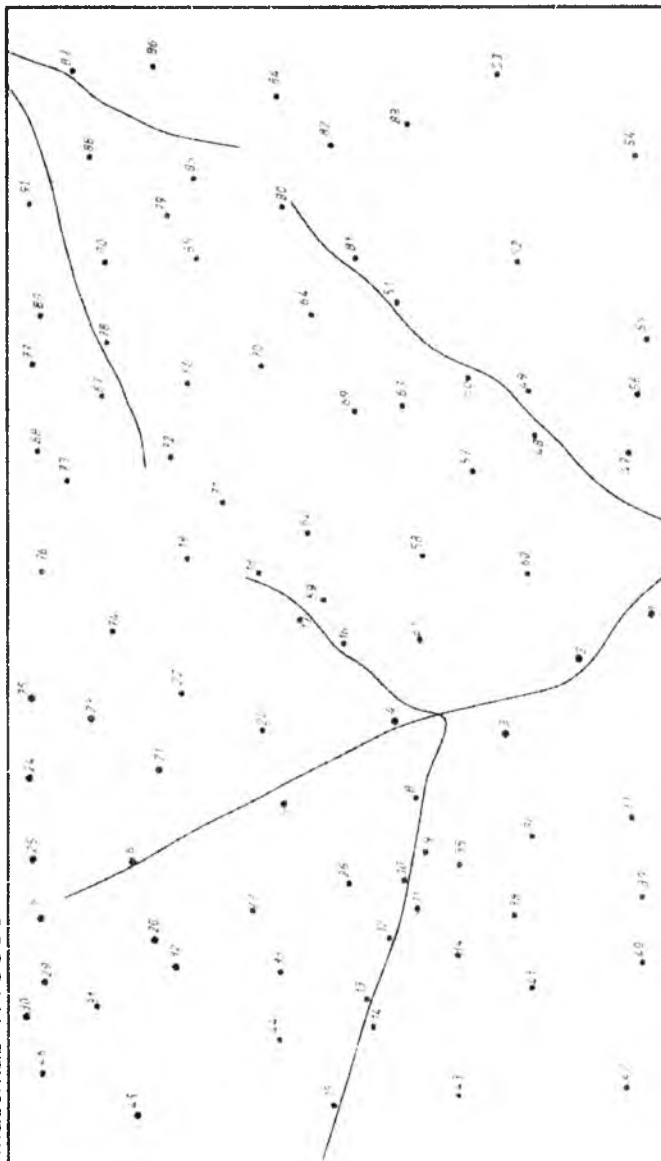
| | |
|----|--|
| 18 | Мергели темносерого цвета (возраст - нижний карбон). Азимут падения слоя 45 ⁰ , Угол падения слоя 31 ⁰ |
| 19 | Мергели темносерого цвета (возраст - нижний карбон). Азимут падения слоя 50 ⁰ , Угол падения слоя 31 ⁰ |
| 20 | Сероцветные песчаники (возраст - S). Азимут падения слоя 30 ⁰ , Угол падения слоя 28 ⁰ . |
| 21 | Мел с прослоями глины (возраст - D). Азимут падения слоя 45 ⁰ , Угол падения слоя 28 ⁰ . |
| 22 | Контакт. На юго-западе Мел с прослоями глины (возраст - D), на севера-востоке Мергели темносерого цвета (возраст - нижний карбон). Азимут падения слоя 50 ⁰ , Угол падения слоя 31 ⁰ . |
| 23 | Мергели темносерого цвета (возраст - нижний карбон). Азимут падения слоя 45 ⁰ , Угол падения слоя 31 ⁰ |
| 24 | Мергели темносерого цвета (возраст - нижний карбон). Азимут падения слоя 45 ⁰ , Угол падения слоя 31 ⁰ |
| 25 | Мел с прослоями глины (возраст - D). Азимут падения слоя 40 ⁰ , Угол падения слоя 28 ⁰ . |
| 26 | Мел с прослоями глины (возраст - D). Азимут падения слоя 220 ⁰ , Угол падения слоя 28 ⁰ . |
| 27 | Мел с прослоями глины (возраст - D). Азимут падения слоя 260 ⁰ , Угол падения слоя 28 ⁰ . |
| 28 | Мел с прослоями глины (возраст - D). Азимут падения слоя 260 ⁰ , Угол падения слоя 28 ⁰ . |
| 29 | Мел с прослоями глины (возраст - D). Азимут падения слоя 370 ⁰ , Угол падения слоя 28 ⁰ . |
| 30 | Мергели темносерого цвета (возраст-нижний карбон). Азимут падения слоя 280 ⁰ , Угол падения слоя 31 ⁰ |
| 31 | Мергели темносерого цвета (возраст-нижний карбон). Азимут падения слоя 260 ⁰ , Угол падения слоя 31 ⁰ |
| 32 | Мергели темносерого цвета (возраст-нижний карбон). Азимут падения слоя 260 ⁰ , Угол падения слоя 31 ⁰ |
| 33 | Мергели темносерого цвета (возраст-нижний карбон). Азимут падения слоя 275 ⁰ , Угол падения слоя 31 ⁰ |
| 34 | Мергели темносерого цвета (возраст-нижний карбон). Азимут падения слоя 260 ⁰ , Угол падения слоя 31 ⁰ |
| 35 | Мел с прослоями глины (возраст - D). Азимут падения слоя 255 ⁰ , Угол падения слоя 28 ⁰ . |
| 36 | Мел с прослоями глины (возраст - D). Азимут падения слоя |

| | |
|----|---|
| | 265 ⁰ , Угол падения слоя 28 ⁰ . |
| 37 | Мел с прослоями глины (возраст - D). Азимут падения слоя 270 ⁰ , Угол падения слоя 28 ⁰ . |
| 38 | Мергели темносерого цвета (возраст - нижний карбон). Азимут падения слоя 270 ⁰ , Угол падения слоя 31 ⁰ |
| 39 | Мергели темносерого цвета (возраст-нижний карбон). Азимут падения слоя 265 ⁰ , Угол падения слоя 31 ⁰ |
| 40 | Глины с прослойками угля (возраст-средний карбон). Азимут падения слоя 270 ⁰ , Угол падения слоя 31 ⁰ |
| 41 | Глины с прослойками угля (возраст-средний карбон). Азимут падения слоя 270 ⁰ , Угол падения слоя 31 ⁰ |
| 42 | Глины с прослойками угля (возраст-средний карбон). Азимут падения слоя 275 ⁰ , Угол падения слоя 31 ⁰ |
| 43 | Глины с прослойками угля (возраст-средний карбон). Азимут падения слоя 270 ⁰ , Угол падения слоя 31 ⁰ |
| 44 | Глины с прослойками угля (возраст-средний карбон). Азимут падения слоя 280 ⁰ , Угол падения слоя 31 ⁰ |
| 45 | Глины с прослойками угля (возраст-средний карбон). Азимут падения слоя 260 ⁰ , Угол падения слоя 31 ⁰ |
| 46 | Глины с прослойками угля (возраст-средний карбон). Азимут падения слоя 285 ⁰ , Угол падения слоя 31 ⁰ |
| 47 | Сероцветные песчаники (возраст - S). Азимут падения слоя 90 ⁰ , Угол падения слоя 28 ⁰ . |
| 48 | Сероцветные песчаники (возраст - S). Азимут падения слоя 50 ⁰ , Угол падения слоя 28 ⁰ . |
| 49 | Мел с прослоями глины (возраст - D). Азимут падения слоя 35 ⁰ , Угол падения слоя 28 ⁰ . |
| 50 | Мергели темносерого цвета (возраст - нижний карбон). Азимут падения слоя 50 ⁰ , Угол падения слоя 31 ⁰ |
| 51 | Мергели темносерого цвета (возраст-нижний карбон). Азимут падения слоя 225 ⁰ , Угол падения слоя 31 ⁰ |
| 52 | Мергелт темносерого цвета (возраст-нижний карбон). Азимут падения слоя 70 ⁰ , Угол падения слоя 31 ⁰ |
| 53 | Мергели темносерого цвета (возраст-нижний карбон). Азимут падения слоя 210 ⁰ , Угол падения слоя 31 ⁰ |
| 54 | Мергели темносерого цвета (возраст-нижний карбон). Азимут падения слоя 260 ⁰ , Угол падения слоя 31 ⁰ |
| 55 | Мергели темносерого цвета (возраст-нижний карбон). Азимут |

| | |
|----|---|
| | падения слоя 100° , Угол падения слоя 31° |
| 56 | Мел с прослоями глины (возраст - D). Азимут падения слоя 95° , Угол падения слоя 28° . |
| 57 | Мел с прослоями глины (возраст - D). Азимут падения слоя 45° , Угол падения слоя 28° . |
| 58 | Мел с прослоями глины (возраст - D). Азимут падения слоя 45° , Угол падения слоя 28° . |
| 59 | Мел с прослоями глины (возраст - D). Азимут падения слоя 30° , Угол падения слоя 28° . |
| 60 | Сероцветные песчаники (возраст - S). Азимут падения слоя 40° , Угол падения слоя 28° . |
| 61 | Сероцветные песчаники (возраст - S). Азимут падения слоя 105° , Угол падения слоя 28° . |
| 62 | Мергели темносерого цвета (возраст - нижний карбон). Азимут падения слоя 50° , Угол падения слоя 31° |
| 63 | Мергели темносерого цвета (возраст - нижний карбон). |
| 64 | Мергели темносерого цвета (возраст-нижний карбон). Азимут падения слоя 280° , Угол падения слоя 31° |
| 65 | Мергели темносерого цвета (возраст-нижний карбон). Азимут падения слоя 245° , Угол падения слоя 31° |
| 66 | Мергели темносерого цвета (возраст-нижний карбон). Азимут падения слоя 245° , Угол падения слоя 31° |
| 67 | Мергели темносерого цвета (возраст-нижний карбон). Азимут падения слоя 260° , Угол падения слоя 31° |
| 68 | Мергели темносерого цвета (возраст-нижний карбон). Азимут падения слоя 240° , Угол падения слоя 31° |
| 69 | Глины с прослойками угля (возраст - средний карбон). |
| 70 | Глины с прослойками угля (возраст-средний карбон). Азимут падения слоя 245° , Угол падения слоя 31° |
| 71 | Глины с прослойками угля (возраст - средний карбон). Азимут падения слоя 90° , Угол падения слоя 31° |
| 72 | Глины с прослойками угля (возраст - средний карбон). |
| 73 | Глины с прослойками угля (возраст - средний карбон). Азимут падения слоя 240° , Угол падения слоя 31° |
| 74 | Глины с прослойками угля (возраст - средний карбон). Азимут падения слоя 40° , Угол падения слоя 31° |
| 75 | Глины с прослойками угля (возраст - средний карбон). Азимут падения слоя 45° , Угол падения слоя 31° |
| 76 | Глины с прослойками угля (возраст - средний карбон). Азимут |

| | |
|----|---|
| | падения слоя 240 ⁰ , Угол падения слоя 31 ⁰ |
| 77 | Мел с прослоями глины (возраст - D). Азимут падения слоя 255 ⁰ , Угол падения слоя 28 ⁰ . |
| 78 | Мел с прослоями глины (возраст - D). Азимут падения слоя 255 ⁰ , Угол падения слоя 28 ⁰ . |
| 79 | Мел с прослоями глины (возраст - D). Азимут падения слоя 230 ⁰ , Угол падения слоя 28 ⁰ . |
| 80 | Мел с прослоями глины (возраст - D). Азимут падения слоя 230 ⁰ , Угол падения слоя 28 ⁰ . |
| 81 | Мел с прослоями глины (возраст - D). Азимут падения слоя 300 ⁰ , Угол падения слоя 28 ⁰ . |
| 82 | Мел с прослоями глины (возраст - D). Азимут падения слоя 230 ⁰ , Угол падения слоя 28 ⁰ . |
| 83 | Мел с прослоями глины (возраст - D). Азимут падения слоя 240 ⁰ , Угол падения слоя 28 ⁰ . |
| 84 | Сероцветные песчаники (возраст - S). Азимут падения слоя 230 ⁰ , Угол падения слоя 28 ⁰ . |
| 85 | Сероцветные песчаники (возраст - S). Азимут падения слоя 275 ⁰ , Угол падения слоя 28 ⁰ . |
| 86 | Сероцветные песчаники (возраст - S). |
| 87 | Сероцветные песчаники (возраст - S). |
| 88 | Сероцветные песчаники (возраст - S). Азимут падения слоя 230 ⁰ , Угол падения слоя 28 ⁰ . |
| 89 | Сероцветные песчаники (возраст - S). Азимут падения слоя 270 ⁰ , Угол падения слоя 28 ⁰ . |
| 90 | Сероцветные песчаники (возраст - S). Азимут падения слоя 210 ⁰ , Угол падения слоя 28 ⁰ . |
| 91 | Сероцветные песчаники (возраст - S). |

2-variant (2)
Mashtab 1:10000



3-вариант

| Точки наблюдений | Геологические данные точек наблюдений |
|------------------|---|
| 1 | Доломиты серого цвета (возраст - J). Азимут падения слоя 15° , Угол падения слоя 35° . |
| 2 | Доломиты серого цвета (возраст - J). Азимут падения слоя 180° , Угол падения слоя 35° . |
| 3 | Доломиты серого цвета (возраст - J). Здесь проходит ось антиклинали. Азимут простирания 90° . |
| 4 | Доломиты серого цвета (возраст - J). Азимут падения слоя 15° , угол падения слоя 35° . |
| 5 | Темно серые известняки с прослоями глин (возраст - K). Азимут падения слоя 20° , угол падения слоя 33° . |
| 6 | Темно серые известняки с прослоями глин (возраст - K). Азимут падения слоя 20° , угол падения слоя 31° . |
| 7 | Темно серые известняки с прослоями глин (возраст - K). Азимут падения слоя 25° , угол падения слоя 33° . |
| 8 | Темно серые известняки с прослоями глин (возраст - K). Азимут падения слоя 30° , угол падения слоя 32° . |
| 9 | Темно серые известняки с прослоями глин (возраст - K). Азимут падения слоя 15° , угол падения слоя 35° . |
| 10 | Темно серые известняки с прослоями глин (возраст - K). Здесь проходит ось антиклинали. Азимут простирания 80° . |
| 11 | Темно серые известняки с прослоями глин (возраст -). Азимут падения слоя 165° , угол падения слоя 33° . |
| 12 | Темно серые известняки с прослоями глин (возраст - K). Азимут падения слоя 150° , угол падения слоя 32° . |
| 13 | Темно серые известняки с прослоями глин (возраст - K). Азимут падения слоя 155° , угол падения слоя 31° . |
| 14 | Алевриты и глины серого, светло-серого цвета (возраст - палеоген). Азимут падения слоя 150° , угол падения слоя 31° . |
| 15 | Алевриты и глины серого, светло-серого цвета (возраст - палеоген). Азимут падения слоя 147° , угол падения слоя 31° . |
| 16 | Алевриты и глины серого, светло-серого цвета (возраст - палеоген). Азимут падения слоя 145° , угол падения слоя 33° . |
| 17 | Алевриты и глины серого, светло-серого цвета (возраст - |

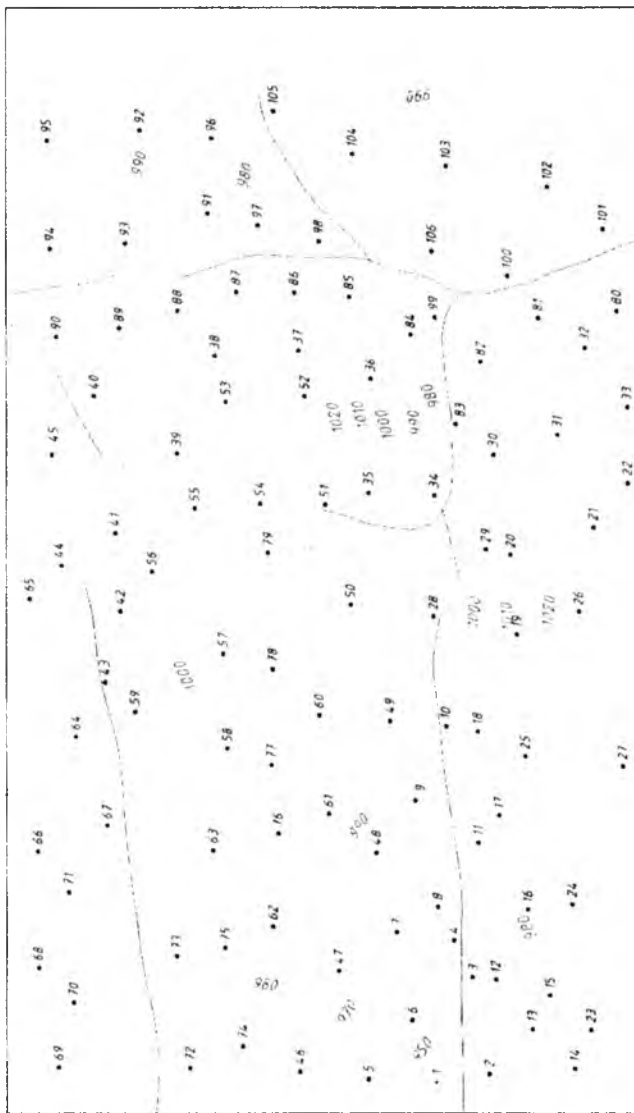
| | |
|----|---|
| | палеоген). Азимут падения слоя 153° , угол падения слоя 33° . |
| 18 | Алевролиты и глины серого, светло-серого цвета (возраст - палеоген). Азимут падения слоя 180° , угол падения слоя 33° . |
| 19 | Алевролиты и глины серого, светло-серого цвета (возраст - палеоген). Азимут падения слоя 200° , угол падения слоя 35° . |
| 20 | Алевролиты и глины серого, светло-серого цвета (возраст - палеоген). Азимут падения слоя 200° , угол падения слоя 33° . |
| 21 | Алевролиты и глины серого, светло-серого цвета (возраст - палеоген). Азимут падения слоя 250° , угол падения слоя 34° . |
| 22 | Алевролиты и глины серого, светло-серого цвета (возраст - палеоген). Азимут падения слоя 260° , угол падения слоя 35° . |
| 23 | Песчаники красно-коричневого цвета, неотсортированные (возраст - N). Азимут падения слоя 160° , угол падения слоя 28° . |
| 24 | Песчаники красно-коричневого цвета, неотсортированные (возраст - N). Азимут падения слоя 175° , угол падения слоя 28° . |
| 25 | Песчаники красно-коричневого цвета, неотсортированные (возраст - N). Азимут падения слоя 180° , угол падения слоя 29° . |
| 26 | Песчаники красно-коричневого цвета, неотсортированные (возраст - N). Азимут падения слоя 210° , угол падения слоя 27° . |
| 27 | Песчаники красно-коричневого цвета, неотсортированные (возраст - N). Азимут падения слоя 180° , угол падения слоя 27° . |
| 28 | Темно серые известняки с прослоями глин (возраст - K). |
| 29 | Темно серые известняки с прослоями глин (возраст - K). Азимут падения слоя 200° , Угол падения слоя 33° |
| 30 | Темно серые известняки с прослоями глин (возраст - K). Азимут падения слоя 230° , угол падения слоя 31° |
| 31 | Темно серые известняки с прослоями глин (возраст - K). Азимут падения слоя 255° , угол падения слоя 32° |
| 32 | Темно серые известняки с прослоями глин (возраст - K). Азимут падения слоя 260° , Угол падения слоя 32° |
| 33 | Темно серые известняки с прослоями глин (возраст - K). Азимут падения слоя 260° , Угол падения слоя 31° |
| 34 | Темно серые известняки с прослоями глин (возраст - K). |
| 35 | Темно серые известняки с прослоями глин (возраст - K). Азимут падения слоя 330° , Угол падения слоя 33° |
| 36 | Темно серые известняки с прослоями глин (возраст - K). Азимут падения слоя 300° , Угол падения слоя 35° |
| 37 | Темно серые известняки с прослоями глин (возраст - K). Азимут падения слоя 270° , Угол падения слоя 35° |

| | |
|----|---|
| 38 | Темно серые известняки с прослоями глин (возраст - К). Азимут падения слоя 270° , Угол падения слоя 34° |
| 39 | Темно серые известняки с прослоями глин (возраст - К). Азимут падения слоя 245° , Угол падения слоя 32° |
| 40 | Доломиты серого цвета (возраст - J). Азимут падения слоя 235° , Угол падения слоя 33° . |
| 41 | Темно серые известняки с прослоями глин (возраст - К). Азимут падения слоя 240° , Угол падения слоя 35° . 100м севернее от точки проходит разлом. Его азимут простирания 70° . |
| 42 | Темно серые известняки с прослоями глин (возраст - К). Азимут падения слоя 220° , Угол падения слоя 33° . 50м севернее от точки проходит разлом. Его азимут простирания 75° . |
| 43 | Темно серые известняки с прослоями глин (возраст - К). 40м южнее от точки проходит разлом. Его азимут простирания 75° . |
| 44 | Темно серые известняки с прослоями глин (возраст - К). Азимут падения слоя 330° , Угол падения слоя 34° . |
| 45 | Темно серые известняки с прослоями глин (возраст - К). Здесь проходит разлом |
| 46 | Алевролиты и глины серого, светло-серого цвета (возраст - палеоген). Азимут падения слоя 55° , Угол падения слоя 35° . |
| 47 | Алевролиты и глины серого, светло-серого цвета (возраст - палеоген). Азимут падения слоя 25° , Угол падения слоя 35° . |
| 48 | Алевролиты и глины серого, светло-серого цвета (возраст - палеоген). Азимут падения слоя 30° , Угол падения слоя 31° . |
| 49 | Алевролиты и глины серого, светло-серого цвета (возраст - палеоген). Азимут падения слоя 10° , Угол падения слоя 32° . |
| 50 | Алевролиты и глины серого, светло-серого цвета (возраст - палеоген). Азимут падения слоя 350° , Угол падения слоя 32° . |
| 51 | Алевролиты и глины серого, светло-серого цвета (возраст - палеоген). Азимут падения слоя 330° , Угол падения слоя 33° . |
| 52 | Здесь проходит контакт разновозрастных слоев. На западе Алевролиты и глины серого, светло-серого цвета (возраст-палеоген), на востоке встречаются Темно серые известняки с прослоями глин (возраст - К). Азимут падения слоя 270° , Угол падения слоя 35° . |
| 53 | Здесь проходит контакт разновозрастных слоев. На западе Алевролиты и глины серого, светло-серого цвета (возраст-палеоген), на востоке встречаются Темно серые известняки с |

| | |
|----|---|
| | палеоген). Азимут падения слоя 150° , Угол падения слоя 34° . 40м севернее от точки проходит разлом.. Его азимут простирания 75° ... |
| 73 | Алевролиты и глины серого, светло-серого цвета (возраст - палеоген). Азимут падения слоя 150° , Угол падения слоя 35° . 60м севернее от точки проходит разлом. Его азимут простирания 75° .. |
| 74 | Алевролиты и глины серого, светло-серого цвета (возраст - палеоген). Азимут падения слоя 130° , Угол падения слоя 35° . |
| 75 | Алевролиты и глины серого, светло-серого цвета (возраст - палеоген). Азимут падения слоя 120° , Угол падения слоя 35° . |
| 76 | Песчаники красно-коричневого цвета, неотсортированные (возраст - N) |
| 77 | Песчаники красно-коричневого цвета, неотсортированные (возраст - N) |
| 78 | Песчаники красно-коричневого цвета, неотсортированные (возраст - N) |
| 79 | Песчаники красно-коричневого цвета, неотсортированные (возраст - N) |
| 80 | Доломиты серого цвета (возраст - J). Азимут падения слоя 260° , Угол падения слоя 34° . |
| 81 | Доломиты серого цвета (возраст - J). Азимут падения слоя 255° , Угол падения слоя 29° . |
| 82 | Доломиты серого цвета (возраст - J). Азимут падения слоя 230° , Угол падения слоя 35° . |
| 83 | Доломиты серого цвета (возраст - J). Азимут падения слоя 270° , Угол падения слоя 33° . |
| 84 | Доломиты серого цвета (возраст - J). Азимут падения слоя 285° , Угол падения слоя 32° . |
| 85 | Доломиты серого цвета (возраст - J). Азимут падения слоя 280° , Угол падения слоя 33° . |
| 86 | Доломиты серого цвета (возраст - J). Азимут падения слоя 270° , Угол падения слоя 35° . |
| 87 | Доломиты серого цвета (возраст - J). Азимут падения слоя 265° , Угол падения слоя 35° . |
| 88 | Доломиты серого цвета (возраст - J). Азимут падения слоя 265° , Угол падения слоя 35° . |
| 89 | Доломиты серого цвета (возраст - J). Азимут падения слоя 265° , Угол падения слоя 34° . |
| 90 | Доломиты серого цвета (возраст - J). Азимут падения слоя 260° , |

| | |
|-----|---|
| | Угол падения слоя 29° . |
| 91 | Доломиты серого цвета (возраст - J). Азимут падения слоя 300° , Угол падения слоя 33° . |
| 92 | Доломиты серого цвета (возраст - J). Азимут падения слоя 85° , Угол падения слоя 31° . |
| 93 | Доломиты серого цвета (возраст - J). Азимут падения слоя 275° , Угол падения слоя 31° . |
| 94 | Доломиты серого цвета (возраст - J). Азимут падения слоя 260° , Угол падения слоя 27° . |
| 95 | Доломиты серого цвета (возраст - J). Азимут падения слоя 95° , Угол падения слоя 25° . |
| 96 | Глины черного цвета (возраст -Т). Азимут падения слоя 300° , Угол падения слоя 33° . |
| 97 | Глины черного цвета (возраст -Т). Азимут падения слоя 285° , Угол падения слоя 29° . |
| 98 | Глины черного цвета (возраст -Т). Азимут падения слоя 280° , Угол падения слоя 31° . |
| 99 | Глины черного цвета (возраст -Т). Азимут падения слоя 270° , Угол падения слоя 32° . |
| 100 | Глины черного цвета (возраст -Т). Азимут падения слоя 255° , Угол падения слоя 32° . |
| 101 | Глины черного цвета (возраст -Т). Азимут падения слоя 260° , Угол падения слоя 31° . |
| 102 | Глины черного цвета (возраст -Т). Азимут падения слоя 265° , Угол падения слоя 33° . |
| 103 | Глины черного цвета (возраст -Т). Азимут падения слоя 105° , Угол падения слоя 35° . |
| 104 | Глины черного цвета (возраст -Т). Азимут падения слоя 105° , Угол падения слоя 35° . |
| 105 | Глины черного цвета (возраст -Т). Азимут падения слоя 110° , Угол падения слоя 33° . |
| 106 | Глины черного цвета (возраст -Т). Азимут падения слоя 280° , Угол падения слоя 35° . |

3-variant (3)
 Masштаб 1:10000



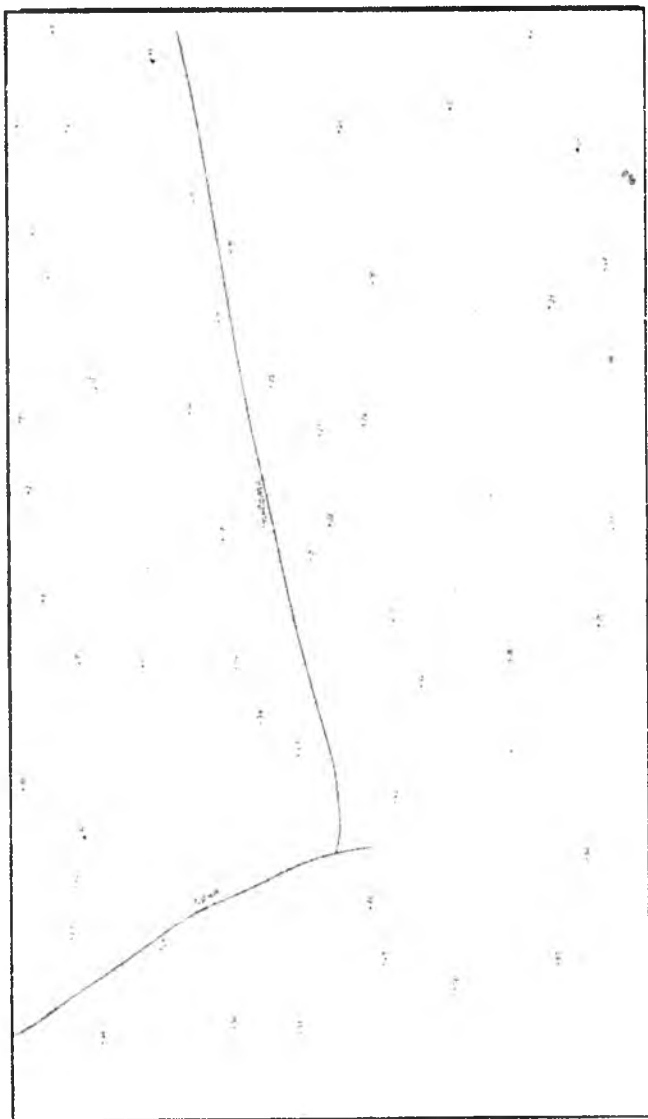
4-вариант .

| Точки наблюдений | Геологические данные точек наблюдений |
|------------------|--|
| 1 | Глины (возраст - N). Слои залегают горизонтально. |
| 2 | Глины (возраст - N). Слои залегают горизонтально. |
| 3 | Глины (возраст - N). Слои залегают горизонтально. |
| 4 | Алевролиты (возраст - Олигоцен). Слои залегают горизонтально. |
| 5 | Алевролиты (возраст - Олигоцен). Слои залегают горизонтально. |
| 6 | Глины (возраст - N). Слои залегают горизонтально. |
| 7 | Алевролиты (возраст - Олигоцен). Слои залегают горизонтально. |
| 8 | Алевролиты (возраст - Олигоцен). Слои залегают горизонтально. |
| 9 | Песчаники (возраст - Эоцен). Слои залегают горизонтально. |
| 10 | Тектоническое нарушение. Надвиг. На востоке распространены Песчаники (возраст - Эоцен), на западе Доломиты (возраст верхняя юра). |
| 11 | Тектоническое нарушение. Надвиг. На северо-востоке распространены Песчаники (возраст - Эоцен), на юго-западе Глины (возраст нижний мел). |
| 12 | Песчаники (возраст - Эоцен). Слои залегают горизонтально. |
| 13 | Алевролиты (возраст - Олигоцен). Слои залегают горизонтально. |
| 14 | Тектоническое нарушение. Надвиг. На севере распространены Песчаники (возраст- Эоцен), на юге - Глины (возраст нижний мел). |
| 15 | Доломиты (возраст верхняя юра) . Азимут падения слоя 255° . Угол падения слоя 25° . |
| 16 | Песчаники (возраст - Эоцен). Слои залегают горизонтально. |
| 17 | Алевролиты (возраст - Олигоцен). Слои залегают горизонтально. |
| 18 | Тектоническое нарушение. Надвиг. На востоке распространены Песчаники (возраст - Эоцен), на западе - Доломиты (возраст верхняя юра). |

| | |
|----|--|
| 19 | Песчаники (возраст - Эоцен). Слои залегают горизонтально. |
| 20 | Алевролиты (возраст - Олигоцен). Слои залегают горизонтально. |
| 21 | Песчаники (возраст - Эоцен). Слои залегают горизонтально. |
| 22 | Алевролиты (возраст - Олигоцен). Слои залегают горизонтально. |
| 23 | Песчаники (возраст - Эоцен). Слои залегают горизонтально. |
| 24 | Тектоническое нарушение. Надвиг. На севере распространены Песчаники (возраст верхний мел), на юге - горизонтально залегающие Песчаники (возраст - Эоцен). |
| 25 | Тектоническое нарушение. Надвиг. На северо-западе распространены Доломиты (возраст верхняя юра) юго-востоке - Песчаники (возраст - Эоцен). |
| 26 | Глины (возраст нижний мел). Азимут падения слоя 250° , Угол падения слоя 27° . |
| 27 | Песчаники (возраст верхний мел) . Правое крыло синклинали. |
| 28 | Песчаники (возраст верхний мел) . Левое крыло синклинали. |
| 29 | Песчаники (возраст верхний мел) . Ось синклинали |
| 30 | Глины (возраст нижний мел). Азимут падения слоя 80° , Угол падения слоя 27° . |
| 31 | Доломиты (возраст верхняя юра) . Азимут падения слоя 83° , Угол падения слоя 25° . |
| 32 | Песчаники (возраст - нижняя юра) . Азимут падения слоя 85° , Угол падения слоя 27° . |
| 33 | Песчаники (возраст - нижняя юра) . Азимут падения слоя 85° , Угол падения слоя 27° . |
| 34 | Песчаники (возраст - нижняя юра) . Азимут падения слоя 85° , Угол падения слоя 25° . |
| 35 | Песчаники (возраст - нижняя юра) . Азимут падения слоя 88° , Угол падения слоя 28° . |
| 36 | Тектоническое нарушение. Надвиг. На востоке распространены Песчаники (возраст - Эоцен), на западе - Песчаники (возраст - нижняя юра). |
| 37 | Тектоническое нарушение. Надвиг. На северо-востоке распространены горизонтально залегающие Песчаники (возраст-Эоцен), на юго-западе - Доломиты (возраст- верхняя юра). |
| 38 | Песчаники (возраст верхний мел). Синклиналь. |

| | |
|----|--|
| 39 | Песчаники (возраст верхний мел). Синклиналь. |
| 40 | Тектоническое нарушение. Надвиг. На северо-западе распространены горизонтально залегающие Песчаники (возраст - Эоцен), на юго-востоке - Песчаники (возраст - верхний мел). |
| 41 | Глины (возраст нижний мел). Азимут падения слоя 255° , Угол падения слоя 30° . |
| 42 | Алевролиты (возраст - верхний триас) . Азимут падения слоя 80° , Угол падения слоя 25° . |
| 43 | Известняки (возраст - средний триас). Антиклиналь. |
| 44 | Известняки (возраст - средний триас). Антиклиналь. |
| 45 | Известняки (возраст - средний триас). Ось антиклинали. |
| 46 | Известняки (возраст - средний триас). Ось антиклинали. |
| 47 | Алевролиты (возраст - верхний триас) . Азимут падения слоя 90° , Угол падения слоя 27° . |
| 48 | Алевролиты (возраст - верхний триас) . Азимут падения слоя 250° , Угол падения слоя 28° . |
| 49 | Песчаники (возраст - нижняя юра) . Азимут падения слоя 250° , Угол падения слоя 28° . |
| 50 | Алевролиты (возраст - верхний триас) . Азимут падения слоя 250° , Угол падения слоя 27° . |
| 51 | Песчаники (возраст - нижняя юра) . Азимут падения слоя 260° , Угол падения слоя 30° . |
| 52 | Доломиты (возраст верхняя юра) . Азимут падения слоя 260° , Угол падения слоя 30° . |
| 53 | Алевролиты (возраст - верхний триас) . Ось антиклинали. |
| 54 | Песчаники (возраст - нижняя юра) . Азимут падения слоя 261° , Угол падения слоя 27° . |
| 55 | Доломиты (возраст верхняя юра) . Азимут падения слоя 260° , Угол падения слоя 30° . |

4-вариант (12)
Масштаб 1:5000



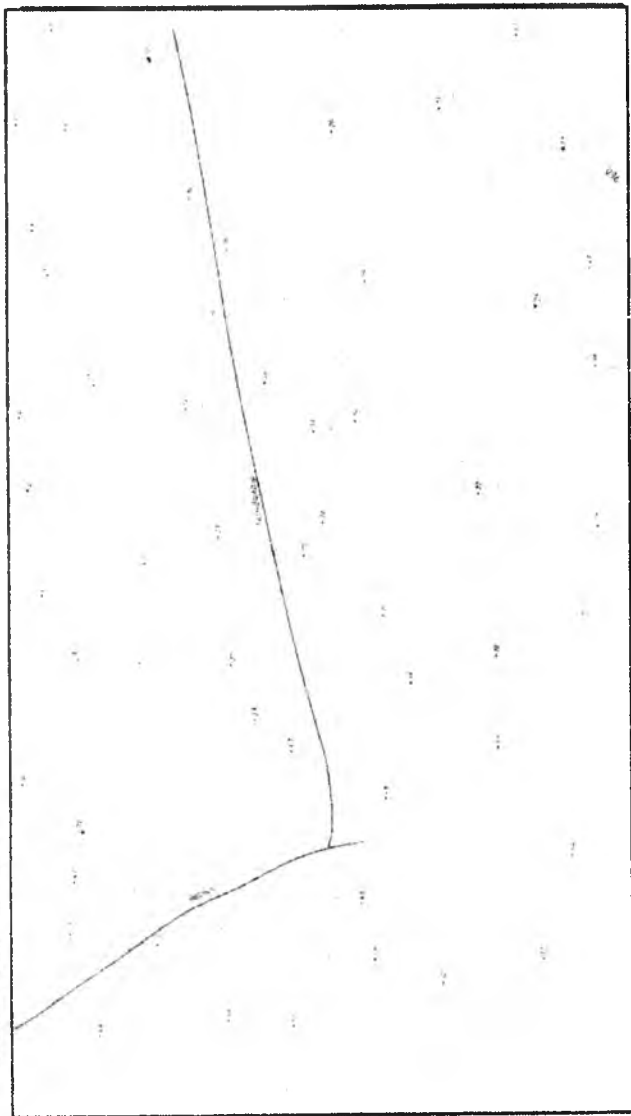
5-вариант

| Точки наблюдений | Геологические данные точек наблюдений |
|------------------|---|
| 1 | Песчаники темно-серые (возраст - палеоген). Слои залегают горизонтально. |
| 2 | Песчаники темно-серые (возраст - палеоген). Слои залегают горизонтально. |
| 3 | Песчаники темно-серые (возраст - палеоген). Слои залегают горизонтально. |
| 4 | Глины (возраст - мел). Слои залегают горизонтально. |
| 5 | Глины (возраст - мел). Слои залегают горизонтально. |
| 6 | Песчаники темно-серые (возраст - палеоген). Слои залегают горизонтально. |
| 7 | Глины (возраст - мел). Слои залегают горизонтально. |
| 8 | Глины (возраст - мел). Слои залегают горизонтально. |
| 9 | Алевролиты (возраст - юра). Слои залегают горизонтально. |
| 10 | Тектоническое нарушение. Надвиг. На востоке распространены Алевролиты (возраст - юра), на западе - Мергелы (возраст - нижний карбон). |
| 11 | Тектоническое нарушение. Надвиг. На северо-востоке распространены Алевролиты (возраст - юра), юго-западе - Доломиты (возраст - средний карбон). |
| 12 | Алевролиты (возраст - юра). Слои залегают горизонтально. |
| 13 | Глины (возраст - мел). Слои залегают горизонтально. |
| 14 | Тектоническое нарушение. Надвиг. На севере распространены Алевролиты (возраст - юра), на юге - Доломиты (возраст - средний карбон). |
| 15 | Мергелы (возраст - нижний карбон) . Азимут падения слоя 255^0 , Угол падения слоя 25^0 . |
| 16 | Алевролиты (возраст - юра). Слои залегают горизонтально. |
| 17 | Глины (возраст - мел). Слои залегают горизонтально. |
| 18 | Тектоническое нарушение. Надвиг. На востоке распространены Алевролиты (возраст - юра), на юге - Мергелы (возраст - нижний карбон). |
| 19 | Алевролиты (возраст - юра). Слои залегают горизонтально. |
| 20 | Глины (возраст - мел). Слои залегают горизонтально. |
| 21 | Алевролиты (возраст - юра). Слои залегают горизонтально. |

| | |
|----|---|
| 22 | Глины (возраст - мел). Слои залегают горизонтально. |
| 23 | Алевролиты (возраст - юра). Слои залегают горизонтально. |
| 24 | Тектоническое нарушение. Надвиг. На севере распространены Известняки (возраст - верхний карбон), на юге - Алевролиты (возраст - юра). |
| 25 | Тектоническое нарушение. Надвиг. На северо-западе распространены Мергелы (возраст - нижний карбон) на юго-востоке Алевролиты (возраст - юра). |
| 26 | Доломиты (возраст - средний карбон) . Азимут падения слоя 250° , Угол падения слоя 27° . |
| 27 | Известняки (возраст - верхний карбон). Правое крыло синклинали. |
| 28 | Известняки (возраст - верхний карбон). Левое крыло синклинали. |
| 29 | Известняки (возраст - верхний карбон). Ось синклинали. |
| 30 | Доломиты (возраст - средний карбон) . Азимут падения слоя 80° , Угол падения слоя 27° . |
| 31 | Мергелы (возраст - нижний карбон) . Азимут падения слоя 83° , Угол падения слоя 25° . |
| 32 | Органогенные известняки (возраст - верхний девон). Азимут падения слоя 85° , Угол падения слоя 27° . |
| 33 | Органогенные известняки (возраст - верхний девон). Азимут падения слоя 85° , Угол падения слоя 27° . |
| 34 | Органогенные известняки (возраст - верхний девон). Азимут падения слоя 85° , Угол падения слоя 25° . |
| 35 | Органогенные известняки (возраст - верхний девон). Азимут падения слоя 88° , Угол падения слоя 28° . |
| 36 | Тектоническое нарушение. Надвиг. На востоке распространены Алевролиты (возраст - юра), на западе - Органогенные известняки (возраст - верхний девон). |
| 37 | Тектоническое нарушение. Надвиг. На северо-востоке распространены горизонтально залегающие Алевролиты (возраст - юра), на юго-западе - Мергелы (возраст - нижний карбон). |
| 38 | Известняки (возраст - верхний карбон). Синклиналь. |
| 39 | Известняки (возраст - верхний карбон). Синклиналь. |
| 40 | Тектоническое нарушение. Надвиг. На северо-западе распространены горизонтально залегающие Алевролиты |

| | |
|----|---|
| | (возраст - юра), на юго-востоке - Известняки (возраст - верхний карбон). |
| 41 | Доломиты (возраст - средний карбон) . Азимут падения слоя 255 ⁰ , Угол падения слоя 30 ⁰ . |
| 42 | Переслаивание глин и алевролитов (возраст - средний девон). Азимут падения слоя 80 ⁰ , Угол падения слоя 25 ⁰ . |
| 43 | Песчаники темносерые (возраст - нижний девон). Антиклиналь |
| 44 | Песчаники темносерые (возраст - нижний девон). Антиклиналь. |
| 45 | Песчаники темносерые (возраст - нижний девон). Ось антиклинали.. |
| 46 | Песчаники темносерые (возраст - нижний девон). Ось антиклинали.. |
| 47 | Переслаивание глин и алевролитов (возраст - средний девон) . Азимут падения слоя 90 ⁰ , Угол падения слоя 27 ⁰ . |
| 48 | Переслаивание глин и алевролитов (возраст - средний девон) . Азимут падения слоя 250 ⁰ , Угол падения слоя 28 ⁰ . |
| 49 | Органогенные известняки (возраст - верхний девон). Азимут падения слоя 250 ⁰ , Угол падения слоя 28 ⁰ . |
| 50 | Переслаивание глин и алевролитов (возраст - средний девон) . Азимут падения слоя 250 ⁰ , Угол падения слоя 27 ⁰ . |
| 51 | Органогенные известняки (возраст - верхний девон). Азимут падения слоя 260 ⁰ , Угол падения слоя 30 ⁰ . |
| 52 | Мергелы (возраст - нижний карбон) . Азимут падения слоя 260 ⁰ , Угол падения слоя 30 ⁰ . |
| 53 | Переслаивание глин и алевролитов (возраст - средний девон) . Ось антиклинали. |
| 54 | Органогенные известняки (возраст - верхний девон). Азимут падения слоя 261 ⁰ , Угол падения слоя 27 ⁰ . |
| 55 | Мергелы (возраст - нижний карбон) . Азимут падения слоя 260 ⁰ , Угол падения слоя 30 ⁰ . |

5-вариант (12)
Масштаб 1:5000



6-вариант

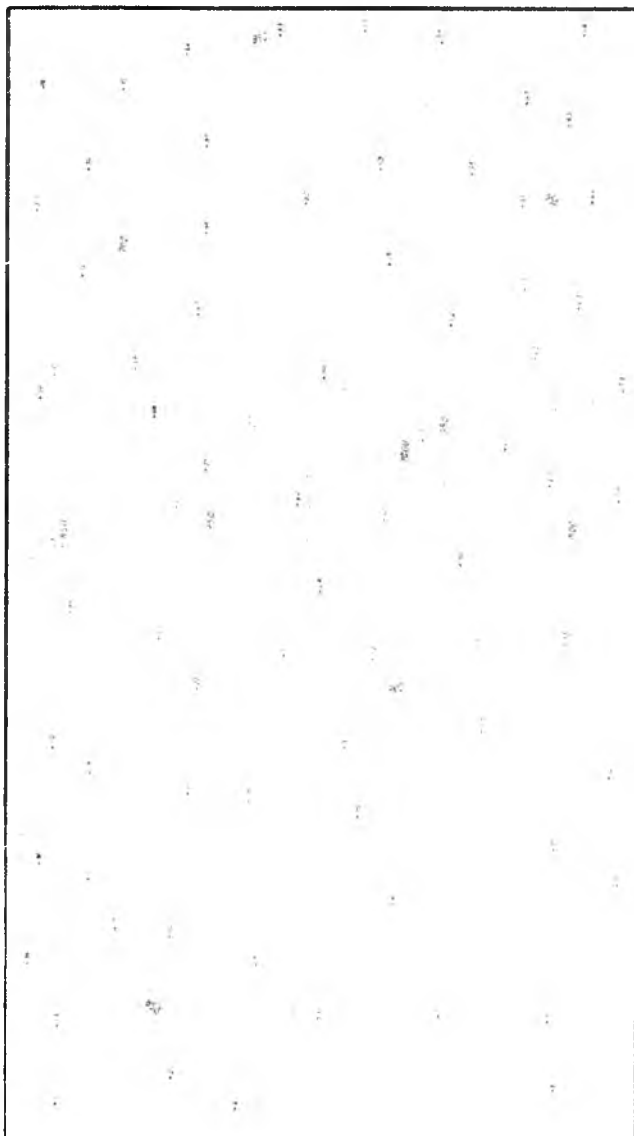
| Точки наблюдений | Геологические данные точек наблюдений |
|------------------|---|
| 1 | Алевролиты (возраст - палеоцен). Азимут падения слоя 83° , Угол падения слоя 30° . |
| 2 | Алевролиты (возраст - палеоцен) . Азимут падения слоя 80° , Угол падения слоя 31° . |
| 3 | Алевролиты (возраст - палеоцен) . Азимут падения слоя 78° , Угол падения слоя 31° . |
| 4 | Известняки (возраст - верхний мел) . Азимут падения слоя 75° , Угол падения слоя 30° . |
| 5 | Известняки (возраст - верхний мел) . Азимут падения слоя 73° , Угол падения слоя 29° . |
| 6 | Известняки (возраст - верхний мел) . Азимут падения слоя 75° , Угол падения слоя 31° . |
| 7 | Глины (возраст - нижний мел) . Азимут падения слоя 76° , Угол падения слоя 27° . |
| 8 | Конгломераты (возраст - верхняя юра). Азимут падения слоя 77° , Угол падения слоя 27° . |
| 9 | Глины (возраст - нижний мел) . Азимут падения слоя 77° , Угол падения слоя 31° . |
| 10 | Глины (возраст - нижний мел) . Азимут падения слоя 76° , Угол падения слоя 32° . |
| 11 | Известняки (возраст - верхний мел) . Азимут падения слоя 78° , Угол падения слоя 27° . |
| 12 | Известняки (возраст - верхний мел) . Азимут падения слоя 78° , Угол падения слоя 26° . |
| 13 | Песчаники (возраст - эоцен) . Ось синклинали. |
| 14 | Песчаники (возраст - эоцен) . Ось синклинали. |
| 15 | Песчаники (возраст - эоцен) . Синклиналь . |
| 16 | Алевролиты (возраст - палеоцен) . Азимут падения слоя 230° , Угол падения слоя 28° . |
| 17 | Алевролиты (возраст - палеоцен) . Азимут падения слоя 235° , Угол падения слоя 31° . |
| 18 | Известняки (возраст - верхний мел) . Азимут падения слоя 240° , Угол падения слоя 29° . |
| 19 | Известняки (возраст - верхний мел) . Азимут падения слоя |

| | |
|----|--|
| | 230 ⁰ , Угол падения слоя 31 ⁰ . |
| 20 | Глины (возраст - нижний мел) . Азимут падения слоя 215 ⁰ , Угол падения слоя 28 ⁰ . |
| 21 | Глины (возраст - нижний мел) . Азимут падения слоя 210 ⁰ , Угол падения слоя 28 ⁰ . |
| 22 | Конгломераты (возраст - верхняя юра) . Азимут падения слоя 220 ⁰ , Угол падения слоя 32 ⁰ . |
| 23 | Глины (возраст - нижний мел) . Азимут падения слоя 217 ⁰ , Угол падения слоя 32 ⁰ . |
| 24 | Глины (возраст - нижний мел) . Азимут падения слоя 230 ⁰ , Угол падения слоя 32 ⁰ . |
| 25 | Тектоническое нарушение. Надвиг. На севере распространены Глины (возраст - нижний мел), на юге - Мергели (возраст - верхний силлур) . |
| 26 | Алевролиты (возраст - палеоцен) . Азимут падения слоя 77 ⁰ , Угол падения слоя 30 ⁰ . |
| 27 | Алевролиты (возраст - палеоцен) . Азимут падения слоя 235 ⁰ , Угол падения слоя 31 ⁰ . |
| 28 | Известняки (возраст - верхний мел) . Азимут падения слоя 233 ⁰ , Угол падения слоя 31 ⁰ . |
| 29 | Песчаники (возраст - эоцен) . Синклиналь. |
| 30 | Тектоническое нарушение. Надвиг. На северо-западе распространены Алевролиты (возраст - палеоцен) . на юго-востоке - Песчаники (возраст - средний девон). |
| 31 | Песчаники (возраст - эоцен) . Синклиналь. |
| 32 | Тектоническое нарушение. Надвиг. На западе распространены Песчаники (возраст - эоцен), на востоке - Песчаники (возраст - средний девон). |
| 33 | Алевролиты (возраст - палеоцен) . Азимут падения слоя 75 ⁰ , Угол падения слоя 30 ⁰ . |
| 34 | Песчаники (возраст - эоцен) . Синклиналь. |
| 35 | Алевролиты (возраст - палеоцен) . Азимут падения слоя 77 ⁰ , Угол падения слоя 28 ⁰ . |
| 36 | Тектоническое нарушение. Надвиг. На юго-западе распространены Песчаники (возраст - эоцен), на северо-востоке - Глины (возраст - нижний девон). Азимут падения слоя 85 ⁰ , Угол падения слоя 35 ⁰ . |
| 37 | Песчаники (возраст - эоцен) . Синклиналь . |

| | |
|----|--|
| 38 | Алевролиты (возраст - палеоцен) . Азимут падения слоя 60° , Угол падения слоя 30° . |
| 39 | Алевролиты (возраст - палеоцен) . Азимут падения слоя 285° , Угол падения слоя 31° . |
| 40 | Алевролиты (возраст - палеоцен) . Азимут падения слоя 265° , Угол падения слоя 30° . |
| 41 | Тектоническое нарушение. Надвиг. На севере распространены Мергели (возраст - верхний силлур), на юге - Алевролиты (возраст - палеоцен) |
| 42 | Тектоническое нарушение. Надвиг. На севере распространены - Известняки (возраст - нижний силлур), на юге - Известняки (возраст - верхний мел). |
| 43 | Известняки (возраст - верхний мел) . Азимут падения слоя 275° , Угол падения слоя 31° . |
| 44 | Глины (возраст - нижний мел) . Азимут падения слоя 275° , Угол падения слоя 32° . |
| 45 | Конгломераты (возраст - верхняя юра) . Азимут падения слоя 277° , Угол падения слоя 30° . |
| 46 | Конгломераты (возраст - верхняя юра) . Азимут падения слоя 281° , Угол падения слоя 32° . |
| 47 | Тектоническое нарушение. Надвиг. На севере распространены Известняки (возраст - нижний силлур) , на юге - Конгломераты (возраст - верхняя юра) . |
| 48 | Глины (возраст - нижний девон). Азимут падения слоя 90° , Угол падения слоя 32° . |
| 49 | Мергели (возраст - верхний силлур) . Азимут падения слоя 92° , Угол падения слоя 32° . |
| 50 | Мергели (возраст - верхний силлур) . Азимут падения слоя 90° , Угол падения слоя 30° . |
| 51 | Известняки (возраст - нижний силлур) . Азимут падения слоя 80° , Угол падения слоя 31° . |
| 52 | Доломиты (возраст - ордовик) . Ось антиклинали. |
| 53 | Доломиты (возраст - ордовик) . Антиклиналь |
| 54 | Доломиты (возраст - ордовик) . Антиклиналь |
| 55 | Известняки (возраст - нижний силлур) . Азимут падения слоя 80° , Угол падения слоя 30° . |
| 56 | Мергели (возраст - верхний силлур) . Азимут падения слоя 78° , Угол падения слоя 32° . |
| 57 | Мергели (возраст - верхний силлур) . Азимут падения слоя |

| | |
|----|---|
| | 65 ⁰ , Угол падения слоя 32 ⁰ . |
| 58 | Мергели (возраст - верхний силлур) . Азимут падения слоя 75 ⁰ , Угол падения слоя 32 ⁰ . |
| 59 | Известняки (возраст - нижний силлур) . Азимут падения слоя 80 ⁰ , Угол падения слоя 30 ⁰ . |
| 60 | Доломиты (возраст - ордовик) . Ось антиклинали. |
| 61 | Известняки (возраст - нижний силлур) . Азимут падения слоя 80 ⁰ , Угол падения слоя 30 ⁰ . |
| 62 | Мергели (возраст - верхний силлур) . Азимут падения слоя 80 ⁰ , Угол падения слоя 32 ⁰ . |
| 63 | Глины (возраст - нижний девон). Азимут падения слоя 80 ⁰ , Угол падения слоя 32 ⁰ . |
| 64 | Мергели (возраст - верхний силлур) . Азимут падения слоя 85 ⁰ , Угол падения слоя 31 ⁰ . |
| 65 | Мергели (возраст - верхний силлур) . Азимут падения слоя 85 ⁰ , Угол падения слоя 31 ⁰ . |
| 66 | Известняки (возраст - нижний силлур) . Азимут падения слоя 100 ⁰ , Угол падения слоя 30 ⁰ . |
| 67 | Доломиты (возраст - ордовик) . Антиклиналь |
| 68 | Тектоническое нарушение. Надвиг. На западе распространены - Конгломераты (возраст - верхняя юра), на востоке - Известняки (возраст - нижний силлур) |
| 69 | Доломиты (возраст - ордовик) . |
| 70 | Тектоническое нарушение. Надвиг. На западе распространены Конгломераты (возраст - верхняя юра), на востоке - Известняки (возраст - нижний силлур) |
| 71 | Доломиты (возраст - ордовик) . Ось антиклинали. |
| 72 | Доломиты (возраст - ордовик) . Ось антиклинали. |
| 73 | Доломиты (возраст - ордовик) . Ось антиклинали. |
| 74 | Известняки (возраст - нижний силлур) . Азимут падения слоя 90 ⁰ , Угол падения слоя 33 ⁰ . |
| 75 | Мергели (возраст - верхний силлур) . Азимут падения слоя 95 ⁰ , Угол падения слоя 30 ⁰ . |
| 76 | Мергели (возраст - верхний силлур) . Азимут падения слоя 100 ⁰ , Угол падения слоя 30 ⁰ . |

6-вариант (5)
Масштаб 1:25000



7-вариант.

| Точки наблюдений | Геологические данные точек наблюдений |
|------------------|--|
| 1 | Глины с прослоями песчаников (возраст - палеоген). Азимут падения слоя 83° , угол падения слоя 30° |
| 2 | Глины с прослоями песчаников (возраст - палеоген). Азимут падения слоя 80° , угол падения слоя 31° |
| 3 | Глины с прослоями песчаников (возраст - палеоген). Азимут падения слоя 78° , угол падения слоя 31° |
| 4 | Песчаники (возраст - мел) . Азимут падения слоя 75° , угол падения слоя 30° . |
| 5 | Песчаники (возраст - мел) . Азимут падения слоя 73° , угол падения слоя 29° . |
| 6 | Песчаники (возраст - мел) . Азимут падения слоя 75° , угол падения слоя 31° . |
| 7 | Известняки (возраст - юра) . Азимут падения слоя 76° , угол падения слоя 27° . |
| 8 | Доломиты (возраст - триас) . Азимут падения слоя 77° , угол падения слоя 27° . |
| 9 | Известняки (возраст - юра) . Азимут падения слоя 77° , угол падения слоя 31° . |
| 10 | Известняки (возраст - юра) . Азимут падения слоя 76° , угол падения слоя 32° . |
| 11 | Песчаники (возраст - мел) . Азимут падения слоя 78° , угол падения слоя 27° . |
| 12 | Песчаники (возраст - мел) . Азимут падения слоя 78° , угол падения слоя 26° . |
| 13 | Конгломераты красно-коричневого цвета (возраст - неоген) . Ось синклинали |
| 14 | Конгломераты красно-коричневого цвета (возраст - неоген) . Ось синклинали |
| 15 | Конгломераты красно-коричневого цвета (возраст - неоген) . Синклиналь . |
| 16 | Глины с прослоями песчаников (возраст-палеоген).Азимут падения слоя 230° , угол падения слоя 28° |
| 17 | Глины с прослоями песчаников (возраст-палеоген).Азимут |

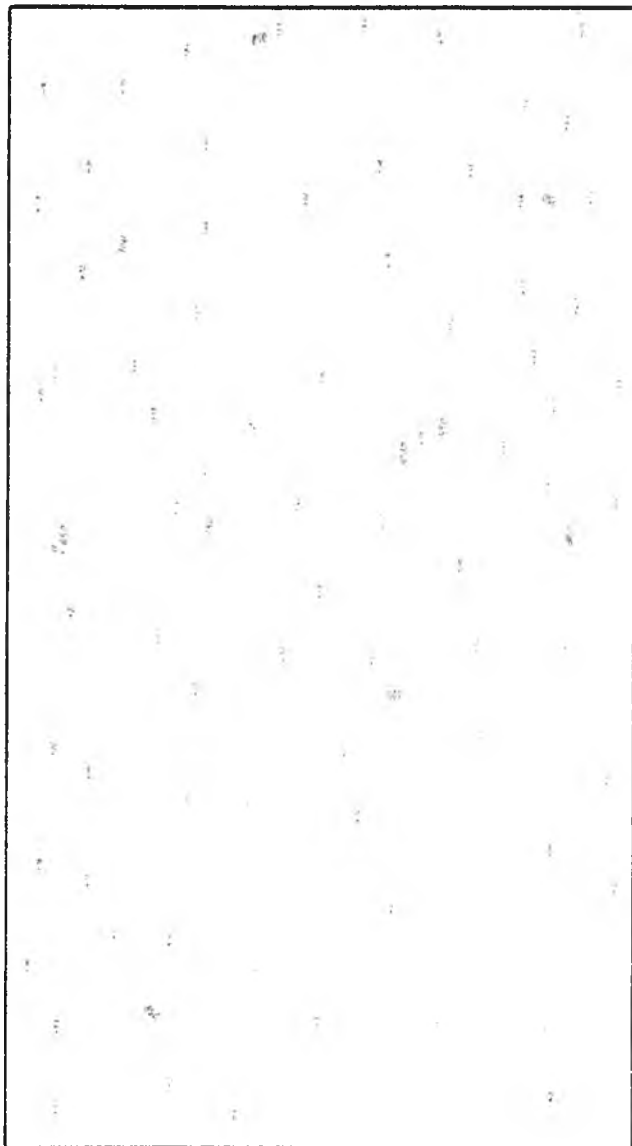
| | |
|----|---|
| | падения слоя 235° , угол падения слоя 31° |
| 18 | Песчаники (возраст - мел) . Азимут падения слоя 240° , угол падения слоя 29° . |
| 19 | Песчаники (возраст - мел) . Азимут падения слоя 230° , угол падения слоя 31° . |
| 20 | Известняки (возраст - юра) . Азимут падения слоя 215° , угол падения слоя 28° . |
| 21 | Известняки (возраст - юра) . Азимут падения слоя 210° , угол падения слоя 28° . |
| 22 | Доломиты (возраст - триас) . Азимут падения слоя 220° , угол падения слоя 32° . |
| 23 | Известняки (возраст - юра) . Азимут падения слоя 217° , угол падения слоя 32° . |
| 24 | Известняки (возраст - юра) . Азимут падения слоя 230° , угол падения слоя 32° . |
| 25 | Тектоническое нарушение. Надвиг. Севернее от точки наблюдения распространены Известняки (возраст - юра), на юге – Органогенные известняки (возраст - нижний карбон) . |
| 26 | Глины с прослоями песчаников (возраст - палеоген). Азимут падения слоя 77° , угол падения слоя 30° . |
| 27 | Глины с прослоями песчаников (возраст - палеоген). Азимут падения слоя 235° , угол падения слоя 31° . |
| 28 | Песчаники (возраст - мел). Азимут падения слоя 233° , угол падения слоя 31° . |
| 29 | Конгломераты красно-коричневого цвета (возраст - неоген). Синклиналь. |
| 30 | Тектоническое нарушение. Надвиг. Северо-западнее от точки наблюдения распространены Глины с прослоями песчаников (возраст - палеоген) , на юго-востоке - Доломиты (возраст - верхний карбон). |
| 31 | Конгломераты красно-коричневого цвета (возраст - неоген) . Синклиналь. |
| 32 | Тектоническое нарушение. Надвиг. Западнее от точки наблюдения распространены Конгломераты красно-коричневого цвета (возраст - неоген), на востоке - Доломиты (возраст - верхний карбон). |
| 33 | Глины с прослоями песчаников (возраст - палеоген) . Азимут падения слоя 75° , угол падения слоя 30° . |
| 34 | Конгломераты красно-коричневого цвета (возраст - неоген) . |

| | |
|----|--|
| | Синклиналь . |
| 35 | Глины с прослоями песчаников (возраст - палеоген) . Азимут падения слоя 77° , угол падения слоя 28° . |
| 36 | Тектоническое нарушение. Надвиг. Юго-западнее от точки наблюдения распространены Конгломераты красно-коричневого цвета (возраст - неоген), на северо-востоке - Глины (возраст - средний карбон). Азимут падения слоя 85° , угол падения слоя 35° . |
| 37 | Конгломераты красно-коричневого цвета (возраст - неоген) . Синклиналь . |
| 38 | Глины с прослоями песчаников (возраст - палеоген) . Азимут падения слоя 60° , угол падения слоя 30° . |
| 39 | Глины с прослоями песчаников (возраст - палеоген) . Азимут падения слоя 285° , угол падения слоя 31° . |
| 40 | Глины с прослоями песчаников (возраст - палеоген) . Азимут падения слоя 265° , угол падения слоя 30° . |
| 41 | Тектоническое нарушение. Надвиг. Севернее от точки наблюдения распространены Органогенные известняки (возраст - нижний карбон), на юге - Глины с прослоями песчаников (возраст - палеоген) |
| 42 | Тектоническое нарушение. Надвиг. Севернее от точки наблюдения распространены Алевролиты (возраст - девон), на юге - Песчаники (возраст - мел). |
| 43 | Песчаники (возраст - мел) . Азимут падения слоя 275° , угол падения слоя 31° . |
| 44 | Известняки (возраст - юра) . Азимут падения слоя 275° , угол падения слоя 32° . |
| 45 | Доломиты (возраст - триас) . Азимут падения слоя 277° , угол падения слоя 30° . |
| 46 | Доломиты (возраст - триас) . Азимут падения слоя 281° , угол падения слоя 32° . |
| 47 | Тектоническое нарушение. Надвиг. Севернее от точки наблюдения распространены Алевролиты (возраст - девон), на юге - Доломиты (возраст - триас) . |
| 48 | Глины (возраст - средний карбон). Азимут падения слоя 90° , угол падения слоя 32° . |
| 49 | Органогенные известняки (возраст - нижний карбон) . Азимут падения слоя 92° , угол падения слоя 32° . |

| | |
|----|--|
| 50 | Органогенные известняки (возраст - нижний карбон) . Азимут падения слоя 90° , угол падения слоя 30° . |
| 51 | Алевролиты (возраст - девон) . Азимут падения слоя 80° , угол падения слоя 31° . |
| 52 | Мергел (возраст - силлур) . Ось антиклинали. |
| 53 | Мергел (возраст - силлур) . Антиклиналь |
| 54 | Мергел (возраст - силлур) . Антиклиналь |
| 55 | Алевролиты (возраст - девон) . Азимут падения слоя 80° , угол падения слоя 30° . |
| 56 | Органогенные известняки (возраст - нижний карбон) . Азимут падения слоя 78° , угол падения слоя 32° . |
| 57 | Органогенные известняки (возраст - нижний карбон) . Азимут падения слоя 65° , угол падения слоя 32° . |
| 58 | Органогенные известняки (возраст - нижний карбон) . Азимут падения слоя 75° , угол падения слоя 32° . |
| 59 | Алевролиты (возраст - девон) . Азимут падения слоя 80° , угол падения слоя 30° . |
| 60 | Мергел (возраст - силлур) . Ось антиклинали. |
| 61 | Алевролиты (возраст - девон) . Азимут падения слоя 80° , угол падения слоя 30° . |
| 62 | Органогенные известняки (возраст - нижний карбон) . Азимут падения слоя 80° , угол падения слоя 32° . |
| 63 | Глины (возраст - средний карбон). Азимут падения слоя 80° , угол падения слоя 32° . |
| 64 | Органогенные известняки (возраст - нижний карбон) . Азимут падения слоя 85° , угол падения слоя 31° . |
| 65 | Органогенные известняки (возраст - нижний карбон) . Азимут падения слоя 85° , угол падения слоя 31° . |
| 66 | Алевролиты (возраст - девон) . Азимут падения слоя 100° , угол падения слоя 30° . |
| 67 | Мергел (возраст - силлур) . Антиклиналь |
| 68 | Тектоническое нарушение. Надвиг. Западнее от точки наблюдения распространены Доломиты (возраст - триас), на востоке - Алевролиты (возраст - девон) |
| 69 | Мергел (возраст - силлур) . |
| 70 | Тектоническое нарушение. Надвиг. Западнее от точки наблюдения распространены Доломиты (возраст - триас), на востоке - Алевролиты (возраст - девон) |
| 71 | Мергел (возраст - силлур) . Ось антиклинали. |

| | |
|----|--|
| 72 | Мергел (возраст - силлур) . Ось антиклинали. |
| 73 | Мергел (возраст - силлур) . Ось антиклинали. |
| 74 | Алевролиты (возраст - девон) . Азимут падения слоя 90° , угол падения слоя 33° . |
| 75 | Органогенные известняки (возраст - нижний карбон) . Азимут падения слоя 95° , угол падения слоя 30° . |
| 76 | Органогенные известняки (возраст - нижний карбон) . Азимут падения слоя 100° , угол падения слоя 30° . |

7-вариант (5)
Масштаб 1:25000



8-вариант

| Точки наблюдений | Геологические данные точек наблюдений |
|------------------|--|
| 1 | Глины (возраст - нижний перм). Азимут падения 270° , угол падения 30° . |
| 2 | Мергели (возраст - верхний карбон) . Азимут падения 277° , угол падения 30° . |
| 3 | Разлом. Восточнее от точки наблюдения распространены Песчаники (возраст - верхний девон), на западе – Конгломераты (возраст - средний карбон) . |
| 4 | Конгломераты (возраст - средний карбон) . Азимут падения 273° , угол падения 31° . |
| 5 | Глины (возраст - нижний перм). Азимут падения 285° , угол падения 30° . |
| 6 | Мергели (возраст - верхний карбон) . Азимут падения 285° , угол падения 30° . |
| 7 | Глины (возраст - нижний перм). Азимут падения 350° , угол падения 27° . |
| 8 | Конгломераты (возраст - средний карбон) . Азимут падения 285° , угол падения 30° . |
| 9 | Разлом. Азимут падения 270° , угол падения 70° . Восточнее от точки наблюдения распространены Песчаники (возраст - верхний девон), на западе - Конгломераты (возраст - средний карбон) . |
| 10 | Разлом. Азимут падения 270° , угол падения 70° . Восточнее от точки наблюдения распространены Гравелиты (возраст - нижний карбон), на западе - Конгломераты (возраст - средний карбон) . |
| 11 | Мергели (возраст - верхний карбон) . Ось синклинали |
| 12 | Мергели (возраст - верхний карбон) . Ось синклинали |
| 13 | Разлом. Азимут падения 255° , угол падения 70° . Восточнее от точки наблюдения распространены Гравелиты (возраст - нижний карбон), на западе - Конгломераты (возраст - средний карбон) . |
| 14 | Разлом. Азимут падения 290° , угол падения 70° . Восточнее от точки наблюдения распространены Гравелиты (возраст - |

| | |
|----|--|
| | нижний карбон), на западе - Конгломераты (возраст - средний карбон) . |
| 15 | Доломиты (возраст - средний девон). Азимут падения 277° , угол падения 30° . |
| 16 | Известняки оргоногенные (возраст - верхний силлур) . Азимут падения 277° , угол падения 28° . |
| 17 | Контакт. Южнее от точки наблюдения распространены Кремнистые породы (возраст - верхний ордовик), на севере – Интрузивные породы (возраст - протерозой) . |
| 18 | Глинистые сланцы (возраст - нижний силлур). Азимут падения 275° , угол падения 31° |
| 19 | Алевролиты (возраст - нижний девон) . Азимут падения 275° , угол падения 31° |
| 20 | Доломиты (возраст - средний девон). Азимут падения 270° , угол падения 30° . |
| 21 | Глинистые сланцы (возраст - нижний силлур). Азимут падения 268° , угол падения 30° |
| 22 | Известняки оргоногенные (возраст - верхний силлур). Азимут падения 270° , угол падения 30° . |
| 23 | Контакт. Юго-западнее от точки наблюдения распространены Кремнистые породы (возраст-верхний ордовик), на северо-востоке–Интрузивные породы (возраст-протерозой). |
| 24 | Доломиты (возраст - средний девон). Азимут падения 275° , угол падения 30° . |
| 25 | Известняки оргоногенные (возраст - верхний силлур). Азимут падения 275° , угол падения 30° . |
| 26 | Контакт. Западнее от точки наблюдения распространены Кремнистые породы (возраст - верхний ордовик), на востоке – Интрузивные породы (возраст - протерозой) . |
| 27 | Алевролиты (возраст - нижний девон) . Азимут падения 275° , угол падения 31° |
| 28 | Контакт. Восточнее от точки наблюдения распространены Кремнистые породы (возраст - верхний ордовик), на западе – Интрузивные породы (возраст - протерозой) . |
| 29 | Известняки оргоногенные (возраст - верхний силлур). Азимут падения 80° , угол падения 28° . |
| 30 | Известняки оргоногенные (возраст - верхний силлур). Азимут падения 80° , угол падения 28° . |
| 31 | Глинистые сланцы (возраст - нижний силлур). Азимут падения |

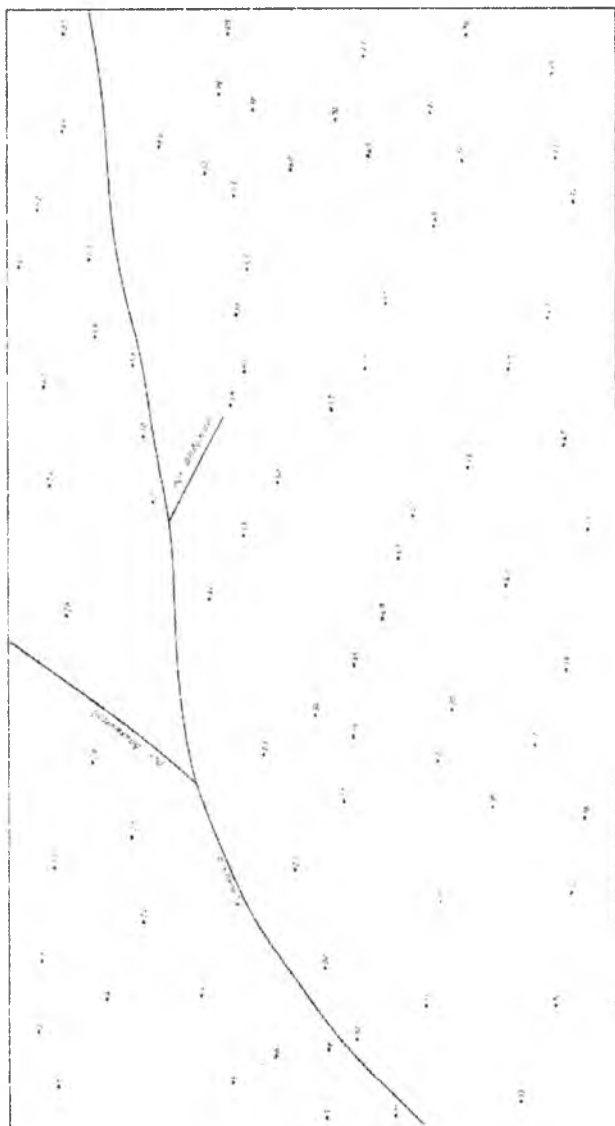
| | |
|----|---|
| | 91°, угол падения 30° |
| 32 | Контакт. Восточнее от точки наблюдения распространены Кремнистые породы (возраст - верхний ордовик), на западе – Интрузивные породы (возраст - протерозой) . |
| 33 | Глинистые сланцы (возраст - нижний силлур). Азимут падения 110°, угол падения 30° |
| 34 | Контакт. Восточнее от точки наблюдения распространены Кремнистые породы (возраст - верхний ордовик), на западе – Интрузивные породы (возраст - протерозой) . |
| 35 | Глинистые сланцы (возраст - нижний силлур). Азимут падения 110°, угол падения 28° |
| 36 | Контакт. Западнее от точки наблюдения распространены Кремнистые породы (возраст - верхний ордовик), на востоке – Интрузивные породы (возраст - протерозой) . |
| 37 | Контакт. Западнее от точки наблюдения распространены Кремнистые породы (возраст - верхний ордовик), на востоке – Интрузивные породы (возраст - протерозой) . |
| 38 | Контакт. Восточнее от точки наблюдения распространены Кремнистые породы (возраст - верхний ордовик), на западе – Интрузивные породы (возраст - протерозой) . |
| 39 | Глинистые сланцы (возраст - нижний силлур). Азимут падения 115°, угол падения 30° |
| 40 | Известняки оргоногенные (возраст - верхний силлур). Азимут падения 113°, угол падения 30°. |
| 41 | Алевриты (возраст - нижний девон) . Азимут падения 115°, угол падения 30° |
| 42 | Доломиты (возраст - средний девон). Азимут падения 115°, угол падения 30°. |
| 43 | Известняки оргоногенные (возраст - верхний силлур). Азимут падения 80°, угол падения 28°. |
| 44 | Алевриты (возраст - нижний девон) . Азимут падения 80°, угол падения 31° |
| 45 | Разлом. Азимут падения 85°, угол падения 70°. Западнее от точки наблюдения распро-странены Доломиты (возраст - средний девон), на востоке - Гравелиты (возраст - нижний карбон) |
| 46 | Разлом. Азимут падения 90°, угол падения 70°. Западнее от точки наблюдения распро-странены Песчаники (возраст - |

| | |
|----|---|
| | верхний девон), на востоке - Конгломераты (возраст - средний карбон) |
| 47 | Мергели (возраст - верхний карбон) . Синклиналь |
| 48 | Конгломераты (возраст - средний карбон) . Азимут падения 125° , угол падения 30° . |
| 49 | Гравелиты (возраст - нижний карбон) . Азимут падения 255° , угол падения 30° . |
| 50 | Конгломераты (возраст - средний карбон) . Ось синклинали |
| 51 | Гравелиты (возраст - нижний карбон) . Азимут падения 120° , угол падения 30° . |
| 52 | Разлом. Азимут падения 107° , угол падения 75° . Восточнее от точки наблюдения распространены Песчаники (возраст - верхний девон), на западе - Доломиты (возраст - средний девон). |
| 53 | Известняки оргоногенные (возраст - верхний силлур). Азимут падения 113° , угол падения 30° . |
| 54 | Известняки оргоногенные (возраст - верхний силлур). Азимут падения 105° , угол падения 30° . |
| 55 | Разлом. Азимут падения 90° , угол падения 75° . Восточнее от точки наблюдения распространены Песчаники (возраст - верхний девон), на западе - Алевролиты (возраст - нижний девон) . |
| 56 | Гравелиты (возраст - нижний карбон) . Азимут падения 90° , угол падения 32° . |
| 57 | Конгломераты (возраст - средний карбон) . Азимут падения 90° , угол падения 32° . |
| 58 | Разлом. Азимут падения 85° , угол падения 75° . Восточнее от точки наблюдения распространены Доломиты (возраст - средний девон), на западе - Алевролиты (возраст - нижний девон) . |
| 59 | Песчаники (возраст - верхний девон) . Азимут падения 85° , угол падения 30° |
| 60 | Разлом. Восточнее от точки наблюдения распространены Песчаники (возраст - верхний девон), на западе - Алевролиты (возраст - нижний девон) . |
| 61 | Конгломераты (возраст - средний карбон) . Ось синклинали |
| 62 | Гравелиты (возраст - нижний карбон) . |
| 63 | Гравелиты (возраст - нижний карбон) . Ось синклинали |
| 64 | Разлом. Восточнее от точки наблюдения распространены |

| | |
|----|--|
| | Песчаники (возраст - верхний девон), на западе - Песчаники (возраст - верхний девон) . |
| 65 | Разлом. Азимут падения 110^0 , угол падения 75^0 . Восточнее от точки наблюдения распространены Гравелиты (возраст - нижний карбон), на западе - Песчаники (возраст - верхний девон) . |
| 66 | Разлом. Восточнее от точки наблюдения распространены Конгломераты (возраст - средний карбон) , на западе - Гравелиты (возраст - нижний карбон) |
| 67 | Разлом. Восточнее от точки наблюдения распространены Конгломераты (возраст - средний карбон) , на западе - Конгломераты (возраст - средний карбон) . |
| 68 | Разлом. Азимут падения 80^0 , угол падения 75^0 . Восточнее от точки наблюдения распро-странены Конгломераты (возраст - средний карбон), на западе - Гравелиты (возраст - нижний карбон) |
| 69 | Разлом. Азимут падения 80^0 , угол падения 70^0 . Восточнее от точки наблюдения распро-странены Гравелиты (возраст - нижний карбон), на западе - Песчаники (возраст - верхний девон) . |
| 70 | Гравелиты (возраст - нижний карбон) . Азимут падения 300^0 , угол падения 30^0 . |
| 71 | Песчаники (возраст - верхний девон) . Азимут падения 270^0 , угол падения 30^0 . |
| 72 | Разлом. Азимут падения 100^0 , угол падения 75^0 . Восточнее от точки наблюдения распространены Гравелиты (возраст - нижний карбон), на западе - Песчаники (возраст - верхний девон) . |
| 73 | Гравелиты (возраст - нижний карбон) . Азимут падения 250^0 , угол падения 32^0 . |
| 74 | Разлом. Азимут падения 115^0 , угол падения 75^0 . Восточнее от точки наблюдения распространены Конгломераты (возраст - средний карбон), на западе - Гравелиты (возраст - нижний карбон) |
| 75 | Песчаники (возраст - верхний девон) . Азимут падения 250^0 , угол падения 30^0 . |
| 76 | Доломиты (возраст - средний девон). Азимут падения 270^0 , угол падения 30^0 . |

| | |
|----|---|
| 77 | Песчаники (возраст - верхний девон) . Азимут падения 300 ⁰ , угол падения 32 ⁰ . |
| 78 | Конгломераты (возраст - средний карбон) . Азимут падения 270 ⁰ , угол падения 30 ⁰ . |
| 79 | Гравелиты (возраст - нижний карбон) . Азимут падения 255 ⁰ , угол падения 32 ⁰ . |
| 80 | Песчаники (возраст - верхний девон) . Азимут падения 260 ⁰ , угол падения 29 ⁰ . |
| 81 | Доломиты (возраст - средний девон). Азимут падения 270 ⁰ , угол падения 32 ⁰ . |

8-вариант (6)
Масштаб 1:50000



9-вариант

| Точки наблю- дений | Геологические данные точек наблюдений |
|--------------------------|---|
| 1 | Известняки с прослоями ангидритов (возраст - юра) . Азимут падения 270° , угол падения 30° . |
| 2 | Светло-серые мергели (возраст - средний триас) . Азимут падения 277° , угол падения 30° . |
| 3 | Разлом. Восточнее от точки наблюдения распространены Алевролиты с прослоями глин (возраст - карбон), на западе – Доломиты (возраст - нижний триас) . |
| 4 | Доломиты (возраст - нижний триас) . Азимут падения 273° , угол падения 31° . |
| 5 | Известняки с прослоями ангидритов (возраст - юра). Азимут падения 285° , угол падения 30° . |
| 6 | Светло-серые мергели (возраст - средний триас) . Азимут падения 285° , угол падения 30° . |
| 7 | Известняки с прослоями ангидритов (возраст - юра). Азимут падения 350° , угол падения 27° . |
| 8 | Доломиты (возраст - нижний триас) . Азимут падения 285° , угол падения 30° . |
| 9 | Разлом. Азимут падения 270° , угол падения 70° . Восточнее от точки наблюдения распространены Алевролиты с прослоями глин (возраст - карбон), на западе - Доломиты (возраст - нижний триас) . |
| 10 | Разлом. Азимут падения 270° , угол падения 70° . Восточнее от точки наблюдения распространены Гравелиты (возраст - перм), на западе - Доломиты (возраст - нижний триас) |
| 11 | Светло-серые мергели (возраст - средний триас) . Ось синклинали |
| 12 | Светло-серые мергели (возраст - средний триас) . Ось синклинали |
| 13 | Разлом. Азимут падения 255° , угол падения 70° . Восточнее от точки наблюдения распространены Гравелиты (возраст - перм), на западе - Доломиты (возраст - нижний триас) . |
| 14 | Разлом. Азимут падения 290° , угол падения 70° . Восточнее от |

| | |
|----|---|
| | точки наблюдения распространены Гравелиты (возраст - перм), на западе - Доломиты (возраст - нижний триас) . |
| 15 | Доломитизированные известняки (возраст - девон) . Азимут падения 277° , угол падения 30° . |
| 16 | Органогенные известняки (возраст - средний ордовик) . Азимут падения 277° , угол падения 28° . |
| 17 | Контакт. Южнее от точки наблюдения распространены Кремнистые породы (возраст - кембрий) , на севере – Интрузивные породы (возраст - архей). |
| 18 | Глинистые сланцы (возраст - нижний ордовик) . Азимут падения 275° , угол падения 31° |
| 19 | Алевролиты (возраст - силлур) . Азимут падения 275° , угол падения 31° |
| 20 | Доломитизированные известняки (возраст - девон) . Азимут падения 270° , угол падения 30° . |
| 21 | Глинистые сланцы (возраст - нижний ордовик) . Азимут падения 268° , угол падения 30° |
| 22 | Органогенные известняки (возраст - средний ордовик) . Азимут падения 270° , угол падения 30° . |
| 23 | Контакт. Юго-западнее от точки наблюдения распространены Кремнистые породы (возраст - кембрий) , северо-восточнее – Интрузивные породы (возраст - архей). |
| 24 | Доломитизированные известняки (возраст - девон). Азимут падения 275° , угол падения 30° |
| 25 | Органогенные известняки (возраст - средний ордовик). Азимут падения 275° , угол падения 30° |
| 26 | Контакт. Западнее от точки наблюдения распространены Кремнистые породы (возраст - кембрий) , на востоке Интрузивные породы (возраст - архей). |
| 27 | Алевролиты (возраст - силлур) . Азимут падения 275° , угол падения 31° |
| 28 | Контакт. Восточнее от точки наблюдения распространены Кремнистые породы (возраст - кембрий) , на западе – Интрузивные породы (возраст - архей). |
| 29 | Органогенные известняки (возраст - средний ордовик). Азимут падения 80° , угол падения 28° |
| 30 | Органогенные известняки (возраст - средний ордовик). Азимут падения 80° , угол падения 28° |

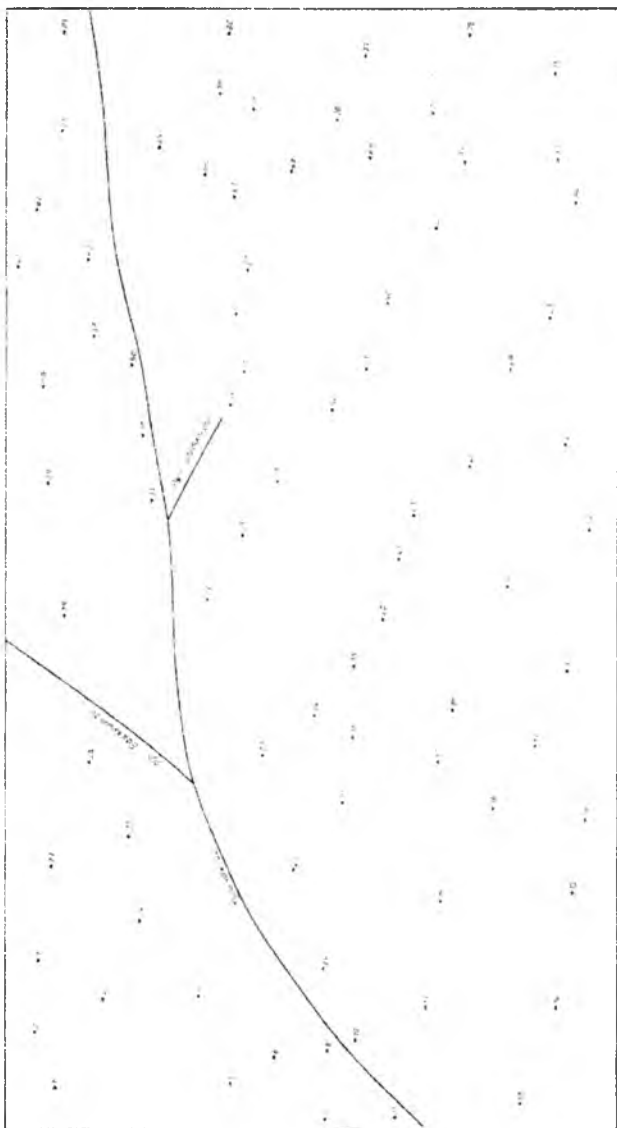
| | |
|----|---|
| 31 | Глинистые сланцы (возраст - нижний ордовик) . Азимут падения 91° , угол падения 30° |
| 32 | Контакт. Восточнее от точки наблюдения распространены Кремнистые породы (возраст - кембрий) , на западе – Интрузивные породы (возраст - архей). |
| 33 | Глинистые сланцы (возраст - нижний ордовик) . Азимут падения 110° , угол падения 30° |
| 34 | Контакт. Восточнее от точки наблюдения распространены Кремнистые породы (возраст - кембрий) , на западе – Интрузивные породы (возраст - архей). |
| 35 | Глинистые сланцы (возраст - нижний ордовик) . Азимут падения 110° , угол падения 28° |
| 36 | Контакт. Западнее от точки наблюдения распространены Кремнистые породы (возраст - кембрий) , на востоке – Интрузивные породы (возраст - архей). |
| 37 | Контакт. Западнее от точки наблюдения распространены Кремнистые породы (возраст - кембрий) , на востоке – Интрузивные породы (возраст - архей). |
| 38 | Контакт. Восточнее от точки наблюдения распространены Кремнистые породы (возраст - кембрий) , на западе – Интрузивные породы (возраст - архей). |
| 39 | Глинистые сланцы (возраст - нижний ордовик) . Азимут падения 115° , угол падения 30° |
| 40 | Органогенные известняки (возраст - средний ордовик). Азимут падения 113° , угол падения 30° . |
| 41 | Алевролиты (возраст - силлур) . Азимут падения 115° , угол падения 30° |
| 42 | Доломитизированные известняки (возраст - девон). Азимут падения 115° , угол падения 30° . |
| 43 | Органогенные известняки (возраст - средний ордовик). Азимут падения 80° , угол падения 28° . |
| 44 | Алевролиты (возраст - силлур) . Азимут падения 80° , угол падения 31° |
| 45 | Разлом. Азимут падения 85° , угол падения 70° . Западнее от точки наблюдения распространены Доломитизированные известняки (возраст - девон), на востоке – Гравели-ты (возраст - перм) |
| 46 | Разлом. Азимут падения 90° , угол падения 70° . Западнее от точки наблюдения распространены Алевролиты с прослоями |

| | |
|----|--|
| | глин (возраст - карбон), на востоке - Доломиты (возраст - нижний триас) |
| 47 | Светло-серые мергели (возраст - средний триас) . Синклиналь |
| 48 | Доломиты (возраст - нижний триас) . Азимут падения 125° , угол падения 30° . |
| 49 | Гравелиты (возраст - перм) . Азимут падения 255° , угол падения 30° . |
| 50 | Доломиты (возраст - нижний триас) . Ось синклинали |
| 51 | Гравелиты (возраст - перм) . Азимут падения 120° , угол падения 30° . |
| 52 | Разлом. Азимут падения 107° , угол падения 75° . Восточнее от точки наблюдения распространены Алевролиты с прослоями глин (возраст - карбон), на западе – Доломитизиро-ванные известняки (возраст - девон) . |
| 53 | Органогенные известняки (возраст - средний ордовик) . Азимут падения 113° , угол падения 30° . |
| 54 | Органогенные известняки (возраст - средний ордовик) . Азимут падения 105° , угол падения 30° . |
| 55 | Разлом. Азимут падения 90° , угол падения 75° . Восточнее от точки наблюдения распространены Алевролиты с прослоями глин (возраст - карбон), на западе - Алевролиты (возраст - силлур) . |
| 56 | Гравелиты (возраст - перм) . Азимут падения 90° , угол падения 32° . |
| 57 | Доломиты (возраст - нижний триас) . Азимут падения 90° , угол падения 32° . |
| 58 | Разлом. Азимут падения 85° , угол падения 75° . Восточнее от точки наблюдения распространены Доломитизированные известняки (возраст - девон), на западе – Алевролиты (возраст - силлур) . |
| 59 | Алевролиты с прослоями глин (возраст - карбон) . Азимут падения 85° , угол падения 30° |
| 60 | Разлом. Восточнее от точки наблюдения распространены Алевролиты с прослоями глин (возраст - карбон), на западе - Алевролиты (возраст - силлур) . |
| 61 | Доломиты (возраст - нижний триас) . Ось синклинали |
| 62 | Гравелиты (возраст - перм) . |
| 63 | Гравелиты (возраст - перм) . Ось синклинали |

| | |
|----|--|
| 64 | Разлом. Восточнее от точки наблюдения распространены Алевролиты с прослоями глин (возраст - карбон), на западе - Алевролиты с прослоями глин (возраст - карбон) . |
| 65 | Разлом. Азимут падения 110° , угол падения 75° . Восточнее от точки наблюдения распространены Гравелиты (возраст - перм), на западе - Алевролиты с прослоями глин (возраст - карбон) . |
| 66 | Разлом. Восточнее от точки наблюдения распространены Доломиты (возраст - нижний триас) , на западе - Гравелиты (возраст - перм) |
| 67 | Разлом. Восточнее от точки наблюдения распространены Доломиты (возраст - нижний триас) , на западе - Доломиты (возраст - нижний триас) . |
| 68 | Разлом. Азимут падения 80° , угол падения 75° . Восточнее от точки наблюдения распространены Доломиты (возраст - нижний триас), на западе - Гравелиты (возраст - перм) |
| 69 | Разлом. Азимут падения 80° , угол падения 70° . Восточнее от точки наблюдения распространены Гравелиты (возраст - перм), на западе - Алевролиты с прослоями глин (возраст - карбон) . |
| 70 | Гравелиты (возраст - перм) . Азимут падения 300° , угол падения 30° . |
| 71 | Алевролиты с прослоями глин (возраст - карбон) . Азимут падения 270° , угол падения 30° . |
| 72 | Разлом. Азимут падения 100° , угол падения 75° . Восточнее от точки наблюдения распространены Гравелиты (возраст - перм), на западе - Алевролиты с прослоями глин (возраст - карбон) . |
| 73 | Гравелиты (возраст - перм) . Азимут падения 250° , угол падения 32° . |
| 74 | Разлом. Азимут падения 115° , угол падения 75° . Восточнее от точки наблюдения распространены Доломиты (возраст - нижний триас), на западе - Гравелиты (возраст - перм) |
| 75 | Алевролиты с прослоями глин (возраст - карбон) . Азимут падения 250° , угол падения 30° . |
| 76 | Доломитизированные известняки (возраст - девон) . Азимут падения 270° , угол падения 30° . |
| 77 | Алевролиты с прослоями глин (возраст - карбон) . Азимут падения 300° , угол падения 32° . |
| 78 | Доломиты (возраст - нижний триас) . Азимут падения 270° , угол падения 30° . |
| 79 | Гравелиты (возраст - перм) . Азимут падения 255° , угол |

| | |
|----|--|
| | падения 32° . |
| 80 | Алевриты с прослоями глин (возраст - карбон) . Азимут падения 260° , угол падения 29° . |
| 81 | Доломитизированные известняки (возраст - девон) . Азимут падения 270° , угол падения 32° . |

9-вариант (6)
Масштаб 1:50000



10-вариант

| Точки наблюдений | Геологические данные точек наблюдений |
|------------------|--|
| 1 | Алевролиты (возраст - нижний перм). Азимут падения 270° , угол падения 30° . |
| 2 | Глины (возраст - верхний карбон) . Азимут падения 277° , угол падения 30° . |
| 3 | Разлом. Восточнее от точки наблюдения распространены Песчаники (возраст - верхний девон), на западе - Конгломераты (возраст - средний карбон) . |
| 4 | Конгломераты (возраст - средний карбон) . Азимут падения 273° , угол падения 31° . |
| 5 | Алевролиты (возраст - нижний перм). Азимут падения 285° , угол падения 30° . |
| 6 | Глины (возраст - верхний карбон) . Азимут падения 285° , угол падения 30° . |
| 7 | Алевролиты (возраст - нижний перм). Азимут падения 350° , угол падения 27° . |
| 8 | Конгломераты (возраст - средний карбон) . Азимут падения 285° , угол падения 30° . |
| 9 | Разлом. Азимут падения 270° , угол падения 70° . Восточнее от точки наблюдения распространены Песчаники (возраст - верхний девон), на западе - Конгломераты (возраст - средний карбон) . |
| 10 | Разлом. Азимут падения 270° , угол падения 70° . Восточнее от точки наблюдения распространены Гравелиты (возраст - нижний карбон), на западе - Конгломераты (возраст - средний карбон) . |
| 11 | Глины (возраст - верхний карбон) . Ось синклинали |
| 12 | Глины (возраст - верхний карбон) . Ось синклинали |
| 13 | Разлом. Азимут падения 255° , угол падения 70° . Восточнее от точки наблюдения распространены Гравелиты (возраст - нижний карбон), на западе - Конгломераты (возраст - средний карбон) . |
| 14 | Разлом. Азимут падения 290° , угол падения 70° . Восточнее от точки наблюдения распространены Гравелиты (возраст - |

| | |
|----|---|
| | нижний карбон), на западе - Конгломераты (возраст - средний карбон) . |
| 15 | Мергели (возраст - средний девон). Азимут падения 277 ⁰ , угол падения 30 ⁰ . |
| 16 | Известняки оргоногенные (возраст - верхний силлур) . Азимут падения 277 ⁰ , угол падения 28 ⁰ . |
| 17 | Контакт. Южнее от точки наблюдения распространены Кремнистые породы (возраст - верхний ордовик), на севере -- Интрузивные породы (возраст - протерозой) . |
| 18 | Глинистые сланцы (возраст - нижний силлур). Азимут падения 275 ⁰ , угол падения 31 ⁰ |
| 19 | Алевриты (возраст - нижний девон) . Азимут падения 275 ⁰ , угол падения 31 ⁰ |
| 20 | Мергели (возраст - средний девон). Азимут падения 270 ⁰ , угол падения 30 ⁰ . |
| 21 | Глинистые сланцы (возраст - нижний силлур). Азимут падения 268 ⁰ , угол падения 30 ⁰ |
| 22 | Известняки оргоногенные (возраст - верхний силлур). Азимут падения 270 ⁰ , угол падения 30 ⁰ . |
| 23 | Контакт. Юго-западнее от точки наблюдения распространены Кремнистые породы (возраст-верхний ордовик), на северо-востоке--Интрузивные породы (возраст-протерозой). |
| 24 | Мергели (возраст - средний девон). Азимут падения 275 ⁰ , угол падения 30 ⁰ . |
| 25 | Известняки оргоногенные (возраст - верхний силлур). Азимут падения 275 ⁰ , угол падения 30 ⁰ . |
| 26 | Контакт. Западнее от точки наблюдения распространены Кремнистые породы (возраст - верхний ордовик), на востоке -- Интрузивные породы (возраст - протерозой) . |
| 27 | Алевриты (возраст - нижний девон) . Азимут падения 275 ⁰ , угол падения 31 ⁰ |
| 28 | Контакт. Восточнее от точки наблюдения распространены Кремнистые породы (возраст - верхний ордовик), на западе -- Интрузивные породы (возраст - протерозой) . |
| 29 | Известняки оргоногенные (возраст - верхний силлур). Азимут падения 80 ⁰ , угол падения 28 ⁰ . |
| 30 | Известняки оргоногенные (возраст - верхний силлур). Азимут падения 80 ⁰ , угол падения 28 ⁰ . |
| 31 | Глинистые сланцы (возраст - нижний силлур). Азимут падения |

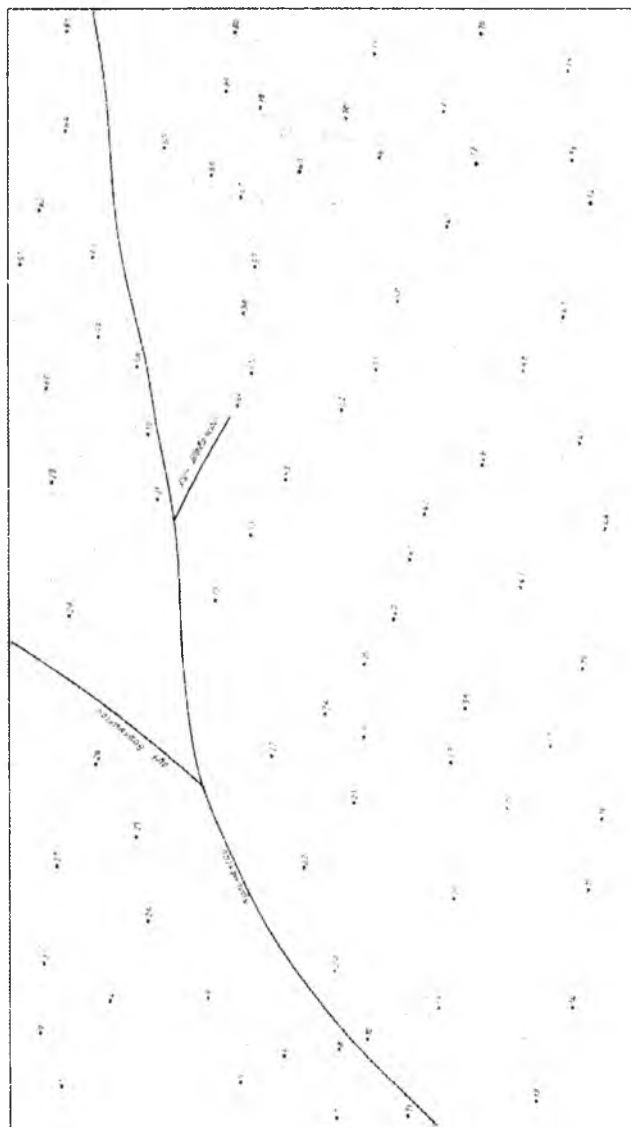
| | |
|----|--|
| | 91 ⁰ , угол падения 30 ⁰ |
| 32 | Контакт. Восточнее от точки наблюдения распространены Кремнистые породы (возраст - верхний ордовик), на западе – Интрузивные породы (возраст - протерозой) . |
| 33 | Глинистые сланцы (возраст - нижний силлур). Азимут падения 110 ⁰ , угол падения 30 ⁰ |
| 34 | Контакт. Восточнее от точки наблюдения распространены Кремнистые породы (возраст - верхний ордовик), на западе – Интрузивные породы (возраст - протерозой) . |
| 35 | Глинистые сланцы (возраст - нижний силлур). Азимут падения 110 ⁰ , угол падения 28 ⁰ |
| 36 | Контакт. Западнее от точки наблюдения распространены Кремнистые породы (возраст - верхний ордовик), на востоке – Интрузивные породы (возраст - протерозой) . |
| 37 | Контакт. Западнее от точки наблюдения распространены Кремнистые породы (возраст - верхний ордовик), на востоке – Интрузивные породы (возраст - протерозой) . |
| 38 | Контакт. Восточнее от точки наблюдения распространены Кремнистые породы (возраст - верхний ордовик), на западе – Интрузивные породы (возраст - протерозой) . |
| 39 | Глинистые сланцы (возраст - нижний силлур). Азимут падения 115 ⁰ , угол падения 30 ⁰ |
| 40 | Известняки оргоногенные (возраст - верхний силлур). Азимут падения 113 ⁰ , угол падения 30 ⁰ . |
| 41 | Алевролиты (возраст - нижний девон) . Азимут падения 115 ⁰ , угол падения 30 ⁰ |
| 42 | Мергели (возраст - средний девон). Азимут падения 115 ⁰ , угол падения 30 ⁰ . |
| 43 | Известняки оргоногенные (возраст - верхний силлур). Азимут падения 80 ⁰ , угол падения 28 ⁰ . |
| 44 | Алевролиты (возраст - нижний девон) . Азимут падения 80 ⁰ , угол падения 31 ⁰ |
| 45 | Разлом. Азимут падения 85 ⁰ , угол падения 70 ⁰ . Западнее от точки наблюдения распро-странены Мергели (возраст - средний девон), на востоке - Гравелиты (возраст - нижний карбон) |
| 46 | Разлом. Азимут падения 90 ⁰ , угол падения 70 ⁰ . Западнее от точки наблюдения распро-странены Песчаники (возраст - верхний девон), на востоке - Конгломераты (возраст - средний |

| | |
|----|---|
| | карбон) |
| 47 | Глины (возраст - верхний карбон) . Синклиналь |
| 48 | Конгломераты (возраст - средний карбон) . Азимут падения 125° , угол падения 30° . |
| 49 | Гравелиты (возраст - нижний карбон) . Азимут падения 255° , угол падения 30° . |
| 50 | Конгломераты (возраст - средний карбон) . Ось синклинали |
| 51 | Гравелиты (возраст - нижний карбон) . Азимут падения 120° , угол падения 30° . |
| 52 | Разлом. Азимут падения 107° , угол падения 75° . Восточнее от точки наблюдения распространены Песчаники (возраст - верхний девон), на западе - Мергели (возраст - средний девон). |
| 53 | Известняки оргоногенные (возраст - верхний силлур). Азимут падения 113° , угол падения 30° . |
| 54 | Известняки оргоногенные (возраст - верхний силлур). Азимут падения 105° , угол падения 30° . |
| 55 | Разлом. Азимут падения 90° , угол падения 75° . Восточнее от точки наблюдения распространены Песчаники (возраст - верхний девон), на западе - Алевролиты (возраст - нижний девон) . |
| 56 | Гравелиты (возраст - нижний карбон) . Азимут падения 90° , угол падения 32° . |
| 57 | Конгломераты (возраст - средний карбон) . Азимут падения 90° , угол падения 32° . |
| 58 | Разлом. Азимут падения 85° , угол падения 75° . Восточнее от точки наблюдения распространены Мергели (возраст - средний девон), на западе - Алевролиты (возраст - нижний девон) . |
| 59 | Песчаники (возраст - верхний девон) . Азимут падения 85° , угол падения 30° |
| 60 | Разлом. Восточнее от точки наблюдения распространены Песчаники (возраст - верхний девон), на западе - Алевролиты (возраст - нижний девон) . |
| 61 | Конгломераты (возраст - средний карбон) . Ось синклинали |
| 62 | Гравелиты (возраст - нижний карбон) . |
| 63 | Гравелиты (возраст - нижний карбон) . Ось синклинали |
| 64 | Разлом. Восточнее от точки наблюдения распространены Песчаники (возраст - верхний девон), на западе - Песчаники (возраст - верхний девон) . |
| 65 | Разлом. Азимут падения 110° , угол падения 75° . Восточнее от |

| | |
|----|--|
| | точки наблюдения распространены Гравелиты (возраст - нижний карбон), на западе - Песчаники (возраст - верхний девон). |
| 66 | Разлом. Восточнее от точки наблюдения распространены Конгломераты (возраст - средний карбон), на западе - Гравелиты (возраст - нижний карбон) |
| 67 | Разлом. Восточнее от точки наблюдения распространены Конгломераты (возраст - средний карбон), на западе - Конгломераты (возраст - средний карбон). |
| 68 | Разлом. Азимут падения 80° , угол падения 75° . Восточнее от точки наблюдения распространены Конгломераты (возраст - средний карбон), на западе - Гравелиты (возраст - нижний карбон) |
| 69 | Разлом. Азимут падения 80° , угол падения 70° . Восточнее от точки наблюдения распространены Гравелиты (возраст - нижний карбон), на западе - Песчаники (возраст - верхний девон). |
| 70 | Гравелиты (возраст - нижний карбон). Азимут падения 300° , угол падения 30° . |
| 71 | Песчаники (возраст - верхний девон). Азимут падения 270° , угол падения 30° . |
| 72 | Разлом. Азимут падения 100° , угол падения 75° . Восточнее от точки наблюдения распространены Гравелиты (возраст - нижний карбон), на западе - Песчаники (возраст - верхний девон). |
| 73 | Гравелиты (возраст - нижний карбон). Азимут падения 250° , угол падения 32° . |
| 74 | Разлом. Азимут падения 115° , угол падения 75° . Восточнее от точки наблюдения распространены Конгломераты (возраст - средний карбон), на западе - Гравелиты (возраст - нижний карбон) |
| 75 | Песчаники (возраст - верхний девон). Азимут падения 250° , угол падения 30° . |
| 76 | Мергели (возраст - средний девон). Азимут падения 270° , угол падения 30° . |
| 77 | Песчаники (возраст - верхний девон). Азимут падения 300° , угол падения 32° . |
| 78 | Конгломераты (возраст - средний карбон). Азимут падения |

| | |
|----|---|
| | 270 ⁰ , угол падения 30 ⁰ . |
| 79 | Гравелиты (возраст - нижний карбон) . Азимут падения 255 ⁰ , угол падения 32 ⁰ . |
| 80 | Песчаники (возраст - верхний девон) . Азимут падения 260 ⁰ , угол падения 29 ⁰ . |
| 81 | Мергели (возраст - средний девон). Азимут падения 270 ⁰ , угол падения 32 ⁰ . |

10-вариант (6)
Масштаб 1:50000



11-вариант

| Точки наблюдений | Геологические данные точек наблюдений |
|------------------|--|
| 1 | Доломиты (возраст - верхний К). Азимут падения слоя 230° , Угол падения слоя 28° . |
| 2 | Доломиты (возраст - верхний К). Азимут падения слоя 230° , Угол падения слоя 30° . |
| 3 | Доломиты (возраст - верхний К). Азимут падения слоя 250° , Угол падения слоя 28° . |
| 4 | Доломиты (возраст - верхний К). Азимут падения слоя 35° , Угол падения слоя 28° . |
| 5 | Доломиты (возраст - верхний К). Азимут падения слоя 240° , Угол падения слоя 28° . |
| 6 | Доломиты (возраст - верхний К). Азимут падения слоя 240° , Угол падения слоя 28° . |
| 7 | Доломиты (возраст - верхний К). Азимут падения слоя 240° , Угол падения слоя 28° . |
| 8 | Доломиты (возраст - верхний К). Азимут падения слоя 230° , Угол падения слоя 28° . |
| 9 | Доломиты (возраст - верхний К). Азимут падения слоя 220° , Угол падения слоя 28° . |
| 10 | Глины светлого цвета(возраст - Палеоцен). Азимут падения слоя 260° , Угол падения слоя 28° . |
| 11 | Глины светлого цвета(возраст - Палеоцен). Азимут падения слоя 250° , Угол падения слоя 28° . |
| 12 | Песчаники (возраст - Эоцен). Азимут падения слоя 260° , Угол падения слоя 31° . |
| 13 | Песчаники (возраст - Эоцен). Азимут падения слоя 235° , Угол падения слоя 31° . |
| 14 | Известняки (возраст - Олигоцен). Азимут падения слоя 240° , Угол падения слоя 31° . |
| 15 | Известняки (возраст - Олигоцен). Азимут падения слоя 250° , Угол падения слоя 31° . |
| 16 | Доломиты (возраст - верхний К). Азимут падения слоя 45° , Угол падения слоя 28° . |
| 17 | Глины светлого цвета(возраст - Палеоцен). Азимут падения слоя 40° , Угол падения слоя 28° . |

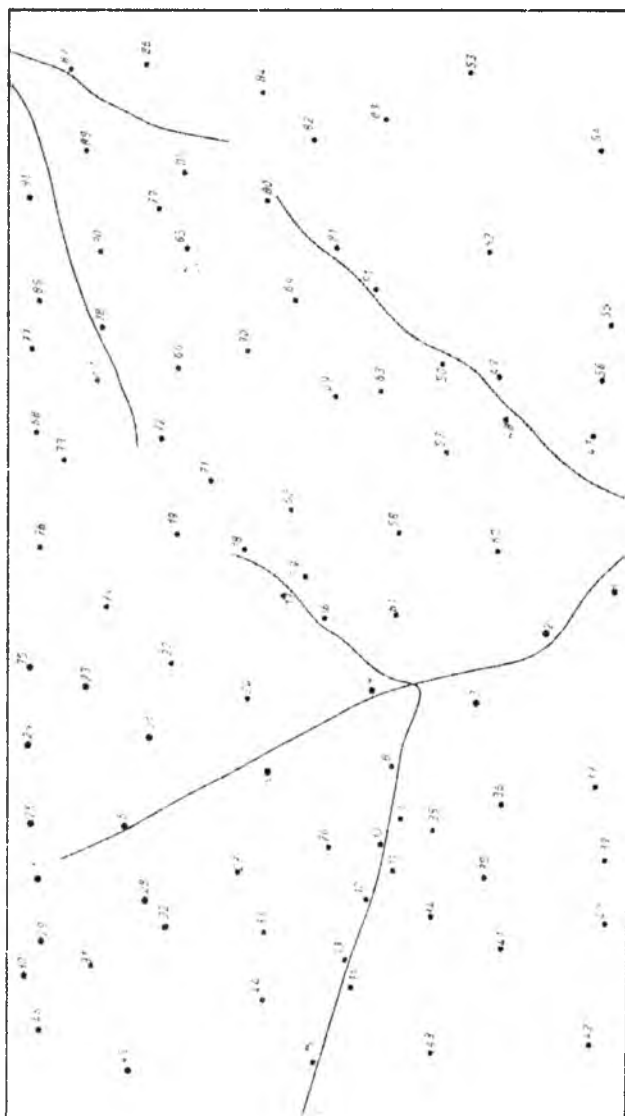
| | |
|----|--|
| 18 | Песчаники (возраст - Эоцен). Азимут падения слоя 45° , Угол падения слоя 31° . |
| 19 | Песчаники (возраст - Эоцен). Азимут падения слоя 50° , Угол падения слоя 31° . |
| 20 | Доломиты (возраст - верхний К). Азимут падения слоя 30° , Угол падения слоя 28° . |
| 21 | Оч рангли гиллар (возраст - Палеоцен). Азимут падения слоя 45° , Угол падения слоя 28° . |
| 22 | Жанубий-ғарба Глины светлого цвета(возраст - Палеоцен) қатламлари билан шимоли-шарқда Песчаники (возраст- Эоцен) контакти. Азимут падения слоя 50° , Угол падения слоя 31° . |
| 23 | Песчаники (возраст - Эоцен). Азимут падения слоя 45° , Угол падения слоя 31° . |
| 24 | Песчаники (возраст - Эоцен). Азимут падения слоя 45° , Угол падения слоя 31° . |
| 25 | Глины светлого цвета(возраст - Палеоцен). Азимут падения слоя 40° , Угол падения слоя 28° . |
| 26 | Глины светлого цвета(возраст - Палеоцен). Азимут падения слоя 220° , Угол падения слоя 28° . |
| 27 | Глины светлого цвета(возраст - Палеоцен). Азимут падения слоя 260° , Угол падения слоя 28° . |
| 28 | Глины светлого цвета(возраст - Палеоцен). Азимут падения слоя 260° , Угол падения слоя 28° . |
| 29 | Глины светлого цвета(возраст - Палеоцен). Азимут падения слоя 270° , Угол падения слоя 28° . |
| 30 | Песчаники (возраст - Эоцен). Азимут падения слоя 280° , Угол падения слоя 31° . |
| 31 | Песчаники (возраст - Эоцен). Азимут падения слоя 260° , Угол падения слоя 31° . |
| 32 | Песчаники (возраст - Эоцен). Азимут падения слоя 260° , Угол падения слоя 31° . |
| 33 | Песчаники (возраст - Эоцен). Азимут падения слоя 275° , Угол падения слоя 31° . |
| 34 | Песчаники (возраст - Эоцен). Азимут падения слоя 260° , Угол падения слоя 31° . |
| 35 | Глины светлого цвета(возраст - Палеоцен). Азимут падения слоя 255° , Угол падения слоя 28° . |
| 36 | Глины светлого цвета(возраст - Палеоцен). Азимут падения слоя |

| | |
|----|--|
| | 265 ⁰ , Угол падения слоя 28 ⁰ . |
| 37 | Глины светлого цвета(возраст - Палеоцен). Азимут падения слоя 270 ⁰ , Угол падения слоя 28 ⁰ . |
| 38 | Песчаники (возраст - Эоцен). Азимут падения слоя 270 ⁰ , Угол падения слоя 31 ⁰ . |
| 39 | Песчаники (возраст - Эоцен). Азимут падения слоя 265 ⁰ , Угол падения слоя 31 ⁰ . |
| 40 | Известняки (возраст - Олигоцен). Азимут падения слоя 270 ⁰ , Угол падения слоя 31 ⁰ . |
| 41 | Известняки (возраст - Олигоцен). Азимут падения слоя 270 ⁰ , Угол падения слоя 31 ⁰ . |
| 42 | Известняки (возраст - Олигоцен). Азимут падения слоя 275 ⁰ , Угол падения слоя 31 ⁰ . |
| 43 | Известняки (возраст - Олигоцен). Азимут падения слоя 270 ⁰ , Угол падения слоя 31 ⁰ . |
| 44 | Известняки (возраст - Олигоцен). Азимут падения слоя 280 ⁰ , Угол падения слоя 31 ⁰ . |
| 45 | Известняки (возраст - Олигоцен). Азимут падения слоя 260 ⁰ , Угол падения слоя 31 ⁰ . |
| 46 | Известняки (возраст - Олигоцен). Азимут падения слоя 285 ⁰ , Угол падения слоя 31 ⁰ . |
| 47 | Доломиты (возраст - верхний К). Азимут падения слоя 90 ⁰ , Угол падения слоя 28 ⁰ . |
| 48 | Доломиты (возраст - верхний К). Азимут падения слоя 50 ⁰ , Угол падения слоя 28 ⁰ . |
| 49 | Глины светлого цвета(возраст - Палеоцен). Азимут падения слоя 35 ⁰ , Угол падения слоя 28 ⁰ . |
| 50 | Песчаники (возраст - Эоцен). Азимут падения слоя 50 ⁰ , Угол падения слоя 31 ⁰ . |
| 51 | Песчаники (возраст - Эоцен). Азимут падения слоя 225 ⁰ , Угол падения слоя 31 ⁰ . |
| 52 | Песчаники (возраст - Эоцен). Азимут падения слоя 70 ⁰ , Угол падения слоя 31 ⁰ . |
| 53 | Песчаники (возраст - Эоцен). Азимут падения слоя 210 ⁰ , Угол падения слоя 31 ⁰ . |
| 54 | Песчаники (возраст - Эоцен). Азимут падения слоя 260 ⁰ , Угол падения слоя 31 ⁰ . |
| 55 | Песчаники (возраст - Эоцен). Азимут падения слоя 100 ⁰ , Угол падения слоя 31 ⁰ . |

| | |
|----|---|
| 56 | Глины светлого цвета(возраст - Палеоцен). Азимут падения слоя 95° , Угол падения слоя 28° . |
| 57 | Глины светлого цвета(возраст - Палеоцен). Азимут падения слоя 45° , Угол падения слоя 28° . |
| 58 | Глины светлого цвета(возраст - Палеоцен). Азимут падения слоя 45° , Угол падения слоя 28° . |
| 59 | Глины светлого цвета(возраст - Палеоцен). Азимут падения слоя 30° , Угол падения слоя 28° . |
| 60 | Доломиты (возраст - верхний К). Азимут падения слоя 40° , Угол падения слоя 28° . |
| 61 | Доломиты (возраст - верхний К). Азимут падения слоя 105° , Угол падения слоя 28° . |
| 62 | Песчаники (возраст - Эоцен). Азимут падения слоя 50° , Угол падения слоя 31° . |
| 63 | Песчаники (возраст - Эоцен). Азимут падения слоя 50° , Угол падения слоя 31° . |
| 64 | Песчаники (возраст - Эоцен). Азимут падения слоя 280° , Угол падения слоя 31° . |
| 65 | Песчаники (возраст - Эоцен). Азимут падения слоя 245° , Угол падения слоя 31° . |
| 66 | Песчаники (возраст - Эоцен). Азимут падения слоя 245° , Угол падения слоя 31° . |
| 67 | Песчаники (возраст - Эоцен). Азимут падения слоя 260° , Угол падения слоя 31° . |
| 68 | Песчаники (возраст - Эоцен). Азимут падения слоя 240° , Угол падения слоя 31° . |
| 69 | Известняки (возраст - Олигоцен). Азимут падения слоя 245° , Угол падения слоя 31° . |
| 70 | Известняки (возраст - Олигоцен). Азимут падения слоя 245° , Угол падения слоя 31° . |
| 71 | Известняки (возраст - Олигоцен). Азимут падения слоя 90° , Угол падения слоя 31° . |
| 72 | Известняки (возраст - Олигоцен). Азимут падения слоя 245° , Угол падения слоя 31° . |
| 73 | Известняки (возраст - Олигоцен). Азимут падения слоя 240° , Угол падения слоя 31° . |
| 74 | Известняки (возраст - Олигоцен). Азимут падения слоя 40° , Угол падения слоя 31° . |

| | |
|----|--|
| 75 | Известняки (возраст - Олигоцен). Азимут падения слоя 45° , Угол падения слоя 31° . |
| 76 | Известняки (возраст - Олигоцен). Азимут падения слоя 240° , Угол падения слоя 31° . |
| 77 | Глины светлого цвета(возраст - Палеоцен). Азимут падения слоя 255° , Угол падения слоя 28° . |
| 78 | Глины светлого цвета(возраст - Палеоцен). Азимут падения слоя 255° , Угол падения слоя 28° . |
| 79 | Глины светлого цвета(возраст - Палеоцен). Азимут падения слоя 230° , Угол падения слоя 28° . |
| 80 | Глины светлого цвета(возраст - Палеоцен). Азимут падения слоя 230° , Угол падения слоя 28° . |
| 81 | Глины светлого цвета(возраст - Палеоцен). Азимут падения слоя 300° , Угол падения слоя 28° . |
| 82 | Глины светлого цвета(возраст - Палеоцен). Азимут падения слоя 230° , Угол падения слоя 28° . |
| 83 | Глины светлого цвета(возраст - Палеоцен). Азимут падения слоя 240° , Угол падения слоя 28° . |
| 84 | Доломиты (возраст - верхний К). Азимут падения слоя 230° , Угол падения слоя 28° . |
| 85 | Доломиты (возраст - верхний К). Азимут падения слоя 275° , Угол падения слоя 28° . |
| 86 | Доломиты (возраст - верхний К). Азимут падения слоя 230° , Угол падения слоя 28° . |
| 87 | Доломиты (возраст - верхний К). Азимут падения слоя 230° , Угол падения слоя 28° . |
| 88 | Доломиты (возраст - верхний К). Азимут падения слоя 230° , Угол падения слоя 28° . |
| 89 | Доломиты (возраст - верхний К). Азимут падения слоя 270° , Угол падения слоя 28° . |
| 90 | Доломиты (возраст - верхний К). Азимут падения слоя 210° , Угол падения слоя 28° . |
| 91 | Доломиты (возраст - верхний К). Азимут падения слоя 230° , Угол падения слоя 28° . |

11-вариант (2)
Масштаб 1:10000



12-вариант

| Точки наблюдений | Геологические данные точек наблюдений |
|------------------|--|
| 1 | Глины (возраст - средний J). Азимут падения слоя 15° , угол падения слоя 35° . |
| 2 | Глины (возраст - средний J). Азимут падения слоя 180° , угол падения слоя 35° . |
| 3 | Глины (возраст - средний J). Здесь проходит ось антиклинали.Его азимут простирания 90° . |
| 4 | Глины (возраст - средний J). Азимут падения слоя 15° , угол падения слоя 35° . |
| 5 | Известняки (возраст - верхний J). Азимут падения слоя 20° , угол падения слоя 33° . |
| 6 | Известняки (возраст - верхний J). Азимут падения слоя 20° , угол падения слоя 31° . |
| 7 | Известняки (возраст - верхний J). Азимут падения слоя 25° , угол падения слоя 33° . |
| 8 | Известняки (возраст - верхний J). Азимут падения слоя 30° , угол падения слоя 32° . |
| 9 | Известняки (возраст - верхний J). Азимут падения слоя 15° , угол падения слоя 35° . |
| 10 | Известняки (возраст - верхний J). Здесь проходит ось антиклинали.Его азимут простирания 80° . |
| 11 | Известняки (возраст - верхний J). Азимут падения слоя 165° , угол падения слоя 33° . |
| 12 | Известняки (возраст - верхний J). Азимут падения слоя 150° , угол падения слоя 32° . |
| 13 | Известняки (возраст - верхний J). Азимут падения слоя 155° , угол падения слоя 31° . |
| 14 | Глины (возраст - нижний K). Азимут падения слоя 150° , угол падения слоя 31° . |
| 15 | Глины (возраст - нижний K). Азимут падения слоя 147° , угол падения слоя 31° . |
| 16 | Глины (возраст - нижний K). Азимут падения слоя 145° , угол падения слоя 33° . |
| 17 | Глины (возраст - нижний K). Азимут падения слоя 153° , угол падения слоя 33° . |

| | |
|----|--|
| 18 | Глины (возраст - нижний К). Азимут падения слоя 180° , угол падения слоя 33° . |
| 19 | Глины (возраст - нижний К). Азимут падения слоя 200° , угол падения слоя 35° . |
| 20 | Глины (возраст - нижний К). Азимут падения слоя 200° , угол падения слоя 33° . |
| 21 | Глины (возраст - нижний К). Азимут падения слоя 250° , угол падения слоя 34° . |
| 22 | Глины (возраст - нижний К). Азимут падения слоя 260° , угол падения слоя 35° . |
| 23 | Известняки (возраст - верхний К). Азимут падения слоя 160° , угол падения слоя 28° . |
| 24 | Известняки (возраст - верхний К). Азимут падения слоя 175° , угол падения слоя 28° . |
| 25 | Известняки (возраст - верхний К). Азимут падения слоя 180° , угол падения слоя 29° . |
| 26 | Известняки (возраст - верхний К). Азимут падения слоя 210° , угол падения слоя 27° . |
| 27 | Известняки (возраст - верхний К). Азимут падения слоя 180° , угол падения слоя 27° . |
| 28 | Известняки (возраст - верхний J). Азимут падения слоя 200° , угол падения слоя 33° . |
| 29 | Известняки (возраст - верхний J). Азимут падения слоя 200° , угол падения слоя 33° . |
| 30 | Известняки (возраст - верхний J). Азимут падения слоя 230° , угол падения слоя 31° . |
| 31 | Известняки (возраст - верхний J). Азимут падения слоя 255° , угол падения слоя 32° . |
| 32 | Известняки (возраст - верхний J). Азимут падения слоя 260° , угол падения слоя 32° . |
| 33 | Известняки (возраст - верхний J). Азимут падения слоя 260° , угол падения слоя 31° . |
| 34 | Известняки (возраст - верхний J). Азимут падения слоя 200° , угол падения слоя 33° . |
| 35 | Известняки (возраст - верхний J). Азимут падения слоя 330° , угол падения слоя 33° . |
| 36 | Известняки (возраст - верхний J). Азимут падения слоя 300° , угол падения слоя 35° . |

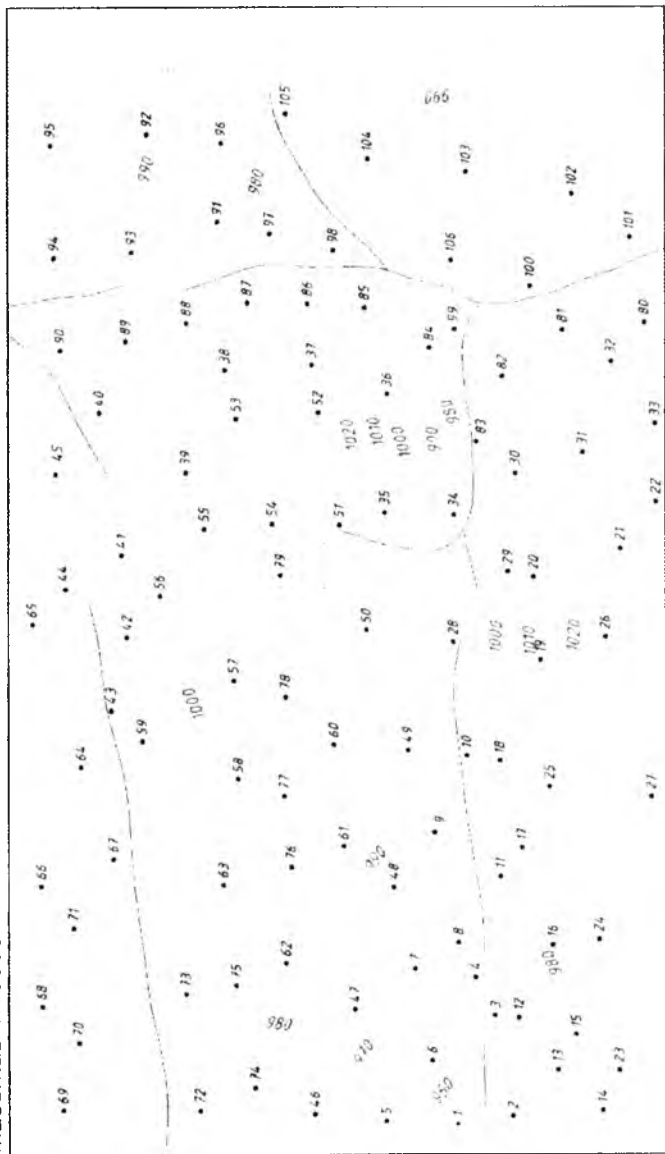
| | |
|----|---|
| 37 | Известняки (возраст - верхний J). Азимут падения слоя 270° , угол падения слоя 35° . |
| 38 | Известняки (возраст - верхний J). Азимут падения слоя 270° , угол падения слоя 34° . |
| 39 | Известняки (возраст - верхний J). Азимут падения слоя 245° , угол падения слоя 32° . |
| 40 | Глины (возраст - средний J). Азимут падения слоя 235° , угол падения слоя 33° . |
| 41 | Известняки (возраст - верхний J). Азимут падения слоя 240° , угол падения слоя 35° . 100м севере от точки проходит разлом. Его азимут простирания 70° . |
| 42 | Известняки (возраст - верхний J). Азимут падения слоя 220° , угол падения слоя 33° . 50м севере от точки проходит разлом. Его азимут простирания 75° . |
| 43 | Известняки (возраст - верхний J). 40 м южнее от точки проходит разлом. Его азимут простирания 75° . |
| 44 | Известняки (возраст - верхний J). Азимут падения слоя 330° , угол падения слоя 34° . |
| 45 | Известняки (возраст - верхний J). Здесь проходит разлом. |
| 46 | Глины (возраст - нижний K). Азимут падения слоя 55° , угол падения слоя 35° . |
| 47 | Глины (возраст - нижний K). Азимут падения слоя 25° , угол падения слоя 35° . |
| 48 | Глины (возраст - нижний K). Азимут падения слоя 30° , угол падения слоя 31° . |
| 49 | Глины (возраст - нижний K). Азимут падения слоя 10° , угол падения слоя 32° . |
| 50 | Глины (возраст - нижний K). Азимут падения слоя 350° , угол падения слоя 32° . |
| 51 | Глины (возраст - нижний K). Азимут падения слоя 330° , угол падения слоя 33° . |
| 52 | Здесь проходит контакт разновозрастных слоев. Западе - глины (возраст - нижний K), востоке-известняки (возраст - верхний J). Азимут падения слоя 270° , угол падения слоя 35° . |
| 53 | Здесь проходит контакт разновозрастных слоев. Западе - глины (возраст - нижний K), востоке-известняки (возраст - верхний J). Азимут падения слоя 250° , угол падения слоя 34° . |
| 54 | Глины (возраст - нижний K). Азимут падения слоя 270° , угол падения слоя 33° . |

| | |
|----|---|
| 55 | Глины (возраст - нижний К). Азимут падения слоя 245° , угол падения слоя 33° . |
| 56 | Глины (возраст - нижний К). Азимут падения слоя 230° , угол падения слоя 33° . |
| 57 | Глины (возраст - нижний К). Азимут падения слоя 190° , угол падения слоя 31° . |
| 58 | Глины (возраст - нижний К). Азимут падения слоя 180° , угол падения слоя 25° . |
| 59 | Глины (возраст - нижний К). Азимут падения слоя 180° , угол падения слоя 35° . |
| 60 | Глины (возраст - нижний К). Азимут падения слоя 5° , угол падения слоя 34° . |
| 61 | Глины (возраст - нижний К). Азимут падения слоя 10° , угол падения слоя 32° . |
| 62 | Глины (возраст - нижний К). Азимут падения слоя 90° , угол падения слоя 32° . |
| 63 | Глины (возраст - нижний К). Азимут падения слоя 130° , угол падения слоя 29° . |
| 64 | Глины (возраст - нижний К). Азимут падения слоя 280° , угол падения слоя 29° . |
| 65 | Глины (возраст - нижний К). Азимут падения слоя 290° , угол падения слоя 32° . |
| 66 | Глины (возраст - нижний К). Азимут падения слоя 110° , угол падения слоя 31° . |
| 67 | Глины (возраст - нижний К). Азимут падения слоя 300° , угол падения слоя 31° . |
| 68 | Глины (возраст - нижний К). Азимут падения слоя 300° , угол падения слоя 29° . |
| 69 | Глины (возраст - нижний К). Азимут падения слоя 300° , угол падения слоя 31° . |
| 70 | Глины (возраст - нижний К). Азимут падения слоя 300° , угол падения слоя 33° . |
| 71 | Глины (возраст - нижний К). Азимут падения слоя 120° , угол падения слоя 33° . |
| 72 | Глины (возраст - нижний К). Азимут падения слоя 150° , угол падения слоя 34° . 40м севере от точки проходит разлом Его азимут простираания 75° . |

| | |
|----|--|
| 73 | Глины (возраст - нижний К). Азимут падения слоя 150° , угол падения слоя 35° . 60м севере от точки проходит разлом. Его азимут простираия 75° . |
| 74 | Глины (возраст - нижний К). Азимут падения слоя 130° , угол падения слоя 35° . |
| 75 | Глины (возраст - нижний К). Азимут падения слоя 120° , угол падения слоя 35° . |
| 76 | Известняки (возраст - верхний К) |
| 77 | Известняки (возраст - верхний К) |
| 78 | Известняки (возраст - верхний К) |
| 79 | Известняки (возраст - верхний К) |
| 80 | Глины (возраст - средний J). Азимут падения слоя 260° , угол падения слоя 34° . |
| 81 | Глины (возраст - средний J). Азимут падения слоя 255° , угол падения слоя 29° . |
| 82 | Глины (возраст - средний J). Азимут падения слоя 230° , угол падения слоя 35° . |
| 83 | Глины (возраст - средний J). Азимут падения слоя 270° , угол падения слоя 33° . |
| 84 | Глины (возраст - средний J). Азимут падения слоя 285° , угол падения слоя 32° . |
| 85 | Глины (возраст - средний J). Азимут падения слоя 280° , угол падения слоя 33° . |
| 86 | Глины (возраст - средний J). Азимут падения слоя 270° , угол падения слоя 35° . |
| 87 | Глины (возраст - средний J). Азимут падения слоя 265° , угол падения слоя 35° . |
| 88 | Глины (возраст - средний J). Азимут падения слоя 265° , угол падения слоя 35° . |
| 89 | Глины (возраст - средний J). Азимут падения слоя 265° , угол падения слоя 34° . |
| 90 | Глины (возраст - средний J). Азимут падения слоя 260° , угол падения слоя 29° . |
| 91 | Глины (возраст - средний J). Азимут падения слоя 300° , угол падения слоя 33° . |
| 92 | Глины (возраст - средний J). Азимут падения слоя 85° , угол падения слоя 31° . |

| | |
|-----|---|
| 93 | Глины (возраст - средний J). Азимут падения слоя 275° , угол падения слоя 31° . |
| 94 | Глины (возраст - средний J). Азимут падения слоя 260° , угол падения слоя 27° . |
| 95 | Глины (возраст - средний J). Азимут падения слоя 95° , угол падения слоя 25° . |
| 96 | Известняки светлого цвета (возраст - нижний J). Азимут падения слоя 300° , угол падения слоя 33° . |
| 97 | Известняки светлого цвета (возраст - нижний J). Азимут падения слоя 285° , угол падения слоя 29° . |
| 98 | Известняки светлого цвета (возраст - нижний J). Азимут падения слоя 280° , угол падения слоя 31° . |
| 99 | Известняки светлого цвета (возраст - нижний J). Катламинг ётиш азимути 270° , угол падения слоя 32° . |
| 100 | Известняки светлого цвета (возраст - нижний J). Азимут падения слоя 255° , угол падения слоя 32° . |
| 101 | Известняки светлого цвета (возраст - нижний J). Азимут падения слоя 260° , угол падения слоя 31° . |
| 102 | Известняки светлого цвета (возраст - нижний J). Азимут падения слоя 265° , угол падения слоя 33° . |
| 103 | Известняки светлого цвета (возраст - нижний J). Азимут падения слоя 105° , угол падения слоя 35° . |
| 104 | Известняки светлого цвета (возраст - нижний J). Азимут падения слоя 105° , угол падения слоя 35° . |
| 105 | Известняки светлого цвета (возраст - нижний J). Азимут падения слоя 110° , угол падения слоя 33° . |
| 106 | Известняки светлого цвета (возраст - нижний J). Азимут падения слоя 280° , угол падения слоя 35° . |

12-variant (3)
 Mashtab 1:10000



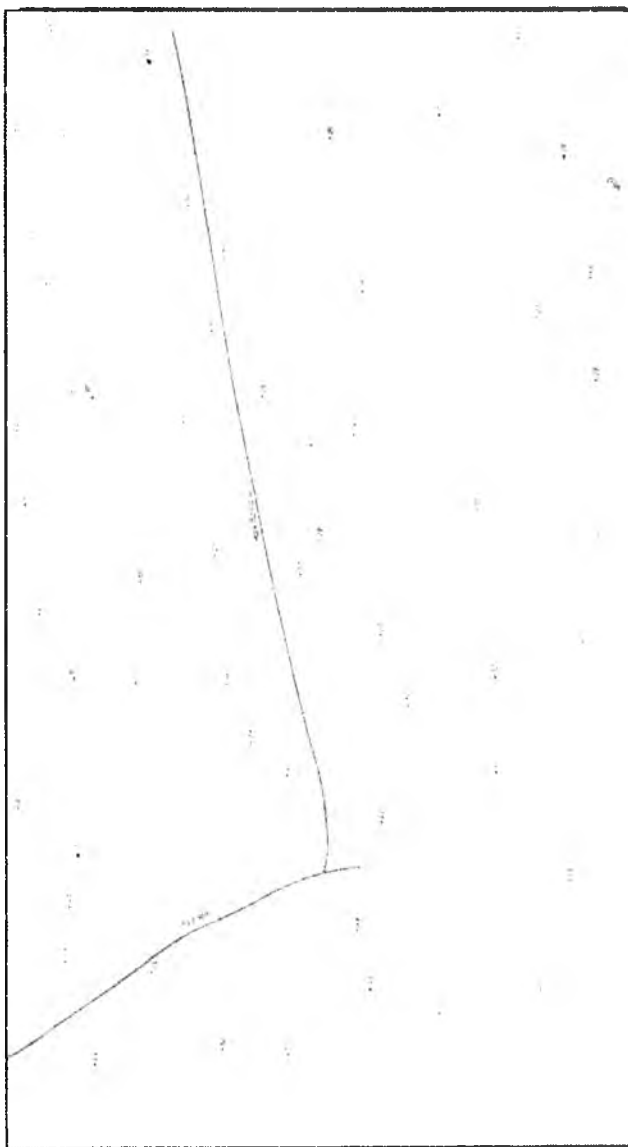
13-вариант

| Точки наблюдений | Геологические данные точек наблюдений |
|------------------|---|
| 1 | Глины (возраст – N). Слои залегают горизонтально . |
| 2 | Глины (возраст – N). Слои залегают горизонтально . |
| 3 | Глины (возраст – N). Слои залегают горизонтально . |
| 4 | Алевриты (возраст – Оligоцен). Слои залегают горизонтально . |
| 5 | Алевриты (возраст – Оligоцен). Слои залегают горизонтально . |
| 6 | Глины (возраст – N). Слои залегают горизонтально . |
| 7 | Алевриты (возраст – Оligоцен). Слои залегают горизонтально . |
| 8 | Алевриты (возраст – Оligоцен). Слои залегают горизонтально . |
| 9 | Известняки (возраст – Эоцен). Слои залегают горизонтально . |
| 10 | Тектонические нарушения. Надвиг На востоке известняки (возраст – Эоцен),на западе доломиты (возраст – верхний J). |
| 11 | Тектонические нарушения. Надвиг. На северо- востоке известняки (возраст – Эоцен),на юго- западе глины (возраст – нижний K). |
| 12 | Известняки (возраст – Эоцен). Слои залегают горизонтально . |
| 13 | Алевриты (возраст – Оligоцен). Слои залегают горизонтально . |
| 14 | Тектонические нарушения. Надвиг На востоке известняки (возраст – Эоцен), на юге глины (возраст – нижний K). |
| 15 | Доломиты (возраст – верхний J) . Азимут падения слоя 255° , угол падения 25° . |
| 16 | Известняки (возраст – Эоцен). Слои залегают горизонтально . |
| 17 | Алевриты (возраст – Оligоцен). Слои залегают горизонтально . |
| 18 | Тектонические нарушения. Надвиг На востоке известняки (возраст – Эоцен), на западе доломиты (возраст – верхний J). |
| 19 | Известняки (возраст – Эоцен). Слои залегают горизонтально . |
| 20 | Алевриты (возраст – Оligоцен). Слои залегают |

| | |
|----|--|
| | горизонтально . |
| 21 | Известняки (возраст – Эоцен). Слои залегают горизонтально . |
| 22 | Алевролиты (возраст – Олигоцен). Слои залегают горизонтально . |
| 23 | Известняки (возраст – Эоцен). Слои залегают горизонтально . |
| 24 | Тектонические нарушения. Надвиг. На востоке известняки (возраст – верхний К), на юге известняки, (возраст – Эоцен),они залегают горизонтально |
| 25 | Тектонические нарушения. Надвиг. На северо-западе распространены доломиты (возраст – верхний J). юго-востоке известняки (возраст – Эоцен) |
| 26 | Глины (возраст – нижний К) . Азимут падения слоя 250^0 , угол падения 27^0 . |
| 27 | Известняки (возраст – верхний К) . Правое крыло синклинали. |
| 28 | Известняки (возраст – верхний К) . Левое крыло синклинали. |
| 29 | Известняки (возраст – верхний К) . Ось синклинали. |
| 30 | Глины (возраст – нижний К) . Азимут падения слоя 80^0 , угол падения 27^0 . |
| 31 | Доломиты (возраст – верхний J) . Азимут падения слоя 83^0 , угол падения 25^0 . |
| 32 | Известняки (возраст – нижний J) . Азимут падения слоя 85^0 , угол падения 27^0 . |
| 33 | Известняки (возраст – нижний J) . Азимут падения слоя 85^0 , угол падения 27^0 . |
| 34 | Известняки (возраст – нижний J) . Азимут падения слоя 85^0 , угол падения 25^0 . |
| 35 | Известняки (возраст – нижний J) . Азимут падения слоя 88^0 , угол падения 28^0 . |
| 36 | Тектонические нарушения. Надвиг На востоке распространены известняки (возраст – Эоцен), на западе гарбида Известняки (возраст – нижний J) |
| 37 | Тектонические нарушения. Надвиг. На северо-востоке распространены известняки (возраст – Эоцен), юго-западе доломиты (возраст – верхний J). они залегают горизонтально. |
| 38 | Известняки (возраст – верхний К) . Синклиналь. |
| 39 | Известняки (возраст – верхний К) . Синклиналь. |
| 40 | Тектонические нарушения. Надвиг. На северо-западе распространены доломиты известняки (возраст – Эоцен), юго-востоке известняки (возраст – верхний К). |

| | |
|----|--|
| 41 | Глины (возраст – нижний К) . Азимут падения слоя 255° , угол падения 30° . |
| 42 | Алевролиты (возраст – верхний Т) . Азимут падения слоя 80° , угол падения 25° . |
| 43 | Известняки (возраст – ўрта Т). Антиклиналь. |
| 44 | Известняки (возраст – ўрта Т). Антиклиналь. |
| 45 | Известняки (возраст – ўрта Т). Ось антиклинали |
| 46 | Известняки (возраст – ўрта Т). Ось антиклинали. |
| 47 | Алевролиты (возраст – верхний Т) . Азимут падения слоя 90° , угол падения 27° . |
| 48 | Алевролиты (возраст – верхний Т) . Азимут падения слоя 250° , угол падения 28° . |
| 49 | Известняки (возраст – нижний J) . Азимут падения слоя 250° , угол падения 28° . |
| 50 | Алевролиты (возраст – верхний Т) . Азимут падения слоя 250° , угол падения 27° . |
| 51 | Известняки (возраст – нижний J) . Азимут падения слоя 260° , угол падения 30° . |
| 52 | Доломиты (возраст – верхний J) . Азимут падения слоя 260° , угол падения 30° . |
| 53 | Алевролиты (возраст – верхний Т) . Ось антиклинали |
| 54 | Известняки (возраст – нижний J) . Азимут падения слоя 261° , угол падения 27° . |
| 55 | Доломиты (возраст – верхний J) . Азимут падения слоя 260° , угол падения 30° . |

13-вариант 4(12)
Масштаб 1:5000



Adabiyotlar:

1. Chinniqulov X, Xo'jayev X. S. va b., Strukturaviy geologiya va geologik haritalash. Darslik. Toshkent; 2009. 368 b.
2. Xolismatov I.X, Zokirov R.T. Strukturalar geologiyasi va geotektonik izlanishlar. O'quv qo'llanma, Toshkent:-ToshDTU. 2004.
3. Султонмуродов Ш.Структуралар геологияси ва хариталаш. Тошкент, Конструктор, 1992.
4. Ахмаджонов М.О., Султонмуродов Ш., Набиев Қ.Қ. Геологик хариталаш. Тошкент: Ўқитувчи, 1990.
5. Михайлов А.Е. Структурная геология и геологическое картирование. Москва: Недра, 1984.
6. Сократов Г.И. Структурная геология и геологическое картирование.- М: Недра, 1972.

Mundarija

| | |
|---|-----|
| Kirish..... | 3 |
| Hisobot bo‘limlarinig mazmuni..... | 4 |
| 1. Rayonning tabiiy-geografik sharoiti,orogidrografiyasi..... | 5 |
| 2. Rayonning geologik tuzilishi..... | 5 |
| A.Stratigrafiya..... | 5 |
| 3. Rayonning geologik strukturalari..... | 6 |
| 4. Rayonning geologik rivojlanish tarixi..... | 6 |
| Xulosa..... | 6 |
| Ishni tashkil qilish..... | 7 |
| 22-variant..... | 10 |
| 23-variant..... | 14 |
| 24-variant..... | 19 |
| 25-variant..... | 25 |
| 26-variant..... | 29 |
| 27-variant..... | 34 |
| 1-вариант..... | 40 |
| 2-вариант..... | 47 |
| 3-вариант..... | 53 |
| 4-вариант..... | 60 |
| 5-вариант..... | 64 |
| 6-вариант..... | 68 |
| 7-вариант..... | 73 |
| 8-вариант..... | 79 |
| 9-вариант..... | 86 |
| 10-вариант..... | 93 |
| 11-вариант..... | 100 |
| 12-вариант..... | 106 |
| 13-вариант..... | 113 |
| Adabiyotlar..... | 117 |

Muharrir: Sidiqova K.

Bosishga ruhsat etildi 17.02.2015 y. Bichimi 60x84 1/16.
Shartli bosma tabog'i 7,5. Nusxasi 50 dona. Buyurtma № 135.

IDTU bosmaxonasida chop etildi. Toshkent sh, Talabalar ko'chasi 54.